

(19) 日本国特許庁(JP)

(12) 特許公報(B2)

(11) 特許番号

特許第3744896号
(P3744896)

(45) 発行日 平成18年2月15日(2006.2.15)

(24) 登録日 平成17年12月2日(2005.12.2)

(51) Int.C1.

F 1

G06F 17/14 (2006.01)
G06F 17/16 (2006.01)G06F 17/14
G06F 17/16A
K

請求項の数 3 (全 70 頁)

(21) 出願番号 特願2002-533113 (P2002-533113)
 (86) (22) 出願日 平成13年10月5日 (2001.10.5)
 (65) 公表番号 特表2004-511046 (P2004-511046A)
 (43) 公表日 平成16年4月8日 (2004.4.8)
 (86) 國際出願番号 PCT/US2001/042537
 (87) 國際公開番号 WO2002/029611
 (87) 國際公開日 平成14年4月11日 (2002.4.11)
 審査請求日 平成15年6月4日 (2003.6.4)
 (31) 優先権主張番号 09/680,665
 (32) 優先日 平成12年10月6日 (2000.10.6)
 (33) 優先権主張国 米国(US)

早期審査対象出願

(73) 特許権者 591003943
 インテル・コーポレーション
 アメリカ合衆国 95052 カリフォルニア州・サンタクララ・ミッション・カレッジ・ブーラード・2200
 (74) 代理人 100091915
 弁理士 本城 雅則
 (74) 代理人 100099106
 弁理士 本城 吉子
 (72) 発明者 イエリン, ダニー
 イスラエル国 ラナン ハーゼル・ストリート71
 (72) 発明者 ライニッシュ, ドロン
 イスラエル国 ラマトーガン キッシュ・ストリート3

最終頁に続く

(54) 【発明の名称】線形変換を実行する際の効率を強化する方法

(57) 【特許請求の範囲】

【請求項 1】

実数、複素数、または有限の場の上で、少なくとも1つのn次元入力ベクトルに対して与えられたr×n変換行列によって表わされる線形変換を実行する際の効率を強化する方法において、

(1) 前記r×n変換行列を修正し、次数を削減して修正された行列を生成する段階であって、以下の(A)～(D)の段階を含む段階、

(A) 前記r×n変換行列の2つの行について、同じ次元の2つの0でなく、それぞれ他方の積である行ベクトルである等価な行のグループを識別し、もし存在する場合には前記等価な行のグループから保持する行を選択し、前記等価な行のグループ中の前記選択された行を除く1またはそれ以上の前記等価な行を省略し、かつ、前記各省略された行と前記選択された行との間の比をメモリに格納する段階、

(B) 前記r×n変換行列のゼロの列を省略する段階、

(C) 正規化した行列を生成するために、列の要素が指標順である場合に各列のリード要素は各列のゼロでない最初の要素であるリード要素の逆数を残存する列にそれぞれ掛けことにより、前記r×n変換行列の残存する列を正規化する段階、および

(D) 前記正規化した行列中の等しい列のグループを識別し、前記等しい列から保持する列を選択し、前記等しい列のグループ中の前記選択された列を除く1つまたはそれ以上の前記等しい列を省略する段階、

(2) チャンネル上の信号に対応するn次元入力ベクトルを受信する段階と、

10

20

(3) 前記省略されたゼロの列に対応する前記 n 次元入力ベクトルの要素を省略し、前記 $r \times n$ 変換行列の前記残存する列を正規化する際に用いられた前記リード要素を前記入力ベクトルの要素に掛けることにより前記入力ベクトルを正規化し、かつ識別された前記等しい列のグループ別に正規化された前記入力ベクトルの要素を合計することにより、前記修正された行列に従って、前記 n 次元入力ベクトルから修正されたベクトルを発生させる段階と、

(4) 前記修正された行列に従って前記修正されたベクトルの要素の合計を累積するためのハードウェア手段を用いて、前記修正されたベクトルに前記修正された行列を掛け、前記メモリ中に格納された 1 つまたはそれ以上の前記比を用いて、前記 1 つまたはそれ以上の省略された行に対応する前記 r 次元の出力ベクトルの要素を発生させることにより、10
 r 次元の出力ベクトルを獲得する段階と、

から構成されることを特徴とする方法。

【請求項 2】

前記 $r \times n$ 変換行列を修正する段階は、前記変換行列をいくつかのサブ行列へ分割する段階を、および、前記 r 次元の出力ベクトルを獲得する段階は、各サブ行列との積に起因する複数の出力ベクトルを統合する段階を、さらに含むことを特徴とする請求項 1 記載の方法。

【請求項 3】

前記修正された行列をいくつかのサブ行列に分割する段階をさらに含み、出力ベクトルは各サブ行列との積に起因する出力ベクトルに各対応するサブ・ベクトルを加えることにより獲得されることを特徴とする請求項 1 記載の方法。20

【発明の詳細な説明】

【0001】

【発明の属する技術分野】

本発明は、デジタル信号処理の分野に属する。それは、演算動作回数を削減し、単純化された回路および低消費電力を達成する線形変換を実行するための改善された方法および装置を提供する。

【0002】

【従来の技術】

線形変換は、信号またはデータ処理に一般に使用される。線形変換は、「入力ベクトル」とみなされる n 次元のベクトル、「出力ベクトル」とみなされる r 次元のベクトルから生成する。多くの応用では、入力ベクトルは、処理を要求する所定の信号であるデジタル・サンプルから成る。しかしながら、線形変換への応用はどのような特定の領域にも制限されず、それらは科学技術のすべての分野にとって必要であるとともに、それらの効率的な特性が非常に期待されるものである。30

【0003】

1 組の n 次元ベクトル（実数、複素数、またはスカラの任意の領域からなる）から 1 組の r 次元ベクトル（同じスカラ領域にわたる）への一般的な線形変換は、次式によって与えられる $r \times n$ 次数の行列（マトリックス）によって表わされる。

【0004】

【数 1】

$$A = \begin{bmatrix} a_{11} & a_{12} & \cdot & \cdot & \cdot & \cdot & \cdot & a_{1n} \\ a_{21} & a_{22} & \cdot & \cdot & \cdot & \cdot & \cdot & a_{2n} \\ \cdot & & & & & & & \\ \cdot & & & & & & & \\ \cdot & & & & & & & \\ a_{r1} & & & & & & & a_{rn} \end{bmatrix}$$

40

50

【0005】

一般的な入力 n 次元の列ベクトルは、次式の形式をとる。

【0006】

【数2】

$$\mathbf{x} = \begin{bmatrix} x_1 \\ x_2 \\ \cdot \\ \cdot \\ \cdot \\ x_n \end{bmatrix}$$

10

【0007】

線形変換は、入力ベクトル \mathbf{x} から、次の方程式によって与えられるベクトルの行列積を通して、次元 r の出力列ベクトル \mathbf{y} を生成する。

【0008】

【数3】

$$\mathbf{y} = \begin{bmatrix} y_1 \\ y_2 \\ \cdot \\ \cdot \\ \cdot \\ y_r \end{bmatrix} = \begin{bmatrix} a_{11} & a_{12} & \cdot & \cdot & \cdot & \cdot & \cdot & a_{1n} \\ a_{21} & a_{22} & \cdot & \cdot & \cdot & \cdot & \cdot & a_{2n} \\ \cdot & \cdot & & & & & & \cdot \\ \cdot & \cdot & & & & & & \cdot \\ \cdot & \cdot & & & & & & \cdot \\ a_{r1} & & & & & & & a_m \end{bmatrix} \begin{bmatrix} x_1 \\ x_2 \\ \cdot \\ \cdot \\ \cdot \\ x_n \end{bmatrix} =$$

20

$$= \begin{bmatrix} a_{11}x_1 + a_{12}x_2 + \cdot \cdot \cdot \cdot \cdot + a_{1n}x_n \\ a_{21}x_1 + a_{22}x_2 + \cdot \cdot \cdot \cdot \cdot + a_{2n}x_n \\ \cdot \cdot \cdot \cdot \cdot \\ \cdot \cdot \cdot \cdot \cdot \\ a_{r1}x_1 + a_{r2}x_2 + \cdot \cdot \cdot \cdot \cdot + a_{rn}x_n \end{bmatrix}$$

30

【0009】

線形変換の直接演算は、r × n 回の乗算および r × (n - 1) 回の加算を要求する。

【0010】

2進法の行列は、本発明の開発および応用に特に重要である。2進2極行列は、各エントリに ± 1 の値だけを含むものである。今後、それらは U 行列と称される。U 行列によって表わされる線形変換は U 変換と称される。上記の表現において、与えられた変換が U 変換である場合、そのとき r × (n - 1) 回の加算 / 減算がその直接の演算に要求されるであろう。別のタイプの 2進・行列は、0 と 1 の値だけを含んでいるものである。それらは 0 - 1 行列と称される。0 - 1 行列によって表わされる線形変換は 0 - 1 変換と称される。上記の表現では、平均して、r × (n - 1) / 2 回の加算が直接の演算に要求されるであろう。

40

【0011】

本テキストにおいて、用語「2進変換」は、上述した 2つのタイプの変換、すなわち、U 変換および 0 - 1 変換を含む。用語紹介を終えるにあたり、用語 U ベクトルとはそのコン

50

ポーネントに、および同様に ± 1 値を有するベクトルをいい、0と1の値を有するベクトルは0-1ベクトルと称される。

【0012】

2進変換処理は、入力ベクトルの加算および減算コンポーネントから成る。それらは、加算器と減算器のようなコンポーネントを必要として、電気的な特定用途向け集積回路(ASIC)としてのハードウェアの中で実行される。これらのコンポーネントの使用は高価であるし、また、エネルギーを消費し、さらにそれらの構造は貴重なエリアを占有することになる。これらの資源の消費量を低減した2進変換を行なうハードウェアを実現することが、多くの技術分野においてその必要性を増加させている。

【0013】

デジタル信号処理の様々な側面から、U変換への広範囲の利用法がある。それは、イメージ処理や無線通信のような多種多様の通信技術を含む。

【0014】

現在、直接シーケンス(DS)符号分割多重接続(CDMA)スペクトラム拡散通信システムに世界的な関心が集まっている。IS-95[TIA/EIA/IS-95-A、「二重モードの広帯域スペクトラム拡散セルラ・システム用移動局基地局の互換性基準」、1996年2月27日]が発展するDS-CDMAシステムの1つの例である。

【0015】

CDMA通信技術では、複数ユーザのデータが複合信号で送られ、その後送信前に擬似ランダム雑音(PN)コードが乗じられるが、それはランダム雑音特性(低い相互相關のような)を有するUシーケンスである。拡散特性は、マルチパス・ノイズ、ジャミングまたは検出を含むノイズに対する送信抵抗を形成する。チャネリング・コードより長いスランブル・コードも適用される。第二世代(IS-95-B)および第三世代(3G)の広帯域(WB)CDMA標準規格のこの送信方法は、受信機がマルチコード検出を行なうことと要求する。これは結合したチャンネルを同時に逆拡散を行う作業で、その各々は既に異なるチャネリング・コードに従って拡散されていたものである。それはU変換の応用によってなされ、ここで変換行列を含む拡散コードはアダマール行列の行である。これは、有効なU変換技術が資源の消費を低減する計算タスクを実現するために望まれる多くの例のうちの1つである。

【0016】

特定のタイプにおいて、線形変換の特性を改善するいくつかの既知の手法がある。非常に広い範囲から選ばれたわずかの適切な例がここで述べられる。畳み込みを行い、DSP中でフィルタとして使用されるトップリツ(TOPLITS)変換は、nがドメイン領域の次元とすると、 $O(n \cdot \log_2(n))$ の加算および乗算処理を要求する古典的な高速フーリエ変換(FFT)アルゴリズムを使用することにより効率的に行なうことができる。対照的に、標準的で、直接的な方法は、 $O(n^2)$ の加算および乗算を要求する。詳細は、[James W. Cooley and John W. Tukey, in algorithm for the machine calculation of complex Fourier series, Mathematics of computation, 19(90): 297-301, April 1965]を参照すること。

【0017】

CDMA技術を含むデジタル信号処理で使用される特定タイプのU変換は、アダマール行列によって表わされるウォルシュ・アダマール変換である。アダマール行列は、以下のように再帰的に定義することができる。

【0018】

【数4】

$$H_1 = [1], \quad H_2 = \begin{bmatrix} 1 & 1 \\ 1 & -1 \end{bmatrix},$$

【0019】

10

20

30

40

50

そして、あらゆる整数 n 、累乗 2 に対し：

【0020】

【数5】

$$H_{2n} = \begin{bmatrix} H_n & H_n \\ H_n & -H_n \end{bmatrix}$$

【0021】

複雑性を低減しつつエネルギーを長持ちさせるこの変換を行なうアルゴリズムは、高速ウォルシュ・アダマール変換 (FWT) であり、それは、 $n \cdot \log_2(n)$ に対する $n \times n$ アダマール行列のための加／減算の数を削減する。これは、これらの動作のための最適な節約を提供する。この方法を強調する基本概念は、FFT 手法に類似する。

【0022】

U 変換の形式は本発明による別の特徴によって修正され、トップリツツ U 変換の特性に対し効率的な方法および装置を提供する。これらの変換は与えられた U シーケンスまたは複雑な U シーケンスを備えた完全または部分畳み込みを表わす。トップリツツ U 変換のワイアレス通信への応用には、実数および複素擬似ランダム (PN) あるいは黄金 U 変換を備える畳み込みを利用する初期時間同期および探索器を含む。黄金シーケンスは、2 つの PN シーケンスの Z_2 合計によって構成される。

【0023】

本発明の上記 2 進の解釈は、発明の別の局面によって、比較的少数の異なるエントリを備えた $r \times n$ 行列によって表わされる線形変換の特性のための効率的な方法および装置へと一般化される。本発明のこの進化した局面を適用することにより、複素 U 変換および線形変換は、{0, 1, -1} - エントリを備える行列によって表わされる。本発明のこの広範囲な好適な実施例は、一般化された消去法 (GEM: generalized-elimination method) と呼ばれる。

【0024】

広帯域 CDMA および進化した DSP の将来技術における恐らく他の派生技術は、異なる拡散係数において到来信号の同時分析から利益を得るであろう。これは、マルチコード・チャンネルに道を与え、それによってファックス、通常電話の会話およびネットワークに過度の負担をかけないインターネット・データのような異なるタイプの情報を同時に受信することが可能となるであろう。本発明の別の局面として、この種の線形動作に対する効率的な方法および装置がある。それは、追加のプロセッサを備える発明における U-2 進の修正版を含む。この追加のプロセッサは、U-2 進によって要求される加算の数に関する情報を用い、多様なサブセクション中の U-2 進をグローバルな追加の低速度で適用する構成 (configuration) を発見する。本発明の別の主用途は、ワイアレス・マルチメディア・システム、GPS衛星を基礎にする位置システム、その他を含む。モバイル通信や他のモバイル、および計算を基礎とするシステムの中味において、線形処理に用いられる現時点の消費を削減することが本質的である。本発明をモバイル電話技術に応用することは、バッテリの寿命を延ばし、回路を削減することができ、また応答時間を短くすることができる。本発明のこれらや他の特徴および利点は、次の詳細な説明を参考することにより、また添付の図面を参照することによりさらに明らかになるであろう。

【0025】

【実施例】

本発明の方法を解説するにあたり、基本となる 2 つの新しい事項がある。最初は、等価ベクトル (equivalent vector) である。同じ次元の 2 つの 0 でないベクトルは、それらがそれぞれ他方の積である場合、本テキストにおいて等価と呼ばれる。この項は、与えられた行列の 2 つの行または 2 つの列に適用される。第 2 の用語は、与えられた行列中の列のリード要素である。本発明の全体に亘って使用される定義は、前述の行列の各列で最も高い

10

20

30

40

50

指標の 0 でないコンポーネントである。この定義は、与えられた行列の中で一律に使用される所定の列指標次数 (column index-order) に依存する。新しい次数の再定義は、新しいリード要素の再定義で生じる。例えば、与えられた行列のリード要素は、どちらの次数を選択することがその目的のために適切であるらしいかに依存して、各列の最下位の 0 でない要素または最高位の 0 でない要素である。

0 - 1 行列

本発明の好適な実施例は、0 - 1 の 2 進の線形変換を行なう効率的な方法を提供する。以後、それはさらに「0 - 1 方法」と称される。次の例は、0 - 1 方法への導入およびその主要な概念の概略である。

【0 0 2 6】

10

例：与えられた 0 - 1 の 2 進 4×14 行列 A :

【0 0 2 7】

【数 6】

$$A = \begin{bmatrix} 0 & 1 & 1 & 0 & 1 & 1 & 0 & 0 & 1 & 0 & 0 & 0 & 1 & 1 \\ 1 & 0 & 0 & 1 & 0 & 1 & 1 & 0 & 0 & 0 & 1 & 1 & 1 & 0 \\ 0 & 0 & 1 & 1 & 1 & 1 & 0 & 0 & 0 & 0 & 1 & 0 & 1 & 1 \\ 1 & 1 & 1 & 1 & 0 & 1 & 1 & 0 & 1 & 0 & 1 & 1 & 1 & 1 \end{bmatrix}$$

【0 0 2 8】

20

および 14 次元の入力ベクトル、

【0 0 2 9】

【数 7】

$$x = \begin{bmatrix} x_1 \\ x_2 \\ \cdot \\ \cdot \\ \cdot \\ x_{14} \end{bmatrix}$$

30

【0 0 3 0】

4 次元の「出力」ベクトルを計算すると仮定して、

【0 0 3 1】

【数 8】

$$y = \begin{bmatrix} y_1 \\ y_2 \\ y_3 \\ y_4 \end{bmatrix} = \begin{bmatrix} 0 & 1 & 1 & 0 & 1 & 1 & 0 & 0 & 1 & 0 & 0 & 0 & 1 & 1 \\ 1 & 0 & 0 & 1 & 0 & 1 & 1 & 0 & 0 & 0 & 1 & 1 & 1 & 0 \\ 0 & 0 & 1 & 1 & 1 & 1 & 0 & 0 & 0 & 0 & 1 & 0 & 1 & 1 \\ 1 & 1 & 1 & 1 & 0 & 1 & 1 & 0 & 1 & 0 & 1 & 1 & 1 & 1 \end{bmatrix} \begin{bmatrix} x_1 \\ x_2 \\ \cdot \\ \cdot \\ \cdot \\ x_{14} \end{bmatrix} = A \cdot x$$

40

【0 0 3 2】

本発明の好適な実施例によれば、行列 A は、等価線 (equal line) があるか最初にチェックされる。新しい 2 行のラインがないので、その手順は次のステップに進む。次に、出力ベクトル y は、それぞれの入力ベクトル座標である係数を備えた列の合計として表現される。従って、

50

【0 0 3 3】

【数9】

$$\begin{aligned}
 y = & x_1 \begin{bmatrix} 0 \\ 1 \\ 0 \\ 1 \end{bmatrix} + x_2 \begin{bmatrix} 1 \\ 0 \\ 0 \\ 1 \end{bmatrix} + x_3 \begin{bmatrix} 1 \\ 0 \\ 1 \\ 1 \end{bmatrix} + x_4 \begin{bmatrix} 0 \\ 1 \\ 1 \\ 1 \end{bmatrix} + x_5 \begin{bmatrix} 1 \\ 0 \\ 1 \\ 0 \end{bmatrix} + x_6 \begin{bmatrix} 1 \\ 1 \\ 1 \\ 1 \end{bmatrix} + x_7 \begin{bmatrix} 0 \\ 1 \\ 0 \\ 1 \end{bmatrix} + x_8 \begin{bmatrix} 0 \\ 0 \\ 0 \\ 0 \end{bmatrix} + \\
 & x_9 \begin{bmatrix} 1 \\ 0 \\ 0 \\ 1 \end{bmatrix} + x_{10} \begin{bmatrix} 0 \\ 0 \\ 0 \\ 0 \end{bmatrix} + x_{11} \begin{bmatrix} 0 \\ 1 \\ 1 \\ 1 \end{bmatrix} + x_{12} \begin{bmatrix} 0 \\ 1 \\ 0 \\ 1 \end{bmatrix} + x_{13} \begin{bmatrix} 1 \\ 1 \\ 1 \\ 1 \end{bmatrix} + x_{14} \begin{bmatrix} 1 \\ 0 \\ 1 \\ 1 \end{bmatrix}
 \end{aligned}
 \quad 10$$

【0 0 3 4】

このステージで、0の列は、それらの係数と共に、削除されるであろう。入力ベクトルに関する、本発明の好適な実施例によって行われる第1のステップは、任意に出現する0でない列の係数を集めて合計することである。したがって、6つの項で、次の減少されたベクトル方程式が実現される。

【0 0 3 5】

【数10】

$$y = (x_1 + x_7 + x_{12}) \begin{bmatrix} 0 \\ 1 \\ 0 \\ 1 \end{bmatrix} + (x_2 + x_9) \begin{bmatrix} 1 \\ 0 \\ 0 \\ 1 \end{bmatrix} + (x_3 + x_{14}) \begin{bmatrix} 1 \\ 0 \\ 1 \\ 1 \end{bmatrix} + (x_4 + x_{11}) \begin{bmatrix} 0 \\ 1 \\ 1 \\ 1 \end{bmatrix} + x_5 \begin{bmatrix} 1 \\ 0 \\ 1 \\ 0 \end{bmatrix} + (x_6 + x_{13}) \begin{bmatrix} 1 \\ 1 \\ 1 \\ 1 \end{bmatrix}$$

【0 0 3 6】

この表現は次の定義によって単純化してもよい。

【0 0 3 7】

$w_1 = x_1 + x_7 + x_{12}$, $w_2 = x_2 + x_9$, $w_3 = x_3 + x_{14}$, $w_4 = x_4 + x_{11}$, $w_5 = x_5$, $w_6 = x_6 + x_{13}$

これは次式を意味する。

【0 0 3 8】

【数11】

$$y = \begin{bmatrix} y_1 \\ y_2 \\ y_3 \\ y_4 \end{bmatrix} = w_1 \begin{bmatrix} 0 \\ 1 \\ 0 \\ 1 \end{bmatrix} + w_2 \begin{bmatrix} 1 \\ 0 \\ 0 \\ 1 \end{bmatrix} + w_3 \begin{bmatrix} 1 \\ 0 \\ 1 \\ 1 \end{bmatrix} + w_4 \begin{bmatrix} 0 \\ 1 \\ 1 \\ 1 \end{bmatrix} + w_5 \begin{bmatrix} 1 \\ 0 \\ 1 \\ 0 \end{bmatrix} + w_6 \begin{bmatrix} 1 \\ 1 \\ 1 \\ 1 \end{bmatrix}
 \quad 40$$

【0 0 3 9】

これはオリジナルの問題に等しいが、削減された列数を備える。しかしながら、現時点では、この種の削減は使い尽くされている。さらに利点を増すために、そのベクトル方程式は、2つのベクトル方程式における次の等価なセットに分割されるであろう。

【0 0 4 0】

【数12】

$$\begin{bmatrix} y_1 \\ y_2 \end{bmatrix} = w_1 \begin{bmatrix} 0 \\ 1 \end{bmatrix} + w_2 \begin{bmatrix} 1 \\ 0 \end{bmatrix} + w_3 \begin{bmatrix} 1 \\ 0 \end{bmatrix} + w_4 \begin{bmatrix} 0 \\ 1 \end{bmatrix} + w_5 \begin{bmatrix} 1 \\ 0 \end{bmatrix} + w_6 \begin{bmatrix} 1 \\ 1 \end{bmatrix}$$

$$\begin{bmatrix} y_3 \\ y_4 \end{bmatrix} = w_1 \begin{bmatrix} 0 \\ 1 \end{bmatrix} + w_2 \begin{bmatrix} 0 \\ 1 \end{bmatrix} + w_3 \begin{bmatrix} 1 \\ 1 \end{bmatrix} + w_4 \begin{bmatrix} 1 \\ 1 \end{bmatrix} + w_5 \begin{bmatrix} 1 \\ 0 \end{bmatrix} + w_6 \begin{bmatrix} 1 \\ 1 \end{bmatrix}$$

【0041】

この好適な実施例の第1歩として、これら2つの方程式の各々は別々に扱われるであろう。
したがって、同じゼロでない列の係数は集められ合計される。その結果、このステージ
で、方法は6つの別々の加算項を備えた2つのベクトル方程式のセットとなる。

【0042】

【数13】

$$\begin{bmatrix} y_1 \\ y_2 \end{bmatrix} = (w_1 + w_4) \begin{bmatrix} 0 \\ 1 \end{bmatrix} + (w_2 + w_3 + w_5) \begin{bmatrix} 1 \\ 0 \end{bmatrix} + w_6 \begin{bmatrix} 1 \\ 1 \end{bmatrix}$$

$$\begin{bmatrix} y_3 \\ y_4 \end{bmatrix} = (w_1 + w_2) \begin{bmatrix} 0 \\ 1 \end{bmatrix} + (w_3 + w_4 + w_6) \begin{bmatrix} 1 \\ 1 \end{bmatrix} + w_5 \begin{bmatrix} 1 \\ 0 \end{bmatrix}$$

10

20

【0043】

さて、出力ベクトルyの演算を完了するために、4つの追加の加算のみが要求されることが明らかである。従って、所望の結果は、16回の加算の合計で実行された。この計算プロセスを行なう従来の先行技術の方法が28回の加算を要求するであろうことは容易に検証されるであろう。本発明のこの好適な実施例に対する先行する記述は、行列の次元が大きくなるに従い、本方法による効率性の向上がさらに明らかになるであろう。

【0044】

一般に、本発明の0-1の2進の特徴となる点は、n次元ベクトルxによる次元r×nの2進の0-1行列Aの積に対する効率的な方法および装置にある。行列は次式によって与えられる。

【0045】

【数14】

$$A = \begin{bmatrix} a_{11} & a_{12} & \dots & \dots & \dots & \dots & a_{1n} \\ a_{21} & a_{22} & \dots & \dots & \dots & \dots & a_{2n} \\ \vdots & & & & & & \vdots \\ \vdots & & & & & & \vdots \\ a_{r1} & & & & & & a_m \end{bmatrix} \text{ where } a_{ij} = 0, 1 \text{ for all } 1 \leq i \leq r, 1 \leq j \leq n.$$

40

【0046】

入力ベクトルは次式によって与えられる。

【0047】

【数15】

$$\mathbf{x} = \begin{bmatrix} x_1 \\ x_2 \\ \vdots \\ \vdots \\ x_n \end{bmatrix}$$

10

【0048】

入力ベクトルのエントリは、実数または複素数、またはスカラ（例のための Z_2 のような）の任意の分野に属するものである。ゴールは、ベクトル \mathbf{x} と行列 A の積の結果を求ることである。この結果は次式のように表現されるであろう。

【0049】

【数16】

$$y = \begin{bmatrix} y_1 \\ y_2 \\ \vdots \\ \vdots \\ y_r \end{bmatrix} = \begin{bmatrix} a_{11} & a_{12} & \cdot & \cdot & \cdot & \cdot & \cdot & a_{1n} \\ a_{21} & a_{22} & \cdot & \cdot & \cdot & \cdot & \cdot & a_{2n} \\ \cdot & \cdot \\ \cdot & \cdot \\ a_{r1} & & & & & & & a_{rn} \end{bmatrix} \begin{bmatrix} x_1 \\ x_2 \\ \vdots \\ \vdots \\ x_n \end{bmatrix}$$

20

【0050】

記述される手続きは再帰的であり、また、ステップの次のシーケンスまたはそれらの一部は各反復で繰り返されるであろう。本発明の好適な実施例によれば、最初のステップは、等しい行のチェックである。可能な場合、入力ベクトルのあらゆる処理も予備的な準備として始まる前に、このステップが行われるべきである。 i - ラインが j - ラインと等しいと判明する場合、そのとき y_i は y_j と等しいと演繹することができる。したがって、2本の等しい線のうちの1本は省略されるであろう。明瞭にするために、より大きな指標を有するラインは、常に省略される1つであろう。したがって、もし $j > i$ ならば、 j - ラインは省略されるであろう。このステージ（それが y_i と等しいので）で知られている y_j がその適切な場所へベクトル y に挿入される場合、この初期動作は、発明の実行の最終ステップで修正される。行列 A の中に等しい2行のラインがなくなるまで、等しい線の省略は継続する。実際上、このステージは多くの場合スキップされる。等しい線の存在の可能性が合理的である場合は常に、それは実行される。 $\log_2(r) > n$ の場合この条件が等しい線の存在を保証するので、それは常に実行される。

30

【0051】

煩わしい表記法を回避するために、このスクリーニング過程に起因する修正された行列は、オリジナルの行列として同じ名前 A を有し、次元 $r \times n$ の名前も保存されるであろう。次のステージで、合計プロセスは等しい列を除去するために導入される。この手続は、最小のコストの追加で、修正された行列中の列の数を削減するであろう。最初に、ベクトル積 $y = A \cdot x$ による行列は、それぞれの x - コンポーネントを乗じた A 列の合計に分解される。

40

従って、

【0052】

【数17】

$$y = A \cdot x = x_1 \begin{bmatrix} a_{11} \\ a_{21} \\ \vdots \\ \vdots \\ a_{r1} \end{bmatrix} + x_2 \begin{bmatrix} a_{12} \\ a_{22} \\ \vdots \\ \vdots \\ a_{r2} \end{bmatrix} + \dots + x_n \begin{bmatrix} a_{1n} \\ a_{2n} \\ \vdots \\ \vdots \\ a_{rn} \end{bmatrix}$$

【0053】

この合計の各要素は、ベクトル x の対応するスカラ係数を乗じて、行列 A の行ベクトルから成る。この合計は、 $y = A \cdot x = x_1 v_1 + x_2 v_2 + \dots + x_n v_n$ として、より簡潔に記述される。

ここで（あらゆる j に対して） v_j は、 A の j 列である。

【0054】

【数18】

$$v_j = \begin{bmatrix} a_{1j} \\ a_{2j} \\ \vdots \\ \vdots \\ a_{nj} \end{bmatrix}$$

【0055】

本発明の好適な実施例に従って、ゼロ列は、それらの係数と共にこのステージで省略される。次に、同一の非ゼロ列は一つにまとめられ、その対応するスカラ係数の合計を掛けて、別個の列がそれぞれ共通因子になるように、再整理される。従って、結果としての合計は、繰り返し列を省略することによって非ゼロ列の元のシーケンスから抽出された別個の非ゼロ列 w_1, \dots, w_m の全てのサブシーケンスからなる。各列 w_j は、この列と等しいすべての列の対応するオリジナルの係数の合計である係数 t_j によって乗じられる。 $m < n$ 、および、ギャップ、 $n - m$ がオリジナルのシーケンス v_1, v_2, \dots, v_n 中の反復回数であることは明らかである。次の数学的な記述は、上述したプロセスは次の数学的表現によって公式化することができる。

【0056】

$$\begin{aligned} y = A \cdot x &= \sum_{j=1}^n x_j v_j \\ &= \sum_{k=1}^m t_k (\sum_{j \text{ such that } v_j = w_k} x_j) v_j \\ &= \sum_{k=1}^m t_k w_k \end{aligned}$$

さて、全ての $1 \leq k \leq m$ に対して、定義する：

$$t_k = \sum_{j \text{ such that } v_j = w_k} x_j$$

計算上のタスクはここまで、オリジナルの係数 x_1, \dots, x_n の合計として新しい係数 t_1, \dots, t_m を算出することである。その代償は $n - m$ の加算である。積 $y = A \cdot x$ は、次式から求められる。

【0057】

$$y = A \cdot x = \sum_{k=1}^m t_k w_k$$

この演算の管理状況、求められた合計における参加体 (participants) を決定することは、入力ベクトルの到着の前に予備的準備として行列毎に一度なされてもよい。要約すると、 B をその列がそれぞれ w_1, \dots, w_m である $r \times m$ 行列にしておき、そして次のようにする。

10

20

30

40

50

【0058】

【数19】

$$t = \begin{bmatrix} t_1 \\ t_2 \\ \vdots \\ \vdots \\ t_m \end{bmatrix}$$

10

【0059】

その後 $y = A \cdot x = B \cdot t$ とする。このように、上記プロセスは、 $r \times n$ 行列 A に n - ベクトル x を乗じるオリジナルの問題を、 $r \times m$ 行列 B に m - ベクトル t を乗じる問題へ限定した。これによって可能にされる利益は、 m がより小さいとき、より大きい。

【0060】

次のステップは、前のステージの行列 B を 2 つ以上のサブ行列への水平分割である、ここでラインは壊されないままにされる。サブ行列はそれぞれ、削減された列の数を有し、それは、次の反復中で上記の列収集手続の利益を増大させるであろう。行列 B のラインは、 u_1, u_2, \dots, u_r によって表示される。考慮中の積は次のように表現される。

20

【0061】

【数20】

$$y = B \cdot t = \begin{bmatrix} u_1 \cdot t \\ u_2 \cdot t \\ \vdots \\ \vdots \\ u_r \cdot t \end{bmatrix}$$

30

$$u_1 \cdot t$$

【0062】

ここで各ラインは、スカラ積の中でベクトル t が乗じられる。この表現から、 $y = B \cdot t$ を計算するタスクは、 r スカラ積、すなわち $u_1 \cdot t, u_2 \cdot t, \dots, u_r \cdot t$ を計算する結合タスクと等価である。

【0063】

本発明の好適な実施例によれば、これはベクトル積、すなわち $B_1 \cdot t$ および $B_2 \cdot t$ によって行列を計算することにより行われるである、ここで行列 B_1 および B_2 の各々は行列 B のラインの部分集合を含んでおり、これらの 2 つの部分集合が相互に解体し、それらの結合は B 中のすべてのラインの部分集合を含む。通常、第 1 の反復を除いて、2 つのサブ行列は同数あるいはほとんど同数のラインを有する。しかしながら、いくつかの特別な場合における行列 A の特性に依存して、その分割は、2 を越える行列になるであろう。そのようなことは、行列 A が特別な内部順序（オーダー）を有しておらず、またそのエントリが任意に選ばれるように考慮される場合のケースである。その後、本発明の好適な実施例は、通常次の最初のラインの分割を暗示し、全ての分割したサブ行列を $l o g_2$ (列の数) > 行の数の状態へ持つて来るであろう。その後、次の反復は、ラインを 2 つのほとんど等しい半分へ分割するであろう。行列が勝手気ままであると考えられる場合は、本質的に最悪のシナリオである。

40

【0064】

50

代わりにあるいはその前に挿入されてもよい別のステップ、すなわち上記言及された水平分割が垂直分割である場合である。本発明の好適な実施例によれば、上記言及した合計、

$$y = \sum_{k=1}^m t_k w_k$$

は、2つに分割される。すなわち、

$$y = \sum_{k=1}^p t_k w_k + \sum_{k=p+1}^m t_k w_k$$

であり、ここで p は 1 と $m - 1$ の間で選ばれる。このように、 B_1 に対して、その行列の1組の列は、 w_1, \dots, w_p であり、また B_2 に対して、その行列の1組の列は、 w_{p+1}, \dots, w_m である。それは、

$$y = B_1 \cdot t' + B_2 \cdot t''$$

10

【0065】

ここで、対応するベクトルは、 $t' = (t_1, \dots, t_p)$ 、そして $t'' = (t_{p+1}, \dots, t_m)$ である。

従って、本発明のこの好適な実施例によって、2つのより低い次元の積、 $B_1 \cdot t'$ そして $B_2 \cdot t''$ は別々に計算され、結局、2つの r -ベクトルである結果は共に合計される。B列、 w_1, \dots, w_m の指標の予備的な再配置は、このステップの有効性を増強することができる。

【0066】

垂直の分割は、他の手続きにおいてもそれほど頻繁に使用されない。その主な使用は、行の数が本質的に列の数を超過する場合にあり、DSPのアプリケーションにおいて、その状況はそれほど一般的でない。このステップの基本的な欠点は、上記水平分割にパラレル性を有しない r スカラ加算の加算のセットから成る2つの積 $B_1 \cdot t'$ および $B_2 \cdot t''$ の結果を合計する必要性にある。上記水平分割の場合のように、行列 A の特性に依存して、垂直分割は 2 を越える行列になるかもしれない。

20

【0067】

最後に、上記ステップの各々は繰り返される反復に適用され、再帰的なメカニズムを形成する。

【0068】

次に、境界は、上記方法によって可能にされる削減に提示される。 $r \times n$ 0-1行列 A に対し、 $s^*(n, r)$ によって表示された最悪の場合の加算回数は、 $r < \log_2(n)$ において、次の表現によって与えられる。

30

【0069】

$$s^*(n, r) = n + s^*(r)$$

次表は、小さな数の行を備える行列に対する加算の数に境界を与える。

【0070】

$s^*(2) = -1$	$s^*(n, 2) = n - 1$
$s^*(3) = 2$	$s^*(n, 3) = n + 2$
$s^*(4) = 7$	$s^*(n, 4) = n + 13$
$s^*(5) = 22$	$s^*(n, 5) = n + 49$

最悪の場合に次の境界がある。

40

【0071】

$$s^*(r) < 2^r + 2^{r/2+2} - r$$

$u(A)$ が行列 A の中の数 1, n である場合、標準(先行技術)方法は $u(A) - r$ の加算を要求する。平均では(A が任意のとき、期待値によって) $u(A) = (n - 2) \cdot r / 2$ である。 r が一定(または $r < \log_2(n)$ ここで $1 > c > 0$) であるとき、 n が無限大になるにつれ $s^*(n, r) / n$ が 1 に接近するので、この方法は、漸近的に(有界である r および非有界の n に対して) 最適である。

【0072】

A が $r \times n$ 0-1行列で、行列 A の次元 $r \times n$ に関する仮定はないとき、積 $A \cdot x$ を計算するのに本発明によって要求される加算の数は、 $1 > c > 0$ の場合、 $(1 + c)n \cdot$

50

$r / \log_2(n)$ によって制限され、 r および n の両方が無限大に近づくと、 θ は 0 に近づく。 $r > n$ の場合により厳しい境界が（この場合に関する）存在し、それは垂直分割のアプリケーションに起因する。

【0073】

$$(1 + \dots) n \cdot r / \log_2(r), \text{ここで } 1 > \dots > 0$$

そして、 r および n の両方が無限大に近づくと、 θ は 0 に近づく。

【0074】

このプロセスの有効性を評価するために、本発明は、管理動作を増加させ、かつ加算を削減することが認められるべきである。しかしながら、加算は、複雑性の主要原因となり、また、本発明の実施による削減により支配的な効果を發揮する。さらに、データ・ベクトルの処理が始まる前に、ほとんどの管理動作は行列毎に一回行われる。このように、示唆された方法は、本質的に電力消費と回路を節約する。与えられた行列がある程度まばらであるとき、上記 0 - 1 - 2 進は、特に効率的な特徴を發揮する。このようなことは、この実施例を適用することにより、本発明の実数の行列の特徴で記述されるように、一般的な実数の行列をベクトルで乗算する計算において分散型の演算と結び付くとき、しばしば遭遇する。

【0075】

さらに、発明のこの特徴は、代数のコードに適用可能で（参照：[Shu Lin, Daniel J. Costello, Jr. "Error control coding Fundamentals and Applications" Prentice-Hall, Inc., Englewood Cliffs, N.J., 1983]）、符号化および復号化のプロセスにおいて、 Z_2 行列は Z_2 ベクトル（あるいは Z_{2^n} ベクトル）で乗じられる。これは、 Z_2 行列が Z_{2^n} ベクトルで乗じられるすべての状況で真実である。最後に、上記の 0 - 1 - 2 進の実施例および次の U - 2 進の実施例は、特性 2 のフィールドを除いてスカラのすべてのフィールドで容易に交換可能である。個々の特定の場合では、より効率的な実施例が選択されるであろう。

U 行列

本発明の好適な実施例（以後、「U 方法」と称する）である U - 2 進の記述に必要な予備的な概念は、ベクトルと等価な概念である。1つが他方の積ならば、同じ次元である 2 つの非ゼロのベクトルが等価と称されるであろう。この実施例の内容において、それらが等しい場合またはそれらのうちの 1 つが他方の積（-1）である場合、2 つの U ベクトルが等価であることに注意すべきである。次の好適な実施例は、詳細において上記のものとかなり類似している。次の文章で、消去(elimination)が等しいベクトルに対してよりむしろ等価な（行または列）ベクトルになることが主要な相違点である。これは消去速度を促進し、したがって効率を増強する。この実施例は、例によって導入され、その概念の本質を実証する。

例：次の 5×13 U 行列 A と 13 次元の入力ベクトル x との積を考慮する。行列は以下のとおり与えられる。

【0076】

【数 21】

$$A = \begin{bmatrix} -1 & 1 & -1 & -1 & 1 & 1 & -1 & 1 & 1 & -1 & 1 & -1 & 1 \\ 1 & -1 & -1 & 1 & 1 & -1 & 1 & -1 & -1 & 1 & -1 & -1 & 1 \\ 1 & 1 & -1 & 1 & -1 & -1 & -1 & 1 & -1 & -1 & 1 & 1 & 1 \\ -1 & 1 & 1 & -1 & -1 & 1 & -1 & 1 & 1 & -1 & 1 & 1 & -1 \\ -1 & 1 & -1 & -1 & 1 & 1 & -1 & 1 & 1 & -1 & 1 & 1 & 1 \end{bmatrix}$$

【0077】

入力ベクトルは次のとおり与えられる。

【0078】

【数22】

$$\mathbf{x} = \begin{bmatrix} x_1 \\ x_2 \\ \vdots \\ \vdots \\ x_{13} \end{bmatrix}$$

10

【0079】

積の結果は次式のように記述される。

【0080】

【数23】

$$\mathbf{y} = \begin{bmatrix} y_1 \\ y_2 \\ y_3 \\ y_4 \\ y_5 \end{bmatrix} = A \cdot \mathbf{x}$$

20

【0081】

そのプロセスにおける第1歩は、等価なラインをチェックすることである。実際上、それは、入力ベクトルの到着の前に行われる一回の動作である。スキャンは、与えられた行列中の等価なラインの1つの発生を発見することで、ライン2はライン4に等価であり、事実、ライン4はライン2に(-1)を乗じたものに等しい。それは結果として $y_4 = -y_2$ となる。したがって、 y_4 と y_2 の両方を計算する必要はなく、 y_4 の演算は省略されるであろう。このように、ライン4は行列Aから削除される。その結果としての行列A'は、

30

次式で与えられる。

【0082】

【数24】

$$A' = \begin{bmatrix} -1 & 1 & -1 & -1 & 1 & 1 & -1 & 1 & 1 & -1 & 1 & -1 & 1 \\ 1 & -1 & -1 & 1 & 1 & -1 & 1 & -1 & -1 & 1 & -1 & -1 & 1 \\ 1 & 1 & -1 & 1 & -1 & -1 & -1 & 1 & -1 & -1 & 1 & 1 & 1 \\ -1 & 1 & -1 & -1 & 1 & 1 & -1 & 1 & 1 & -1 & 1 & 1 & 1 \end{bmatrix}$$

40

【0083】

対応する出力ベクトルは、次式で与えられる。

【0084】

【数25】

$$\mathbf{y}' = \begin{bmatrix} y_1 \\ y_2 \\ y_3 \\ y_5 \end{bmatrix}$$

【0085】

それは、 $\mathbf{y}' = \mathbf{A}' \cdot \mathbf{x}$ であることを保持する。

【0086】

これは最初の削減である。次のステップにおいて、積 $\mathbf{A}' \cdot \mathbf{x}$ は、それぞれの x -コンポーネントを乗じた \mathbf{A}' 列の合計に分解される。したがって、次のようになる。

【0087】

【数26】

$$\begin{bmatrix} y_1 \\ y_2 \\ y_3 \\ y_5 \end{bmatrix} = x_1 \begin{bmatrix} -1 \\ 1 \\ 1 \\ -1 \end{bmatrix} + x_2 \begin{bmatrix} 1 \\ -1 \\ 1 \\ 1 \end{bmatrix} + x_3 \begin{bmatrix} -1 \\ -1 \\ -1 \\ -1 \end{bmatrix} + x_4 \begin{bmatrix} -1 \\ 1 \\ 1 \\ -1 \end{bmatrix} + x_5 \begin{bmatrix} 1 \\ 1 \\ -1 \\ 1 \end{bmatrix} + x_6 \begin{bmatrix} 1 \\ -1 \\ -1 \\ 1 \end{bmatrix} + x_7 \begin{bmatrix} 1 \\ 1 \\ 1 \\ 1 \end{bmatrix} \\ \begin{bmatrix} -1 \\ 1 \\ -1 \\ -1 \end{bmatrix} + x_8 \begin{bmatrix} 1 \\ -1 \\ 1 \\ 1 \end{bmatrix} + x_9 \begin{bmatrix} 1 \\ -1 \\ -1 \\ 1 \end{bmatrix} + x_{10} \begin{bmatrix} -1 \\ 1 \\ -1 \\ -1 \end{bmatrix} + x_{11} \begin{bmatrix} 1 \\ -1 \\ 1 \\ 1 \end{bmatrix} + x_{12} \begin{bmatrix} -1 \\ -1 \\ 1 \\ 1 \end{bmatrix} + x_{13} \begin{bmatrix} 1 \\ 1 \\ 1 \\ 1 \end{bmatrix}$$

【0088】

次に、上記合計中の列ベクトルの各々に対し正規化が実行され、各修正済のベクトルの上部コンポーネントが 1 となる。このように、ベクトルの上部コンポーネントが (-1) である場合、ベクトルおよびその係数は両方とも (-1) が乗じられる。しかしながら、ベクトルの上部コンポーネントが 1 である場合、修正は行われない。上記合計の正規化形が次のように導き出される。

【0089】

【数27】

$$\begin{bmatrix} y_1 \\ y_2 \\ y_3 \\ y_5 \end{bmatrix} = (-x_1) \begin{bmatrix} 1 \\ -1 \\ -1 \\ 1 \end{bmatrix} + x_2 \begin{bmatrix} 1 \\ -1 \\ 1 \\ 1 \end{bmatrix} + (-x_3) \begin{bmatrix} 1 \\ 1 \\ 1 \\ 1 \end{bmatrix} + (-x_4) \begin{bmatrix} 1 \\ -1 \\ -1 \\ 1 \end{bmatrix} + x_5 \begin{bmatrix} 1 \\ 1 \\ -1 \\ 1 \end{bmatrix} + x_6 \begin{bmatrix} 1 \\ -1 \\ -1 \\ 1 \end{bmatrix} + (-x_7) \begin{bmatrix} 1 \\ 1 \\ 1 \\ 1 \end{bmatrix} \\ + x_8 \begin{bmatrix} 1 \\ -1 \\ 1 \\ 1 \end{bmatrix} + x_9 \begin{bmatrix} 1 \\ -1 \\ -1 \\ 1 \end{bmatrix} + (-x_{10}) \begin{bmatrix} 1 \\ -1 \\ 1 \\ 1 \end{bmatrix} + x_{11} \begin{bmatrix} 1 \\ -1 \\ 1 \\ 1 \end{bmatrix} + (-x_{12}) \begin{bmatrix} 1 \\ 1 \\ -1 \\ 1 \end{bmatrix} + x_{13} \begin{bmatrix} 1 \\ 1 \\ 1 \\ 1 \end{bmatrix}$$

【0090】

この正規化された合計では、各ベクトルの上部コンポーネントは 1 であり、また、異なるベクトル数が削減される。次のステップは、同じ列の係数を集めて合計することである。したがって、8つの加算の実行で、次の方程式が得られる。

10

20

30

40

50

【0 0 9 1】

【数28】

$$\begin{bmatrix} y_1 \\ y_2 \\ y_3 \\ y_5 \end{bmatrix} = ((-x_1) + (-x_4) + x_6 + x_9) \begin{bmatrix} 1 \\ -1 \\ -1 \\ 1 \end{bmatrix} + (x_2 + (-x_7) + x_8 + (-x_{10}) + x_{11}) \begin{bmatrix} 1 \\ -1 \\ 1 \\ 1 \end{bmatrix} + ((-$$

$$x_3) + x_{13}) \begin{bmatrix} 1 \\ 1 \\ 1 \\ 1 \end{bmatrix} + + x_5 \begin{bmatrix} 1 \\ 1 \\ -1 \\ 1 \end{bmatrix} + (-x_{12}) \begin{bmatrix} 1 \\ 1 \\ -1 \\ -1 \end{bmatrix}$$
10

【0 0 9 2】

さて、新しい係数が定義される。

【0 0 9 3】

$w_1 = (-x_1) + (-x_4) + x_6 + x_9,$

$w_2 = x_2 + (-x_7) + x_8 + (-x_{10}) + x_{11},$

$w_3 = -x_3 + x_{13}, \quad w_4 = x_5, \quad w_5 = -x_{12}$

従って、上記の方程式は次の形式で書くことができる。

【0 0 9 4】

【数29】

$$\begin{bmatrix} y_1 \\ y_2 \\ y_3 \\ y_5 \end{bmatrix} = w_1 \begin{bmatrix} 1 \\ -1 \\ -1 \\ 1 \end{bmatrix} + w_2 \begin{bmatrix} 1 \\ -1 \\ 1 \\ 1 \end{bmatrix} + w_3 \begin{bmatrix} 1 \\ 1 \\ 1 \\ 1 \end{bmatrix} + w_4 \begin{bmatrix} 1 \\ 1 \\ -1 \\ 1 \end{bmatrix} + w_5 \begin{bmatrix} 1 \\ 1 \\ -1 \\ -1 \end{bmatrix}$$
20

【0 0 9 5】

係数、 w_1, w_2, w_3, w_4, w_5 はこのステージでプロセッサには知られている。次のステージで、このベクトル方程式は、次の2つの方程式のセットに水平に分割されるであろう。

【0 0 9 6】

【数30】

$$\begin{bmatrix} y_1 \\ y_2 \end{bmatrix} = w_1 \begin{bmatrix} 1 \\ -1 \end{bmatrix} + w_2 \begin{bmatrix} 1 \\ -1 \end{bmatrix} + w_3 \begin{bmatrix} 1 \\ 1 \end{bmatrix} + w_4 \begin{bmatrix} 1 \\ 1 \end{bmatrix} + w_5 \begin{bmatrix} 1 \\ 1 \end{bmatrix}$$

$$\begin{bmatrix} y_3 \\ y_5 \end{bmatrix} = w_1 \begin{bmatrix} -1 \\ 1 \end{bmatrix} + w_2 \begin{bmatrix} 1 \\ 1 \end{bmatrix} + w_3 \begin{bmatrix} 1 \\ 1 \end{bmatrix} + w_4 \begin{bmatrix} -1 \\ 1 \end{bmatrix} + w_5 \begin{bmatrix} -1 \\ -1 \end{bmatrix}$$
40

【0 0 9 7】

さて、これらの方程式の各々は、第1の反復の同じ方法で別々に処理される。それが前の方程式の正規状態を継承したので、上部の方程式は正規化を要求せず、正規化は第2の方程式にのみ必要である。従って、生起する結果としてのセットは次のとおりである。

【0 0 9 8】

【数31】

$$\begin{bmatrix} y_1 \\ y_2 \end{bmatrix} = w_1 \begin{bmatrix} 1 \\ -1 \end{bmatrix} + w_2 \begin{bmatrix} 1 \\ -1 \end{bmatrix} + w_3 \begin{bmatrix} 1 \\ 1 \end{bmatrix} + w_4 \begin{bmatrix} 1 \\ 1 \end{bmatrix} + w_5 \begin{bmatrix} 1 \\ 1 \end{bmatrix}$$

$$\begin{bmatrix} y_3 \\ y_5 \end{bmatrix} = (-w_1) \begin{bmatrix} 1 \\ -1 \end{bmatrix} + w_2 \begin{bmatrix} 1 \\ 1 \end{bmatrix} + w_3 \begin{bmatrix} 1 \\ 1 \end{bmatrix} + (-w_4) \begin{bmatrix} 1 \\ -1 \end{bmatrix} + (-w_5) \begin{bmatrix} 1 \\ 1 \end{bmatrix}$$

【 0 0 9 9 】

次のステップで、同じベクトルの係数は集められ合計される。したがって、さらに 6 つの加算で、その結果は次のとおりである。

10

【 0 1 0 0 】

【 数 3 2 】

$$\begin{bmatrix} y_1 \\ y_2 \end{bmatrix} = (w_1 + w_2) \begin{bmatrix} 1 \\ -1 \end{bmatrix} + (w_3 + w_4 + w_5) \begin{bmatrix} 1 \\ 1 \end{bmatrix}$$

$$\begin{bmatrix} y_3 \\ y_5 \end{bmatrix} = (-w_1 - w_4) \begin{bmatrix} 1 \\ -1 \end{bmatrix} + (w_2 + w_3 + -w_5) \begin{bmatrix} 1 \\ 1 \end{bmatrix}$$

【 0 1 0 1 】

20

明らかに、ベクトル y' はさらに 4 つの加算で済むことがわかる。オリジナルの出力ベクトル y を得るために、 $y_4 = -y_2$ を思い起こすことが単に必要なだけである。このように、18回の加算の合計が、このプロセスに必要とされた。従来の先行技術方法が出力ベクトルを計算するために 60 回の加算の合計を要求することに認識すべきである。

【 0 1 0 2 】

本発明の U - 2 進の好適な実施例は、 $r \times m$ の U 行列 A と n 次元の入力ベクトル x との積を求めるための効率的な方法である。それは通常 0 - 1 の好適な実施例より多くの利益を提供し、より多くのアプリケーションを有する。

【 0 1 0 3 】

行列 A は次式で与えられる。

30

【 0 1 0 4 】

【 数 3 3 】

$$A = \begin{bmatrix} a_{11} & a_{12} & \dots & \dots & \dots & \dots & a_{1n} \\ a_{21} & a_{22} & \dots & \dots & \dots & \dots & a_{2n} \\ \vdots & & & & & & \\ \vdots & & & & & & \\ a_{r1} & & & & & & a_{rn} \end{bmatrix} \quad \text{where } a_{ij} = \pm 1 \quad \text{for all } 1 \leq i \leq r,$$

40

$1 \leq j \leq n$.

【 0 1 0 5 】

そして、入力ベクトルは次式のように書かれている。

【 0 1 0 6 】

【 数 3 4 】

$$\mathbf{x} = \begin{bmatrix} x_1 \\ x_2 \\ \vdots \\ \vdots \\ x_n \end{bmatrix}$$

【0107】

10

入力ベクトルのエントリ値は実数または複素数、あるいは2より大きな特性を備えるスカラ領域に属するものであってもよい。目標は、次の積の結果を計算することである。

【0108】

$y = A \cdot x$

最初のステップは、等価ラインの消去によって与えられた行列を修正することで、そのステップは予備的な準備の一部である。 i ラインが j ラインと等価であると分かると、そのとき y_i は $\pm y_j$ と等しいと推論することができる。したがって、本発明の最初のステップにおける好適な実施例は、2つの等価なラインのうちの1つを省略することを決めることがある。明瞭にするために、方針としては、より大きな指標を有するラインを常に省略すべき1つとすることである。このように、それが $j > i$ と推定される場合、、そのとき、 j ラインが省略されるであろう。このステージで知られている y_j がベクトル y のその場所へ戻される場合、この最初の動作はプロセスの最終ステップで逆にされる。この消去プロセスは、修正済の行列に等価である2行のラインがなくなるまで、継続する。

20

【0109】

等価なラインが実際に存在する可能性がある場合は常に、このステージが実行される。これは、多くの場合U方法による複数の積の（本発明の別の側面）アプリケーションでの場合である。 $\log_2(r) \leq n$ の場合、この条件は等価ラインの存在を保証するので、このステージは常に行なわれる。しかしながら、等価ラインの存在を保証し、かつ検討すべきである他の条件がある。例えば、これは、アダマール行列のサブ行列中にある場合である。不体裁な表記法を回避するために、結果としての修正済の行列は、オリジナルの行列と同じ名前 A を有し、次元 $r \times n$ の名前もまた保存されるであろう。

30

【0110】

次のステップは等価な列の消去である。これは、加算による最小の犠牲で修正済の行列における水平の次元（つまり列の数）を減少させるであろう。0 - 1の場合のように、このステップと関係する全ての管理は、データ・ベクトルの到着に先立って予備的な準備として通常各行列当たり1回行われる。最初に、積 $y = A \cdot x$ は、対応する \times コンポーネントを乗じた A 列の合計として表現される。

【0111】

【数35】

Let v_j (for every j) be the j column of A : $v_j = \begin{bmatrix} a_{1j} \\ a_{2j} \\ \vdots \\ \vdots \\ a_{nj} \end{bmatrix}$ Then:

$$A \cdot x = x_1 v_1 + x_2 v_2 + \dots + x_n v_n$$

【0112】

50

次に、それがまだ + 1 でない場合、行列 A における各列ベクトルの上部の要素が検査され、+ 1 値に正規化される。従って、 $a_{1j} = + 1$ の場合、そのとき正規化は必要ではないが、しかし $a_{1j} = - 1$ ならば、そのとき正規化が行われ、その対応する j 列のベクトルは、その対応する係数 x_j と同様に、- 1 が乗じられる。上記の合計の新しい表現が得られるが、ここで各ベクトルの上部のエントリは + 1 に等しくなる。この表現では、等価な列は常に等しい。

【0 1 1 3】

その後、上記の 0 - 1 の実施例のように、同一の列は一つにまとめられ、各列をその対応するスカラ係数の合計として乗じられる共通因子により再整理される。これによって、結果としての合計は、反復する正規化された列をふるいにかけることにより、正規化された列ベクトルのシーケンスから抽出され、個別に正規化された全ての列ベクトル w_1, \dots, w_m (反復をせずに) のシーケンスからなる。別個の正規化された列 w_j それぞれは、係数 t_j が乗じられ、その係数はこの列と等しいすべての正規化された列の対応する正規化された係数の合計である。 $m - n$ で、その差 $n - m$ は、正規化された列のオリジナルのシーケンスにおける反復数である、すなわち、 $a_{11} v_1, a_{12} v_2, \dots, a_{1n} v_n$ 。

【0 1 1 4】

数学上、そのプロセスは次のとおりである。

【0 1 1 5】

$$\begin{aligned} A \cdot x &= \sum_{j=1}^n x_j v_j \\ &= \sum_{k=1}^m t_k \sum_{j=1}^n x_j \text{ such that } a_{1j} v_j = w_k \quad (x_j a_{1j}) a_{1j} v_j \\ &= \sum_{k=1}^m t_k \sum_{j=1}^n x_j \text{ such that } a_{1j} v_j = w_k \quad a_{1j} x_j w_k \end{aligned}$$

全ての $1 \leq k \leq m$ に対して、定義する：

$$t_k = \sum_{j=1}^n \text{ such that } v_j = w_k \quad a_{1j} x_j$$

本発明のこの部分に含まれる主要な計算タスクは、正規化されたオリジナルの係数の合計として新しい係数 t_1, \dots, t_m を計算することである。加算による負担は $n - m$ である。積 $A \cdot x$ は、次式で与えられる。

【0 1 1 6】

$$A \cdot x = \sum_{k=1}^m t_k w_k$$

列消去プロセスによる利点は、オリジナルの行列 A の構造に依存する。それは、アダマールまたは周期的な PN 行列のサブ行列のようなある種の無線通信において、信号ベクトルの符号化および復号化で一般に使用されるいくつかの行列で重要である。さらに、行列 A 中のライン数である r が行 n の数に比べて小さいとき、それは重要である。特に、 $r \log(n)$ のとき、そのような場合、 $m - n = n - 2^{r-1} > 0$ である。これらの考察は、0 - 1 行列においてもかなり正しい。

【0 1 1 7】

本発明のこの好適な実施例の残りの部分、水平および垂直の分割、反復は、その 0 - 1 の対応物と等価である。

【0 1 1 8】

本発明の使用によって可能にされる節約を考察すると、その加算が複雑性の主要部分であることがまず分かる。 $r \log_2(n)$ で $r \times n$ U 行列 A に対し、 $s(n, r)$ によって表わされる最悪の場合における加算数は、次式で与えられる。

【0 1 1 9】

$$s(n, r) = n + s(r)$$

ここで：

$$\begin{array}{ll} s(1) = -1 & s(n, 1) = n - 1 \\ s(2) = 0 & s(n, 2) = n \\ s(3) = 3 & s(n, 3) = n + 3 \\ s(4) = 8 & s(n, 4) = n + 8 \\ s(5) = 19 & s(n, 5) = n + 19 \end{array}$$

10

20

30

40

50

$$\begin{array}{ll}
 s(6) = 38 & s(n, 6) = n + 38 \\
 s(7) = 75 & s(n, 7) = n + 75 \\
 s(8) = 144 & s(n, 8) = n + 144 \\
 s(9) = 283 & s(n, 9) = n + 283
 \end{array}$$

次の境界が常に有効である。

【0120】

$$s(r) < 2^{r-1} + 2^{r/2+1} - r$$

先行技術の従来方法は、 $(n-1) \cdot r$ 回の加算を要求する。n が無限大に行き、r が一定のとき、 $s(n, r) / n$ は 1 に接近するので、この方法は漸近的に最適である。後で記述される本発明のより複雑な多重積による実施例は、加算の最悪の場合における加算数に正確な境界を要求する。これは次の回帰方程式によって可能になる。

【0121】

偶数の r に対して：

$$s(r) = 2^{r-1} + 2s(r/2)$$

奇数の r に対して：

$$s(r) = 2^{r-1} + s((r+1)/2) + s((r-1)/2)$$

A が $r \times n$ U 行列で、行列 A の次元 $r \times n$ に対する制限はないとき、本発明によって求められる積 $A \cdot x$ を計算するのに必要な加算数は、常に次式によって制限される、すなわち $(1 +) n \cdot r / \log_2(n)$ 、ここで $1 > > 0$ 、および、r および n の両方が無限大に近づくと、 \cdot は 0 に近づく。 $r > n$ の場合には、よりきつい境界（この場合に 20 関しての）が存在し、それは垂直の分割を適用することに起因する、すなわち、

$$(1 +) n \cdot r / \log_2(r)、ここで 1 > > 0、$$

および、r および n の両方が無限大に近づくと、 \cdot が 0 に近づく。

【0122】

しかしながら、行列 A に特定のタイプの構造がある場合、積 $A \cdot x$ を計算するために本発明の好適な実施例によって要求される加算の回数は、劇的に減少するであろう。その最も一般的な条件は本テキストの範囲外であるが、しかし、A が $n \times n$ アダマールまたは周期的な擬似ランダム (PN) 行列である場合、いくつかの例が言及されるであろう。しかしながら、単に $n \cdot \log_2(n)$ 、加算および n スカラのメモリが要求され、それはこの点で最適である。この見解はさらに 0-1 行列に適用できる。

産業上の応用例

上述された本発明の好適な実施例を実施することから利益を得るいくつかの技術がある。そのような技術の 1 つは、画像処理であり、それは U 行列をベクトルで乗じた積を含むいくつかの手順を達成する。無線通信の CDMA、IS-95、またより発展した第 3 世代の広帯域 CDMA において、U 行列をベクトル乗じた積を使用するいくつかのプロセスがある。これらのプロセスは本発明の使用によって、よりエネルギー使用量、回路類およびさらに実行時間の削減をもたらすであろう。

【0123】

IS-95-B のマルチコード化の内容で、アダマール - 64 からの 8 行のラインは、そのエントリが信号のサンプルであるベクトルによって乗じられる U 行列を含む。別の応用は、デスプレッダ (despread) によって成される隣接検出にある。データ・ベクトルによってわずかのアダマール・ラインからできている行列の積がある。別の応用は検索である。それは相互のスカラ積の演算によって高い相関をもつシーケンスを探査する。相関器のシーケンスは、U シーケンスである擬似ランダム (PN) シーケンスから抽出され、データ・ベクトルによるそれらのスカラ積が要求された演算となる。最初の調査は、検索者の 1 つの段階である。

一般化された消去法

本発明の上記 2 進法の特徴は、下記プロセスの反復によって特徴づけられる、すなわち、ゼロ・ラインおよび等価ライン（一つが他方のスカラ積であることを意味する）が省略され、ゼロ列がそれらに関連した入力ベクトルのスカラ・コンポーネントと共に省略され、

10

20

30

40

50

等価列は一まとめにされて合計され、また、これらの2つの特徴が使い尽くされた後にその行列は水平にまたは垂直に分割される。本発明の好適な実施例によれば、このステップの反復シーケンスは、スカラのあらゆる分野に行列とベクトルの積に適用できる。本発明のこのより広い好適な実施例は、一般化された消去法 (GEM : generalized-elimination method) と称される。

【0124】

等価列の合計は、基本的に下記プロセスの反復である。 v_1, v_2, \dots, v_n を変換行列 A の列にし、 $x = (x_1, x_2, \dots, x_n)$ を入力ベクトルとすると、ゴールは $A \cdot x$ を計算することである。列 v_{k+1}, \dots, v_n ($2 \leq k < n$ に対して) の各々が、 k -列のスカラ積、すなわち $k < j \leq n$ に対して $v_j = z_j v_k$ であることを、指標の適切な再配置の後に保持すると仮定する。その後、 n 次元のベクトル x は減少した k 次元のベクトルと置き換えられる。すなわち、

$$\begin{aligned} x' &= (x_1, x_2, \dots, x_{k-1}, x'_{k+1}, \dots, x_n) \text{ ここで、} \\ x'_{k+1} &= x_k + x_{k+1} \cdot z_{k+1} + \dots + x_n \cdot z_n \end{aligned}$$

そして、 $r \times n$ 行列は、その列が v_1, v_2, \dots, v_k である減少した $r \times k$ 行列 A' と置き換えられる。その後、 $A' \cdot x' = A \cdot x$ を保持する。本発明の好適な実施例に従って、必要ならば指標の変更を含むこのプロセスは、2つの列が等価でなくなるまで、繰り返される。確かに、このプロセスは、単に本発明における U 行列の実施例で行われる正規化プロセスの一般化である。実際に、上記の等価な列の削減のすべては、同時に行われてもよい。このステージが終わると、それは全工程の最初の反復と考えられるであろう。その後、行列は、水平に分割され、各分割において上記列の削減が上記実施例中で行われたように、再帰的な方法で繰り返す。

【0125】

U 実施例により、また次の例によって示されるように、等価な列を除去する効率的な方法は、最初に最上部のコンポーネントで各列を分割し、続いて対応する係数に同じ最上部のコンポーネントを乗ずることである。それは各修正された列の最上部のコンポーネントに 1 を有する結果になる。しかしながら、時々、GEM を適用する際に、変換行列中の列における最上部のコンポーネントが、この分割を不可能にする 0 となることがある。このような場合、簡単な解決法は、その最上部の 0 でないコンポーネントで各非ゼロの列を分割し、それにより、対応する係数に同じ最上部の非ゼロのコンポーネントを掛けることである。その結果、各修正済の列における最上部の非ゼロのコンポーネントに 1 が存在することになる。2つの列が、等しい場合および等しい場合にのみ、修正済の行列中で等価であるという望ましい結果をもたらすことになる。

【0126】

本発明のこの好適な実施例がその効率を増進する場合を示唆するためには、比較的小な有限集合 S 中にそのエントリを有する行列を考慮することである。実際に、このセット S は、有限集合体、集合体の乗算グループにおける有限のサブグループまたは乗算の下で閉じた集合体の有限部分集合、およびより大きな普遍性の中で、集合体の任意の有限部分集合であつてよい。それは、既に議論された 2 進法のケースを含み、ここで $S = \{0, 1\}$ 、または $S = \{1, -1\}$ および他の非常に共通した状況、ここで $S = \{0, 1, -1\}$ または $S = \{1, -1, j, -j\}$ または $S = \{0, 1, -1, j, -j\}$ である。利得は S のサイズで減少し、その一般的な規則は、GEM が $\log_{|S|}(n)$ の要因だけ加算の数を減少することを維持する、ここで n は与えられた変換行列中の列の数である。適用可能な場合、GEM は、効率のために、後で記述されるであろう複雑で一般的な実施例と比較される。

【0127】

この方法が動作する方法を示すために、エントリが集合体からくる行列を示す、すなわち $U_1 = def = \{1, -1, j, -j\}$ は U_1 行列と呼ばれる。このようなタイプの行列は、しばしば実際に現われる。しかしながら、GEM があらゆる特定のタイプの行列に制限されないことが再度強調されなければならない。加算の数は、ベクトルによる $r \times n$ U

10

20

30

40

50

1行列の積のために、 $C = n + 4^{r-1} + o(4^{r-1})$ によって制限される。

【0 1 2 8】

例：次の 3×15 の行列 A を 15 次元の複素入力ベクトル x で乗じた積を検討する。

行列は次式で与えられる。

【0 1 2 9】

【数 3 6】

$$A = \begin{bmatrix} 1 & -j & j & -1 & 1 & -j & -1 & j & -1 & j & -1 & 1 & -j & 1 & j \\ -1 & j & -1 & j & 1 & j & 1 & 1 & j & -j & -j & -j & -j & -1 & -j \\ j & 1 & -1 & j & j & j & 1 & -1 & 1 & -1 & -1 & -j & 1 & j & -1 \end{bmatrix}$$

10

【0 1 3 0】

そして、入力ベクトルは次に与えられる。

【0 1 3 1】

【数 3 7】

$$x = \begin{bmatrix} x_1 \\ x_2 \\ \cdot \\ \cdot \\ \cdot \\ x_{15} \end{bmatrix}$$

20

【0 1 3 2】

積の結果は次式で書かれる。

【0 1 3 3】

【数 3 8】

$$y = \begin{bmatrix} y_1 \\ y_2 \\ y_3 \end{bmatrix} = A \cdot x$$

30

【0 1 3 4】

この例において行われる加算は、すべて複素加算である。最初のステップは、等価ラインに対するチェックである。等価なラインは見つからない。次のステップで、積 $A \cdot x$ は、それぞれの x コンポーネントを乗じた A 列の合計に分解される。

【0 1 3 5】

【数 3 9】

$$\begin{bmatrix} y_1 \\ y_2 \\ y_3 \end{bmatrix} = x_1 \begin{bmatrix} 1 \\ -1 \\ j \end{bmatrix} + x_2 \begin{bmatrix} -j \\ j \\ 1 \end{bmatrix} + x_3 \begin{bmatrix} j \\ -1 \\ -1 \end{bmatrix} + x_4 \begin{bmatrix} -1 \\ j \\ j \end{bmatrix} + x_5 \begin{bmatrix} 1 \\ 1 \\ j \end{bmatrix} + x_6 \begin{bmatrix} -j \\ j \\ j \end{bmatrix} + x_7 \begin{bmatrix} -1 \\ 1 \\ 1 \end{bmatrix} +$$

40

$$x_8 \begin{bmatrix} j \\ 1 \\ -1 \end{bmatrix} + x_9 \begin{bmatrix} -1 \\ j \\ 1 \end{bmatrix} + x_{10} \begin{bmatrix} j \\ -j \\ -1 \end{bmatrix} + x_{11} \begin{bmatrix} -1 \\ -j \\ -1 \end{bmatrix} + x_{12} \begin{bmatrix} 1 \\ -j \\ -j \end{bmatrix} + x_{13} \begin{bmatrix} -j \\ -j \\ 1 \end{bmatrix} + x_{14} \begin{bmatrix} 1 \\ -1 \\ j \end{bmatrix} + x_{15} \begin{bmatrix} j \\ -j \\ -1 \end{bmatrix}$$

【0 1 3 6】

次に、上記合計中の各列ベクトルに正規化が行われる。それは、各ベクトルにその上部コ

50

ンポーネントの逆数を掛けることにより行われる、したがって各係数に対応するベクトルの（同じ）上部コンポーネントを掛けることにより行われる。その結果、各修正済のベクトルの上部コンポーネントは1となる。ベクトルの上部コンポーネントが既に1である場合、修正は必要ではない。上記合計の正規化フォームが次に導き出される。

【0 1 3 7】

【数40】

$$\begin{bmatrix} y_1 \\ y_2 \\ y_3 \end{bmatrix} = x_1 \begin{bmatrix} 1 \\ -1 \\ j \end{bmatrix} + (-j) \cdot x_2 \begin{bmatrix} 1 \\ -1 \\ j \end{bmatrix} + j \cdot x_3 \begin{bmatrix} 1 \\ j \\ j \end{bmatrix} + (-l) \cdot x_4 \begin{bmatrix} 1 \\ -j \\ j \end{bmatrix} + x_5 \begin{bmatrix} 1 \\ 1 \\ j \end{bmatrix} + (-j) \cdot x_6 \begin{bmatrix} 1 \\ -1 \\ -1 \end{bmatrix} + (-l) \cdot x_7 \begin{bmatrix} 1 \\ -1 \\ -1 \end{bmatrix} +$$

10

$$+ j \cdot x_8 \begin{bmatrix} 1 \\ -j \\ j \end{bmatrix} + (-l) \cdot x_9 \begin{bmatrix} 1 \\ -j \\ -1 \end{bmatrix} + j \cdot x_{10} \begin{bmatrix} 1 \\ -1 \\ j \end{bmatrix} + (-l) \cdot x_{11} \begin{bmatrix} 1 \\ j \\ 1 \end{bmatrix} + x_{12} \begin{bmatrix} 1 \\ -j \\ -j \end{bmatrix} + (-j) \cdot x_{13} \begin{bmatrix} 1 \\ j \\ 1 \end{bmatrix} + x_{14} \begin{bmatrix} 1 \\ -1 \\ j \end{bmatrix} + j \cdot x_{15} \begin{bmatrix} 1 \\ -1 \\ j \end{bmatrix}$$

【0 1 3 8】

この正規化された合計では、各ベクトルの上部コンポーネントは1であり、また、列nの数が、行rの数（要求：n > 4^{r-1}）に比べて十分に大きいとき（一般的なセッティングで）、異なるベクトルの数は実質的に削減される。次のステップは、同じ列の係数を集めて合計することである。したがって、7回の加算を負担することで、次の削減が得られる
20。
。

【0 1 3 9】

【数41】

$$\begin{bmatrix} y_1 \\ y_2 \\ y_3 \end{bmatrix} = (x_1 + (-j) \cdot x_2 + j \cdot x_{10} + x_{14} + j \cdot x_{15}) \begin{bmatrix} 1 \\ -1 \\ j \end{bmatrix} + j \cdot x_3 \begin{bmatrix} 1 \\ j \\ j \end{bmatrix} + ((-l) \cdot x_4 + x_{12}) \begin{bmatrix} 1 \\ -j \\ -j \end{bmatrix}$$

$$+ (x_5 + (-j) \cdot x_{13}) \begin{bmatrix} 1 \\ 1 \\ j \end{bmatrix} + ((-j) \cdot x_6 + (-l) \cdot x_7) \begin{bmatrix} 1 \\ -1 \\ -1 \end{bmatrix} + j \cdot x_8 \begin{bmatrix} 1 \\ -j \\ j \end{bmatrix} + (-l) \cdot x_9 \begin{bmatrix} 1 \\ -j \\ -1 \end{bmatrix} + (-l) \cdot x_{11} \begin{bmatrix} 1 \\ j \\ 1 \end{bmatrix}$$

30

【0 1 4 0】

さて、新しい係数が定義される。

【0 1 4 1】

$$w_1 = x_1 + (-j) \cdot x_2 + j \cdot x_{10} + x_{14} + j \cdot x_{15},$$

$$w_2 = j \cdot x_3, \quad w_3 = (-1) \cdot x_4 + x_{12},$$

$$w_4 = x_5 + (-j) \cdot x_{13}, \quad w_5 = (-j) \cdot x_6 + (-1) \cdot x_7,$$

$$w_6 = j \cdot x_8, \quad w_7 = (-1) \cdot x_9, \quad w_8 = (-1) \cdot x_{11}$$

従って、上記の方程式は次の形式で書くことができる。

【0 1 4 2】

【数42】

40

$$\begin{bmatrix} y_1 \\ y_2 \\ y_3 \end{bmatrix} = w_1 \begin{bmatrix} 1 \\ -1 \\ j \end{bmatrix} + w_2 \begin{bmatrix} 1 \\ j \\ j \end{bmatrix} + w_3 \begin{bmatrix} 1 \\ -j \\ -j \end{bmatrix} + w_4 \begin{bmatrix} 1 \\ 1 \\ j \end{bmatrix} + w_5 \begin{bmatrix} 1 \\ -1 \\ -1 \end{bmatrix} + w_6 \begin{bmatrix} 1 \\ -j \\ j \end{bmatrix} + w_7 \begin{bmatrix} 1 \\ -j \\ -1 \end{bmatrix} + w_8 \begin{bmatrix} 1 \\ j \\ 1 \end{bmatrix}$$

10

【0 1 4 3】

係数 : w_1, \dots, w_8 は、このステージでプロセッサに知られている。

【0 1 4 4】

次に、このベクトル方程式は水平に分割され、2つの方程式からなる次の等価な組になる。

【0 1 4 5】

【数43】

$$\begin{bmatrix} y_1 \\ y_2 \end{bmatrix} = w_1 \begin{bmatrix} 1 \\ -1 \end{bmatrix} + w_2 \begin{bmatrix} 1 \\ j \end{bmatrix} + w_3 \begin{bmatrix} 1 \\ -j \end{bmatrix} + w_4 \begin{bmatrix} 1 \\ 1 \end{bmatrix} + w_5 \begin{bmatrix} 1 \\ -1 \end{bmatrix} + w_6 \begin{bmatrix} 1 \\ -j \end{bmatrix} + w_7 \begin{bmatrix} 1 \\ -j \end{bmatrix} + w_8 \begin{bmatrix} 1 \\ j \end{bmatrix}$$

20

$$[y_3] = w_1[j] + w_2[j] + w_3[-j] + w_4[j] + w_5[-1] + w_6[j] + w_7[-1] + w_8[1]$$

【0 1 4 6】

一般に、両方はベクトルの方程式である。しかしながら、小規模な本例において、第2の方程式はスカラ方程式に退化している。さて規則に従えば、これらの方程式の各々は、最初の反復と同じ方法で別々に処理されるであろう。上方の方程式は前の方程式の基底状態を継承したので、上方の方程式は正規化を要求せず、それ故、いかなる非退化の応用においても、正規化は第2の垂直の方程式にのみ必要となる。従って、上方のベクトル方程式に対して生じる減少は次のとおりである。

30

【0 1 4 7】

【数44】

$$\begin{bmatrix} y_1 \\ y_2 \end{bmatrix} = (w_1 + w_5) \begin{bmatrix} 1 \\ -1 \end{bmatrix} + (w_2 + w_8) \begin{bmatrix} 1 \\ j \end{bmatrix} + (w_3 + w_6 + w_7) \begin{bmatrix} 1 \\ -j \end{bmatrix} + w_4 \begin{bmatrix} 1 \\ 1 \end{bmatrix}$$

40

【0 1 4 8】

このステップに対し、さらに4回の加算が必要になる。その演算は、両方の方程式に対しさらに13回の加算を行って、直接の方法で実行される。その結果、この例で本発明の好適な実施例は、合計24回の加算が使用される。力任せの演算では、42回の加算を要求していたであろう。より大きな規模では、その節約はより本質的なものとなる。

トップリスト行列

本発明のこの好適な実施例を紹介するために、例が提示される。

50

【0 1 4 9】

例：長さ 8 のシーケンスが与えられると仮定する、すなわち、 $U = (1, 1, -1, -1, 1, -1, 1, -1)$ およびそれはデータ・ベクトル $x = (x_1, x_2, \dots, x_{10})$ の 3 つの連続する仮説をチェックすることが望まれる。その目的は最大の相関の検索である。次の 3 つの合計を計算することが必要である。

【0 1 5 0】

$$y_1 = 1 \cdot x_1 + 1 \cdot x_2 + (-1) \cdot x_3 + (-1) \cdot x_4 + 1 \cdot x_5 + (-1) \cdot x_6 + 1 \cdot x_7 + (-1) \cdot x_8$$

$$y_2 = 1 \cdot x_2 + 1 \cdot x_3 + (-1) \cdot x_4 + (-1) \cdot x_5 + 1 \cdot x_6 + (-1) \cdot x_7 + 1 \cdot x_8 + (-1) \cdot x_9$$

$$y_3 = 1 \cdot x_3 + 1 \cdot x_4 + (-1) \cdot x_5 + (-1) \cdot x_6 + 1 \cdot x_7 + (-1) \cdot x_8 + 1 \cdot x_9 + (-1) \cdot x_{10}$$

これは、次のトッピリツツ行列の積によって表わされる。

【0 1 5 1】

【数 4 5】

$$\begin{aligned} \begin{bmatrix} y_1 \\ y_2 \\ y_3 \end{bmatrix} &= \begin{bmatrix} 1 & 1 & -1 & -1 & 1 & -1 & 1 & -1 & 0 & 0 \\ 0 & 1 & 1 & -1 & -1 & 1 & -1 & 1 & -1 & 0 \\ 0 & 0 & 1 & 1 & -1 & -1 & 1 & -1 & 1 & -1 \end{bmatrix} \begin{bmatrix} x_1 \\ x_2 \\ \vdots \\ x_{10} \end{bmatrix} \\ &= x_1 \begin{bmatrix} 1 \\ 0 \\ 0 \end{bmatrix} + x_2 \begin{bmatrix} 1 \\ 1 \\ 0 \end{bmatrix} + x_3 \begin{bmatrix} -1 \\ 1 \\ 1 \end{bmatrix} + x_4 \begin{bmatrix} -1 \\ -1 \\ 1 \end{bmatrix} + x_5 \begin{bmatrix} 1 \\ -1 \\ -1 \end{bmatrix} + x_6 \begin{bmatrix} -1 \\ 1 \\ -1 \end{bmatrix} + x_7 \begin{bmatrix} 1 \\ -1 \\ 1 \end{bmatrix} + \\ &\quad x_8 \begin{bmatrix} -1 \\ 1 \\ -1 \end{bmatrix} + x_9 \begin{bmatrix} 0 \\ -1 \\ 1 \end{bmatrix} + x_{10} \begin{bmatrix} 0 \\ 0 \\ -1 \end{bmatrix} \end{aligned}$$

【0 1 5 2】

次のステップは、次式のように相補するベクトルを集めることである。

【0 1 5 3】

【数 4 6】

$$\begin{aligned} \begin{bmatrix} y_1 \\ y_2 \\ y_3 \end{bmatrix} &= (x_1 \begin{bmatrix} 1 \\ 0 \\ 0 \end{bmatrix} + x_9 \begin{bmatrix} 0 \\ -1 \\ 1 \end{bmatrix}) - (x_2 \begin{bmatrix} 1 \\ 1 \\ 0 \end{bmatrix} + x_{10} \begin{bmatrix} 0 \\ 0 \\ -1 \end{bmatrix}) + x_3 \begin{bmatrix} -1 \\ 1 \\ 1 \end{bmatrix} + x_4 \begin{bmatrix} -1 \\ -1 \\ 1 \end{bmatrix} + \\ &\quad x_5 \begin{bmatrix} 1 \\ -1 \\ -1 \end{bmatrix} + x_6 \begin{bmatrix} -1 \\ 1 \\ -1 \end{bmatrix} + x_7 \begin{bmatrix} 1 \\ -1 \\ 1 \end{bmatrix} + x_8 \begin{bmatrix} -1 \\ 1 \\ -1 \end{bmatrix} \end{aligned}$$

【0 1 5 4】

この段階で、各括弧内部の項を検討し、かつ補助定理を利用し、 x, y がスカラで、 v, u がベクトルである場合、その場合、

$x v + y u = (1/2) (x + y) (v + u) + (1/2) (x - y) (v - u)$ から、従って、次式となる。

【0 1 5 5】

【数 4 7】

10

20

30

40

50

$$\begin{aligned}
 x_1 \begin{bmatrix} 1 \\ 0 \\ 0 \end{bmatrix} + x_9 \begin{bmatrix} 0 \\ -1 \\ 1 \end{bmatrix} &= \frac{1}{2}(x_1 + x_9) \left(\begin{bmatrix} 1 \\ 0 \\ 0 \end{bmatrix} + \begin{bmatrix} 0 \\ -1 \\ 1 \end{bmatrix} \right) + \frac{1}{2}(x_1 - x_9) \left(\begin{bmatrix} 1 \\ 0 \\ 0 \end{bmatrix} - \begin{bmatrix} 0 \\ -1 \\ 1 \end{bmatrix} \right) \\
 &= \frac{1}{2}(x_1 + x_9) \begin{bmatrix} 1 \\ -1 \\ 1 \end{bmatrix} + \frac{1}{2}(x_1 - x_9) \begin{bmatrix} 1 \\ 1 \\ -1 \end{bmatrix}
 \end{aligned}$$

10

【0 1 5 6】

同様に、

【0 1 5 7】

【数4 8】

$$x_2 \begin{bmatrix} 1 \\ 1 \\ 0 \end{bmatrix} + x_{10} \begin{bmatrix} 0 \\ 0 \\ -1 \end{bmatrix} = \frac{1}{2}(x_2 + x_{10}) \begin{bmatrix} 1 \\ 1 \\ -1 \end{bmatrix} + \frac{1}{2}(x_2 - x_{10}) \begin{bmatrix} 1 \\ 1 \\ 1 \end{bmatrix}$$

【0 1 5 8】

20

従って、4つの加算の負担で、結果は次のとおりである。

【0 1 5 9】

【数4 9】

$$\begin{aligned}
 \begin{bmatrix} y_1 \\ y_2 \\ y_3 \end{bmatrix} &= \frac{1}{2}(x_1 + x_9) \begin{bmatrix} 1 \\ -1 \\ 1 \end{bmatrix} + \frac{1}{2}(x_1 - x_9) \begin{bmatrix} 1 \\ 1 \\ -1 \end{bmatrix} + \frac{1}{2}(x_2 + x_{10}) \begin{bmatrix} 1 \\ 1 \\ -1 \end{bmatrix} + \frac{1}{2}(\\
 x_2 - x_{10}) \begin{bmatrix} 1 \\ 1 \\ 1 \end{bmatrix} + x_3 \begin{bmatrix} -1 \\ 1 \\ 1 \end{bmatrix} + x_4 \begin{bmatrix} -1 \\ -1 \\ 1 \end{bmatrix} + x_5 \begin{bmatrix} 1 \\ -1 \\ -1 \end{bmatrix} + x_6 \begin{bmatrix} -1 \\ 1 \\ -1 \end{bmatrix} + x_7 \begin{bmatrix} 1 \\ -1 \\ 1 \end{bmatrix} + x_8 \begin{bmatrix} -1 \\ 1 \\ -1 \end{bmatrix} =
 \end{aligned}$$

30

【0 1 6 0】

しかし、今、上記U2進法が適用される。すなわち、次のステップは、各列の上部コンポーネントが1に等しくなるようにする正規化である。

【0 1 6 1】

【数5 0】

$$\begin{aligned}
 \begin{bmatrix} y_1 \\ y_2 \\ y_3 \end{bmatrix} &= \frac{1}{2}(x_1 + x_9) \begin{bmatrix} 1 \\ -1 \\ 1 \end{bmatrix} + \frac{1}{2}(x_1 - x_9) \begin{bmatrix} 1 \\ 1 \\ -1 \end{bmatrix} + \frac{1}{2}(x_2 + x_{10}) \begin{bmatrix} 1 \\ 1 \\ -1 \end{bmatrix} + \frac{1}{2}(x_2 - \\
 x_{10}) \begin{bmatrix} 1 \\ 1 \\ 1 \end{bmatrix} + (-x_3) \begin{bmatrix} 1 \\ -1 \\ -1 \end{bmatrix} + (-x_4) \begin{bmatrix} 1 \\ 1 \\ -1 \end{bmatrix} + x_5 \begin{bmatrix} 1 \\ -1 \\ -1 \end{bmatrix} + (-x_6) \begin{bmatrix} 1 \\ 1 \\ -1 \end{bmatrix} + x_7 \begin{bmatrix} 1 \\ -1 \\ 1 \end{bmatrix} + (-x_8) \begin{bmatrix} 1 \\ 1 \\ 1 \end{bmatrix}
 \end{aligned}$$

40

【0 1 6 2】

次のステップは、共通の列の係数を集めて合計することである。すなわち、6つの追加の

50

加算による負担で、次の等式となる。

【0 1 6 3】

【数5 1】

$$\begin{bmatrix} y_1 \\ y_2 \\ y_3 \end{bmatrix} = \left(\frac{1}{2}(x_1 + x_9) + (-x_6) + x_7 + (-x_8) \right) \begin{bmatrix} 1 \\ -1 \\ 1 \end{bmatrix} + \left(\frac{1}{2}(x_1 - x_9) + \frac{1}{2}(x_2 + x_{10}) + (-x_4) \right) \begin{bmatrix} 1 \\ 1 \\ -1 \end{bmatrix}$$

$$+ \frac{1}{2}(x_2 - x_{10}) \begin{bmatrix} 1 \\ 1 \\ 1 \end{bmatrix} + ((-x_3) + x_5) \begin{bmatrix} 1 \\ -1 \\ -1 \end{bmatrix}$$

10

【0 1 6 4】

したがって、便宜上次のように定義すれば、

$$w_1 = (1/2)(x_1 + x_9) + (-x_6) + x_7 + (-x_8)$$

$$w_2 = (1/2)(x_1 - x_9) + (1/2)(x_2 + x_{10}) + (-x_4)$$

$$w_3 = (1/2)(x_2 - x_{10}), \quad w_4 = (-x_3) + x_5$$

そのとき、その等式は次のように書かれる。

【0 1 6 5】

20

【数5 2】

$$\begin{bmatrix} y_1 \\ y_2 \\ y_3 \end{bmatrix} = w_1 \begin{bmatrix} 1 \\ -1 \\ 1 \end{bmatrix} + w_2 \begin{bmatrix} 1 \\ 1 \\ -1 \end{bmatrix} + w_3 \begin{bmatrix} 1 \\ 1 \\ 1 \end{bmatrix} + w_4 \begin{bmatrix} 1 \\ -1 \\ -1 \end{bmatrix}$$

【0 1 6 6】

次のステージでは、このベクトル方程式は、次の2つの方程式に水平に分割される。

【0 1 6 7】

30

【数5 3】

$$\begin{bmatrix} y_1 \\ y_2 \end{bmatrix} = w_1 \begin{bmatrix} 1 \\ -1 \end{bmatrix} + w_2 \begin{bmatrix} 1 \\ 1 \end{bmatrix} + w_3 \begin{bmatrix} 1 \\ 1 \end{bmatrix} + w_4 \begin{bmatrix} 1 \\ -1 \end{bmatrix}$$

$$y_3 = w_1 + (-w_2) + w_3 + (-w_4)$$

【0 1 6 8】

最初の方程式中の同一の列を集めると、さらに2回の加算で次式が得られる。

【0 1 6 9】

40

【数5 4】

$$\begin{bmatrix} y_1 \\ y_2 \end{bmatrix} = (w_1 + w_4) \begin{bmatrix} 1 \\ -1 \end{bmatrix} + (w_2 + w_3) \begin{bmatrix} 1 \\ 1 \end{bmatrix}$$

【0 1 7 0】

さて、所望の出力ベクトル y は、5回の追加の加算ですむことが分かる。したがって、本発明を具体化する方法は、この演算を行なうために17回の加算を要求する。力任せの方法では、21回の加算を要求するであろう。この小規模の例によって得られた利点は、あ

50

まり大きなものではない、しかし、大規模な応用において、その利得は上記「正方形」（非トップリツツ）の方法の利得に匹敵することを理解できるであろう。

【0171】

次に、本発明の特徴における一般的な構成を記述する。シーケンス、

u_1, u_2, \dots, u_n

および、実数か複素数のスカラのデータのシーケンス、

$x_1, x_2, \dots, x_{n+m-1}$

が与えられると仮定する。

【0172】

データ・シーケンスの要素は、実数か複素数または、2より大きな特性のスカラの任意の集合体に属していてもよい。次の合計を計算することが所望されると仮定する。 10

【0173】

$$y_1 = u_1 \cdot x_1 + u_2 \cdot x_2 + \dots + u_n \cdot x_n$$

$$y_2 = u_1 \cdot x_2 + u_2 \cdot x_3 + \dots + u_n \cdot x_{n+1}$$

•

•

•

•

$$y_m = u_1 \cdot x_m + u_2 \cdot x_{m+1} + \dots + u_n \cdot x_{n+m-1}$$

$m < \log_2(n)$ ならば、 $r = m$ にする一方、 $m \geq \log_2(n)$ ならば、本発明の好適な実施例は、 m 合計のセットを r の連続する合計のブロックへ分割することにより開始し、ここで $r < \log_2(n)$ である。その方法が第1のブロック上で示されてもよいように、すべてのブロックは同一の方法で扱われる。トップリツツ行列とベクトルの積は、最初の r 合計を表わす。そのとき、 $r \times (n+r-1)$ トップリツツ行列は、 20

【0174】

【数55】

$$A = \begin{bmatrix} u_1 & u_2 & u_3 & u_4 & \dots & \dots & \dots & \dots & u_n & 0 & \dots & \dots & 0 & 0 \\ 0 & u_1 & u_2 & u_3 & \dots & \dots & \dots & \dots & \dots & u_n & 0 & \dots & \dots & \dots & \dots \\ 0 & 0 & u_1 & u_2 & \dots & \dots & \dots & \dots & \dots & \dots & u_n & 0 & \dots & \dots & \dots \\ 0 & 0 & 0 & u_1 & \dots \\ \vdots & & & \vdots & & & & & & & & \ddots & & \ddots & \\ \vdots & & & \vdots & & & & & & & & & 0 & 0 & & \\ \vdots & & & \vdots & & & & & & & & & & 0 & & \\ 0 & 0 & \dots & \dots & 0 & u_1 & u_2 & \dots & & & & & & & u_n \end{bmatrix} \quad 30$$

【0175】

そして、その $(n+r-1)$ 次元のベクトルは、

【0176】

【数56】

$$x = \begin{bmatrix} x_1 \\ x_2 \\ \vdots \\ \vdots \\ x_{n+r-1} \end{bmatrix}$$

【0177】

それから、最初の r 合計は、ベクトルから与えられ、

【0178】

【数57】

$$y = \begin{bmatrix} y_1 \\ y_2 \\ \vdots \\ \vdots \\ y_r \end{bmatrix}$$

10

【0179】

となる。ここで、 $y = A \cdot x$ である。

【0180】

本発明の好適な実施例について、その強調する概念は、上記 U 方法が適用可能になるよう
に、与えられた問題を再編成することである。それらの順序に従って、 $v_1, v_2, \dots, \dots, v_{n+r-1}$ を行列 A の列にする。次の全ての「中間」列ベクトルが U ベクトルである
と考える。

20

【0181】

【数58】

$$v_r = \begin{bmatrix} u_r \\ u_{r-1} \\ \vdots \\ \vdots \\ u_1 \end{bmatrix}, v_{r+1} = \begin{bmatrix} u_{r+1} \\ u_r \\ \vdots \\ \vdots \\ u_2 \end{bmatrix}, \dots, v_n = \begin{bmatrix} u_n \\ u_{n-1} \\ \vdots \\ \vdots \\ u_{n-r+1} \end{bmatrix}$$

30

【0182】

さらに「サイド」列ベクトルの「マッチング」ペアにおける次の合計および減算が、U ベ
クトルであることに注意すること。

【0183】

【数59】

$$v_I + v_{n+I} = \begin{bmatrix} u_1 \\ 0 \\ \vdots \\ 0 \end{bmatrix} + \begin{bmatrix} 0 \\ u_n \\ \vdots \\ u_{n-r+2} \end{bmatrix} = \begin{bmatrix} u_1 \\ u_n \\ \vdots \\ u_{n-r+2} \end{bmatrix}, \quad v_I - v_{n+I} = \begin{bmatrix} u_1 \\ 0 \\ \vdots \\ 0 \end{bmatrix} - \begin{bmatrix} 0 \\ u_n \\ \vdots \\ u_{n-r+2} \end{bmatrix} = \begin{bmatrix} u_1 \\ -u_n \\ \vdots \\ -u_{n-r+2} \end{bmatrix}$$

$$v_2 + v_{n+2} = \begin{bmatrix} u_1 \\ u_2 \\ \vdots \\ 0 \end{bmatrix} + \begin{bmatrix} 0 \\ 0 \\ \vdots \\ u_{n-r+3} \end{bmatrix} = \begin{bmatrix} u_1 \\ u_2 \\ \vdots \\ u_{n-r+3} \end{bmatrix}, \quad v_2 - v_{n+2} = \begin{bmatrix} u_1 \\ u_2 \\ \vdots \\ 0 \end{bmatrix} - \begin{bmatrix} 0 \\ 0 \\ \vdots \\ u_{n-r+3} \end{bmatrix} = \begin{bmatrix} u_1 \\ u_2 \\ \vdots \\ -u_{n-r+3} \end{bmatrix}$$

$$v_{r-l} + v_{n+r-l} = \begin{bmatrix} u_{r-1} \\ u_{r-2} \\ \vdots \\ u_l \\ 0 \end{bmatrix} + \begin{bmatrix} 0 \\ 0 \\ \vdots \\ 0 \\ u_n \end{bmatrix} = \begin{bmatrix} u_{r-1} \\ u_{r-2} \\ \vdots \\ u_l \\ u_n \end{bmatrix}, \quad v_{r-l} - v_{n+r-l} = \begin{bmatrix} u_{r-1} \\ u_{r-2} \\ \vdots \\ u_l \\ 0 \end{bmatrix} - \begin{bmatrix} 0 \\ 0 \\ \vdots \\ 0 \\ u_n \end{bmatrix} = \begin{bmatrix} u_{r-1} \\ u_{r-2} \\ \vdots \\ u_l \\ -u_n \end{bmatrix}$$

【0184】

必要な予備的な準備を行った後に、その方法が導入される。上記に従って、再構成する。

【0185】

$$\begin{aligned} A \cdot x &= \begin{matrix} 1 & j & n+r-1 & x_j v_j \\ = & 1 & j & r-1 & x_j v_j + x_{n+j} v_{n+j} + \dots + x_{n+r-1} v_{n+r-1} \end{matrix} \end{aligned}$$

次に、その発明は、 x, y がスカラであり、 v, u がベクトルであるという規則を使用する。

【0186】

$$xv + yu = (1/2)(x+y)(v+u) + (1/2)(x-y)(v-u)$$

したがって、

$$A \cdot x = \begin{matrix} 1 & j & r-1 & (1/2)(x_j + x_{n+j})(v_j + v_{n+j}) + (1/2)(x_j - x_{n+j})(v_j - v_{n+j}) + \dots + x_{n+r-1} v_{n+r-1} \end{matrix}$$

このプロセスは $2r-2$ 加算の負担であり、達成された形式は実際 $r \times (n+r-1)$ U 行列と $n+r-1$ ベクトルの積である。これは、上記すべてのベクトル、

$$v_r, v_{r+1}, \dots, v_n, v_1 + v_{n+1}, \dots, v_{r-1} + v_{n+r-1},$$

$$v_1 - v_{n+1}, \dots, v_{r-1} - v_{n+r-1}$$

が U ベクトルであるので、そのとおりである。したがって、演算の残りは、U 方法によつて行われてもよい。U 形式へのこの修正のすべての局面は、実際の合計 / 減算を除く、すなわち $x_j \pm x_{n+j}$ は入力ベクトルの到来に先立つ「一回のジョブ」として行われる。

【0187】

最悪の場合での加算数は、次の式から与えられる

$$s_t(n, r) = s(n+r-1, r) + 2r-2 = n+3r-3+s(r)$$

一般的な設定で、m は計算され、 $m > \log_2(n)$ で、最悪の場合での加算数は $(1 + \dots)(n+3\log_2(n)) \cdot m / \log_2(n)$ によって制限され、ここで $1 > \dots > 0$ において、m および n 両方が無限大に近づくと m は 0 に近づく。

【0188】

上記方法への本発明の別の好適な実施例によれば、GEM のコンポーネントは、統合されてもよい。そのような場合、いくつかの「サイド」列はサイド列を結合する最初のステー

10

20

30

40

50

ジでは未処理加工のまま残る。

(0, 1, -1) 行列

トップリツツ行列は、より一般的なクラスの行列の一部である、すなわちそれらの行列のエントリは0、1または-1である。そのような行列は、ここでは(0, 1, -1)行列と称する。上記トップリツツ方法と関係する概念のより広いバージョンが、ここで展開されるであろう。Aが次元r × nの(0, 1, -1)行列で、xがn次元の入力ベクトルであり、積A · xを計算することが所望されると仮定する。この積は、対応するxコンポーネントを乗じたA列の合計として表現される。したがって、v_j(すべてのjに対して)がAのj列であることを示すと、そのとき、次式が示される。

【0189】

$$A \cdot x = x_1 v_1 + x_2 v_2 + \dots + x_n v_n$$

いくらか、あるいは恐らくAのすべての列は0-エントリを含む。表記を簡単にするために、指標は非常によく整えられ(もちろん、方法的にプロセッサにタスクを課さずに)、最初のk列v₁, v₂, ..., v_kの各々は0のエントリを含みかつ残りのすべてのn-k列(いずれにあっても)v_{k+1}, v_{k+2}, ..., v_nはUベクトル(すなわち0のエントリのない)であると仮定される。「混合」ベクトル、v₁, v₂, ..., v_kの各々は、平均2つのUベクトルの平均である。すなわち、各1 j kに対して、2つのUベクトルu_j, w_j, がv_j, = (1/2)(u_j + w_j)のように存在する。本発明の好適な実施例は、ベクトルu₁, w₁, ..., u_k, w_k, を行列毎に一度の準備として認識する。したがって上記のによって次式となる。

【0190】

$$A \cdot x = (1/2)x_1(u_1+w_1) + (1/2)x_2(u_2+w_2) + \dots + (1/2)x_k(u_k+w_k) + x_{k+1}v_{k+1} + \dots + x_nv_n$$

しかしながら、ブラケットを開くと、r × (n+k) U行列と(n+k)ベクトルの積の表現を発見する。本発明の好適な実施例によれば、このタスクは、本発明の上記のU特徴によって行われるであろう。本発明の上記トップリツツ特徴はこのより広い特徴の特別な場合である。

産業上の応用の例

サーチャ(searcher)は、通常トップリツツ行列とデータ・ベクトルの積によって表わされる。これは、CDMAおよび広帯域CDMAの両方にみられる。

【0191】

実数行列

本発明の別の好適な実施例によれば、計算の動作回数は分散型の算術の使用によってあらゆる実数の線形変換に対して削減される。以下の説明において、それは「実数マトリクス法」と呼ばれる。線形変換は行列によって表現され、そのエントリは整数である必要はなく、2進数の定数である実数である。行列は、2進の係数を備えた2進の行列の合計に分解されるであろう。次のステージでは、本発明の2進の実施例が適用されるであろう。この方法を導入するためには、次の例を考慮すべきである。

例：次の3 × 8のU行列Aを検討するが、整数のエントリを有し、(この例の単純化のために)10進数で書かれる。

【0192】

【数60】

$$A = \begin{bmatrix} 2 & 1 & 5 & 4 & 3 & 0 & 4 & 5 \\ 5 & 0 & 4 & 1 & 4 & 7 & 1 & 2 \\ 2 & 7 & 3 & 1 & 4 & 5 & 0 & 3 \end{bmatrix}$$

【0193】

入力が8次元のベクトルは、次のように与えられる。

【0194】

10

20

30

40

50

【数 6 1】

$$x = \begin{bmatrix} x_1 \\ x_2 \\ x_3 \\ x_4 \\ x_5 \\ x_6 \\ x_7 \\ x_8 \end{bmatrix}$$

10

【0 1 9 5】

3次元の出力ベクトルを計算することが所望される。

【0 1 9 6】

【数 6 2】

$$y = \begin{bmatrix} y_1 \\ y_2 \\ y_3 \end{bmatrix} = A \cdot x.$$

20

【0 1 9 7】

プロセッサは通常2進を基本に動作するので、行列Aはこの基本により表わされ、したがって、次のように与えられる。

【0 1 9 8】

【数 6 3】

$$A = \begin{bmatrix} 010 & 001 & 101 & 100 & 011 & 000 & 100 & 101 \\ 101 & 000 & 100 & 001 & 100 & 111 & 001 & 010 \\ 010 & 111 & 011 & 001 & 100 & 101 & 000 & 011 \end{bmatrix}$$

30

【0 1 9 9】

この表現は、その行列を3つの2進・行列の合計として表現するために、分散型算術を使用する可能性を示唆する。ここで、次式が示される。

$$A = 2^0 \cdot A[0] + 2^1 \cdot A[1] + 2^2 \cdot A[2]$$

【0 2 0 0】

【数 6 4】

$$A[0] = \begin{bmatrix} 0 & 1 & 1 & 0 & 1 & 0 & 0 & 1 \\ 1 & 0 & 0 & 1 & 0 & 1 & 1 & 0 \\ 0 & 1 & 1 & 1 & 0 & 1 & 0 & 1 \end{bmatrix}$$

$$A[1] = \begin{bmatrix} 1 & 0 & 0 & 0 & 1 & 0 & 0 & 0 \\ 0 & 0 & 0 & 0 & 0 & 1 & 0 & 1 \\ 1 & 1 & 1 & 0 & 0 & 0 & 0 & 1 \end{bmatrix}$$

$$A[2] = \begin{bmatrix} 0 & 0 & 1 & 1 & 0 & 0 & 1 & 1 \\ 1 & 0 & 1 & 0 & 1 & 1 & 0 & 0 \\ 0 & 1 & 0 & 0 & 1 & 1 & 0 & 0 \end{bmatrix}$$

10

【0201】

本発明のこの実施例によって行われる最初のステップは、その特徴に従って、Aにおけるエントリのビットからなる2進・行列A[0], A[1], A[2]を構成することである。検討中の好適な実施例は、同一の結果になるであろう。

【0202】

$$A \cdot x = 2^0 \cdot A[0] \cdot x + 2^1 \cdot A[1] \cdot x + 2^2 \cdot A[2] \cdot x$$

20

次のステップは、A[0], A[1], A[2]を水平に結び付けることによって形成される24×3の2進・行列A*を構成することである。

【0203】

【数65】

$$A^* = \begin{bmatrix} 0 & 1 & 1 & 0 & 1 & 0 & 0 & 1 \\ 1 & 0 & 0 & 1 & 0 & 1 & 1 & 0 \\ 0 & 1 & 1 & 1 & 0 & 1 & 0 & 1 \end{bmatrix} \begin{bmatrix} 1 & 0 & 0 & 0 & 1 & 0 & 0 & 0 \\ 0 & 0 & 0 & 0 & 0 & 1 & 0 & 1 \\ 1 & 1 & 1 & 0 & 0 & 0 & 0 & 1 \end{bmatrix}$$

$$\begin{bmatrix} 0 & 0 & 1 & 1 & 0 & 0 & 1 & 1 \\ 1 & 0 & 1 & 0 & 1 & 1 & 0 & 0 \\ 0 & 1 & 0 & 0 & 1 & 1 & 0 & 0 \end{bmatrix}$$

30

【0204】

そして、また上記の合計から推定された対応する2進の重み付けを各々有する3つのベクトルxのレプリカから構成される24次元の列ベクトルx*を形成することである。これは、入力ベクトルの到着が始まる前に、なされる。

【0205】

【数66】

$$\mathbf{x}^* = \begin{bmatrix} 2^0 x_1 \\ \vdots \\ 2^0 x_8 \\ 2^1 x_1 \\ \vdots \\ 2^1 x_8 \\ 2^2 x_1 \\ \vdots \\ 2^2 x_8 \end{bmatrix}$$

10

【0206】

2^1 で乗することは、単に指標のシフト動作だけですむことに注意すること。この実施例の鍵は、次式を主張することである。

20

【0207】

$$y = A \cdot x = A^* \cdot x^*$$

したがって、次にすることは、0 - 1方法による $A^* \cdot X^*$ の演算を行なうことである。すなわち、次の作業は、新しい係数を作成し、それによって、行列のサイズを削減して、共通の非ゼロ列の係数を集めて合計することである。すなわち、それは次式を維持する。

【0208】

【数67】

$$y = w_1 \begin{bmatrix} 1 \\ 0 \\ 0 \end{bmatrix} + w_2 \begin{bmatrix} 0 \\ 1 \\ 0 \end{bmatrix} + w_3 \begin{bmatrix} 1 \\ 1 \\ 0 \end{bmatrix} + w_4 \begin{bmatrix} 0 \\ 0 \\ 1 \end{bmatrix} + w_5 \begin{bmatrix} 1 \\ 0 \\ 1 \end{bmatrix} + w_6 \begin{bmatrix} 0 \\ 1 \\ 1 \end{bmatrix}$$

30

【0209】

ここで

$$w_1 = 2^2 \cdot x_7 + 2^2 \cdot x_8 + 2^1 \cdot x_4 + 2^1 \cdot x_5 + 2^0 \cdot x_5$$

$$w_2 = 2^2 \cdot x_1 + 2^1 \cdot x_6 + 2^0 \cdot x_1 + 2^0 \cdot x_7$$

$$w_3 = 2^2 \cdot x_3$$

$$w_4 = 2^2 \cdot x_2 + 2^1 \cdot x_2 + 2^1 \cdot x_3$$

$$w_5 = 2^1 \cdot x_5 + 2^0 \cdot x_2 + 2^0 \cdot x_1 + 2^0 \cdot x_3 + 2^0 \cdot x_8$$

$$w_6 = 2^2 \cdot x_1 + 2^1 \cdot x_6 + 2^0 \cdot x_1 + 2^0 \cdot x_7$$

40

これは16回の加算で行われる。次に、生起する行列の行分割が行われる。すなわち、

【0210】

【数68】

$$\begin{bmatrix} y_1 \\ y_2 \end{bmatrix} = w_1 \begin{bmatrix} 1 \\ 0 \end{bmatrix} + w_2 \begin{bmatrix} 0 \\ 1 \end{bmatrix} + w_3 \begin{bmatrix} 1 \\ 1 \end{bmatrix} + w_5 \begin{bmatrix} 1 \\ 0 \end{bmatrix} + w_6 \begin{bmatrix} 0 \\ 1 \end{bmatrix}$$

【0211】

であり、そして、

$$y_3 = w_1 + w_3 + w_5$$
 である。

50

【0212】

さて、第1の方程式中における共通の列の係数を合計すると、次式を導く。

【0213】

【数69】

$$\begin{bmatrix} y_1 \\ y_2 \end{bmatrix} = (w_2 + w_3) \begin{bmatrix} 1 \\ 0 \end{bmatrix} + (w_2 + w_6) \begin{bmatrix} 0 \\ 1 \end{bmatrix} + w_3 \begin{bmatrix} 1 \\ 1 \end{bmatrix}$$

【0214】

このステップは2つの加算を要する。残りはさらに2つの加算でなされる。この例における変換を計算するために、トータル20回の加算動作が必要とされる。従来方式を使用すれば、29回の加算に相当する動作を要求していたであろうが、ここで意味する「相当」とは、乗算動作を含む加算も考慮に入れる。

【0215】

明らかに、これは顕著な削減の例ではない。それは、本発明のこの実施例についての概念を容易な方法で紹介することである。しかしながら、行列（各エントリの次元および桁数）のパラメータが大きいとき、実質的な削減は本発明によって実現される。

【0216】

一般に、検討中の本発明の好適な実施例は、実数、無制限の線形変換の効率的な演算に関する。変換を表現する $r \times m$ 行列 A は、次式で書かれる。

【0217】

【数70】

$$A = \begin{bmatrix} a_{11} & a_{12} & \cdot & \cdot & \cdot & \cdot & \cdot & \cdot & a_{1n} \\ a_{21} & a_{22} & \cdot & \cdot & \cdot & \cdot & \cdot & \cdot & a_{2n} \\ \cdot & \cdot \\ \cdot & \cdot \\ a_{r1} & & & & & & & & a_m \end{bmatrix}$$

10

20

30

【0218】

ここで、行列のエントリは実数である。 $A \cdot x$ を計算することが所望され、ここで x は次のように表現される実数か複素数のスカラのエントリからなる n 次元のベクトルである。

【0219】

【数71】

$$x = \begin{bmatrix} x_1 \\ x_2 \\ \cdot \\ \cdot \\ \cdot \\ \cdot \\ x_n \end{bmatrix}$$

40

【0220】

行列 A のエントリは、そのポイントの前後で、固定されたデジット数の2進数で書かれていると仮定する。本発明の2つの好適な実施例が、変換行列の構造に依存する中で、その

50

最適な解決および選択として示される。最初は、0 - 1分解と呼ばれ、2番目はU分解と称される。

【0221】

行列Aのエントリが 2^{m_1} によって制限され、適切な正の整数 m_1 および m_2 のためのポイントを越える m_2 デジットの精度を有すると仮定する。プロセッサが遭遇したすべてのスカラはそのポイントの前後に有限なデジット数を有するので、この仮定は本発明の範囲を制限するものではない。 $m = m_1 + m_2 + 1$ とする。分散演算は、積 $A \cdot x$ を上記の例によって扱われたタイプの m_2 進積の合計へ分解するために適用される。

【0222】

最初に、その発明は、行列のエントリが負ではなく、またその分解が0 - 1 - ベースである場合に記述される。 2^{m_1} によって境界がなされ、そのポイントを越える m_2 デジットを有する実数 t は、次の方法で表わされる。

【0223】

$$t = \underset{-m_2}{\dots} \underset{k}{\dots} \underset{m_1}{\dots} t_k \cdot 2^k$$

ここで、 t_k はそれぞれ0または1である。これは標準の2進数の表現である。典型的な分散演算の議論によって、Aは、次の方法でmの合計 $r \times n$ の0 - 1 - 2進・行列に分解することができる。

【0224】

$$A = \underset{-m_2}{\dots} \underset{k}{\dots} \underset{m_1}{\dots} 2^k \cdot A [k]$$

この合計では、 $A [m_1]$ は最上位ビット(MSB)の0 - 1行列であり、 $A [-m_2]$ は最下位ビット(LSB)の0 - 1行列である。一般に、行列 $A [k]$ の各々は0 - 1行列であり、そのエントリはAにおけるエントリのk番目のビットで構成される、ここで各ビットはその対応するエントリに置かれる。分配規則によって、次のとおりとなる。

【0225】

$$A \cdot x = \underset{-m_2}{\dots} \underset{k}{\dots} \underset{m_1}{\dots} 2^k \cdot A [k] \cdot x$$

これは本発明の現在の実施例に対する基礎となる。

【0226】

次に、 A^* は、それらが合計に現われる上記合計の2進・行列の水平上のラインによって順番に構成された $r \times (m \cdot n)$ の0 - 1行列であるとする。そのとき、次式となる。

【0227】

$$A^* = [A [-m_2], \dots, A [0], \dots, A [m_1]]$$

入力ベクトルの到着が始まる前に、これは所定の行列のために1回行われるであるであろう。

【0228】

さらに、 $m \cdot n$ 次元の列ベクトル x^* が次式のように与えられる。

【0229】

【数72】

$$x^* = \begin{bmatrix} 2^{-m_2} x \\ 2^{-m_2+1} x \\ \vdots \\ 2^0 x \\ \vdots \\ 2^{m_1} x \end{bmatrix}$$

10

20

30

40

50

【0230】

検討中の実施例を強調する重要な点は次のことである。

【0231】

$$A \cdot x = A^* \cdot x^*$$

後者は、 $r \times (m \cdot n)$ の 0 - 1 行列を、元のベクトルのシフトした m 個のレプリカから構成される $(m + 1) \cdot n$ 次元のベクトルで乗じた積である。

積 $A^* \cdot x^*$ の演算は、本発明の 0 - 1 - 2 進の実施例でなされる。2 の整数累乗による乗算がそれぞれビットをシフトすることにより実行されるので、ほとんど、追加の複雑性は加わらない。

【0232】

本発明のこの実施例は、積の複雑性を著しく減少させることができる。

10

【0233】

$$l = l \circ g_2(m \cdot n) = l \circ g_2(m) + l \circ g_2(n)$$

であるから、 $C(A)$ は本発明によって $A^* \cdot x^*$ を計算するのに必要な加算の数である。

【0234】

もし、 $1 < r$ ならば、そのとき

$$C(A) < m \cdot n + 2^r + 2^{r/2+1} - r$$

特に、この場合その境界は次のとおりとなる。

【0235】

$$C(A) < 2m \cdot n$$

20

$1 < r$ の仮定をはずすと、それは次のようになる。

【0236】

$$C(A) < (1 + \dots) \cdot m \cdot r \cdot n / l$$

ここで $1 > r > 0$ 、および $m \cdot n$ および r が無限大に行くにつれ、 l は 0 へ接近する。

【0237】

積動作を含む加算が考慮に入れられる場合、積 $A \cdot x$ を計算する従来の（力まかせによる）先行技術の方法は、平均して、 $n \cdot r \cdot m / 2$ 回の加算に相当する回数を要求する。

【0238】

いくつかの場合、特に、 $r = 1$ あるいは r がやや小さいとき、上述した実施例とは別のやり方が所望され、それはさらなる削減を可能にする。ケース $r = 1$ では、問題は 2 つのベクトル間におけるスカラ積の問題に形をかえることに注意すること。これはそれ自体、科学技術にやや共通した演算であり、また、その効率的な実行は多くの場合役に立つ。この変形によれば、行列 A^{**} は、行列 $A[-m_2], A[-m_2], \dots, A[0], \dots, A[m_1]$ を垂直のシーケンスにつなぐことにより形成される。したがって、それは、2 進乗算のためのシフトを用いることで、所望の結果が次に合計を実行することにより得られる。次のものから与えられた $r \cdot (m + 1) \times n$ の 0 - 1 行列である。

30

【0239】

【数73】

$$A^{**} = \begin{bmatrix} A[-m_2] \\ \vdots \\ A[0] \\ \vdots \\ A[m_1] \end{bmatrix}$$

10

【0240】

次に、 $A^{**} \cdot x$ の演算は 0 - 1 - 行列のために本発明の好適な実施例によって行われる。積 $A^{**} \cdot x$ は積をすべて含んでいる。

【0241】

$A[-m_2] \cdot x, \dots, A[0] \cdot x, \dots, A[m_1] \cdot x$

従って、シフトを 2 進乗算のために使用することで、所要の結果はその合計を行なうことにより達成される。

20

【0242】

$$y = \sum_{k=-m_2}^{m_1} 2^k \cdot A[k] \cdot x$$

これは、負でないエントリで行列の一部を終了する。

【0243】

行列 A が両符号のエントリを有する実数のとき、行列 A は負でないエントリを備えた 2 つの行列の減算として表現することができる、すなわち $A = A_1 - A_2$ である。この表現に統いて、議論中の本発明の特徴は、まず積 $y_1 = A_1 \cdot x$ および $y_2 = A_2 \cdot x$ の各々を上記方法により別々にまたは結合した形式で計算することにより $y = A \cdot x$ の計算を行なう。その後、最終ステップである減算、すなわち $y = y_1 - y_2$ を実行する。

【0244】

30

実数行列に関しての本発明の好適な実施例における上記 0 - 1 - 2 進オプションは、2 進・行列を分解するとき、すなわち、 $A[-m_2], A[-m_2 + 1], \dots, A[0], \dots, A[m_1]$ がややばらばらであるとき、特に効率的である。これは、 A のエントリが様々なサイズをもちポイントを越えて非同一の 2 進デジット数を有している結果である。そのような場合、上記言及した一定のデジタル形式に対し必要な 0 を挿入することにより、より高いレベルのまばらを引き起こす。

【0245】

U - 2 進の分散演算に基づいて、本発明の好適な実施例の別の形式が次に記述される。本発明のこの形式は、両方の符号のエントリを有しおよびより高速の U 方法に基づく行列により適応した利点を有する。実際、行列のエントリのサイズにある統一性と精度があるとき、上記の 0 - 1 バージョンはより効率的である。下記方法の主な特徴は、0 - 1 方法に類似する。

40

【0246】

次の検討は、本発明の説明を進めるために必要である。 2^{m_1} によって境界付けされ、そのポイントを越える m_2 個のデジットを有する実数 t は、次の方法で U 2 進合計として表わすことができる。

【0247】

$$t = \sum_{k=-m_2-1}^{m_1-1} s_k \cdot 2^k + s_{m_1} \cdot (2^{m_1} - 2^{-m_2-1})$$

ここで、 $-m_2 - 1 \leq k \leq m_1 - 1$ に対する全ての s_k は、 ± 1 であり、そして t が負でないとき、 $s_{m_1} = 1$ であり、 t が負のとき、 $s_{m_1} = -1$ である。したがって、両方の符号

50

のエントリを備えた $r \times n$ の実数の行列 A は、次の方法で U 行列の合計に分解することができる。

【0248】

$$A = \sum_{k=m_2-1}^{m_1-1} 2^k \cdot A[k] + (2^{m_1} - 2^{m_2-1}) \cdot A[m_1]$$

ここで行列 A[k] の各々は $r \times n$ の U 行列である。

【0249】

A^* が $r \times ((m+1) \cdot n)$ の U 行列であるとする。

【0250】

$$A^* = [A[-m_2-1], A[-m_2], \dots, A[0], \dots, A[-m_1-1], A[-m_1]]$$

この行列は、入力してくるデータ・ベクトルの到着前に、各行列について 1 度のタスクとして構成される。さらに、 $(m+1) \cdot n$ 次元の列ベクトル x^* は次のように定義される。
。

【0251】

【数74】

$$x^* = \begin{bmatrix} 2^{-m_2-1}x \\ 2^{-m_2}x \\ \vdots \\ 2^0x \\ \vdots \\ 2^{m_1-1}x \\ (2^{m_1}-2^{-m_2-1}) \cdot x \end{bmatrix}$$

20

【0252】

それは、 $A \cdot x = A^* \cdot x^*$ を保持する。これは、 $r \times ((m+1) \cdot n)$ の U 行列を $(m+1) \cdot n$ 次元のベクトルで乗じた積である。この積の演算は、本発明の U 行列実施例の応用によって行われる。

30

【0253】

0-1-2 進分解に関する上記の方法でのように、さらにここに、 $r=1$ または小さな r のための垂直バージョンがある。それは上記記述したものと完全に類似しており、詳細を繰り返す理由はない。

【0254】

$l = l \log((m+1) \cdot n) = l \log(m+1) + l \log(n)$ とする。それは $l=r$ に対し、上記の方法を行なうのに必要な加算の数は、
 $C(A) < (m+1) \cdot n + 2^{r-1} + 2^{r/2+1} - r$

40

によって制限される。

【0255】

上記の説明のように、 $C(A)$ は上記 U 実施例によって $A \cdot x$ を計算するために必要な加算の数であると定義される。より広い一般法則では、それは次のようになる。

【0256】

$$C(A) < (1 + \dots) \cdot (m+1) \cdot r \cdot n / l$$

ここで、 $1 > > 0$ 、 $(m+1) \cdot n$ および r が無限大に近づくにつれ、 l は 0 に近づく。
。

産業上の応用例

線形変換は、あらゆる分野の技術と科学に共通して使用される。本発明の実数行列の面を通信技術に応用することは、マルチユーザの検出器 (MUD) 行列 (例えば非相関器ま
。

50

たは最小平均二乗誤差（M M S E）行列）を d e s p r e a d e r の出力ベクトルで乗じた積を含む。さらに、それは最小二乗法の計算に適用可能である。有限インパルス応答（F I R）フィルタでは、離散フーリエ変換（D F T）が完全にまたは部分的に計算される。特に、部分D F TのF I RフィルタおよびF F Tが効率的でない中小規模のフィルタは、本発明のこの特徴が適用可能な例である。離散コサイン変換D C Tは、別のタイプの線形変換で、その演算は本発明によって改善され得る。これは、特に部分的に計算されるだけであるとか、そのサイズがあまり大きくない場合に特に効果的で、その結果、より高次の高速アルゴリズムにはあまり効率的ではない。

【0257】

F I Rを使用する処理回路のようないくつかのデジタル信号処理アプリケーションでは、2つの比較的長いベクトルの相関が要求される。そのベクトルの1つは、F I Rフィルタのタップを表わすことがあり、それはフィルタされるべき入力を表わす第2のベクトル上で動作する。部分的な畳み込みから成るフィルタ動作は、トップリツツ行列をベクトルで乗じた積によって表わされる。これは、本発明の実数行列の面から効率的に行われる。

複素行列

例：次の合計を計算することを目的と仮定する。

【0258】

$$y_1 = (1+j) \cdot x_1 + (1-j) \cdot x_2 + (-1-j) \cdot x_3 + (-1+j) \cdot x_4 + (1-j) \cdot x_5 + (-1+j) \cdot x_6$$

$$y_2 = (-1+j) \cdot x_1 + (1+j) \cdot x_2 + (1+j) \cdot x_3 + (-1-j) \cdot x_4 + (-1-j) \cdot x_5 + (1-j) \cdot x_6$$

$$y_3 = (1-j) \cdot x_1 + (-1-j) \cdot x_2 + (-1-j) \cdot x_3 + (1+j) \cdot x_4 + (-1+j) \cdot x_5 + (1+j) \cdot x_6$$

ここで、入力スカラ x_1, x_2, \dots, x_6 は複素数である。

【0259】

従来の先行技術からのアプローチでは、66回の実数加算を要求するであろう。これは、ソート（ $\pm 1 \pm j$ ）のファクタを複素数で乗じた積は2回の実数加算を要求し、2つの複素数の加算は2回の実数加算を必要とするこを考慮に入れると、理解される。

【0260】

この演算を行なうための本発明の好適な実施例の2つの主要な選択が示される。相回転プラスG E Mと呼ばれる本発明の第1の好適な実施例で、それは次の事実を使用する。

【0261】

$$(1/2)(1+j) \cdot (1+j) = j$$

$$(1/2)(1+j) \cdot (1-j) = 1$$

$$(1/2)(1+j) \cdot (-1+j) = -1$$

$$(1/2)(1+j) \cdot (-1-j) = -j$$

従って、上記の合計すべてに $(1/2)(1+j)$ を掛けることによって、ここで相回転と呼ばれる行為を行い、および我々はセット {1, -1, j, -j} からの係数を得る。

【0262】

$$(1/2)(1+j) \cdot y_1 = j \cdot x_1 + 1 \cdot x_2 + (-j) \cdot x_3 + (-1) \cdot x_4 + 1 \cdot x_5 + (-1) \cdot x_6$$

$$(1/2)(1+j) \cdot y_2 = (-1) \cdot x_1 + j \cdot x_2 + j \cdot x_3 + (-j) \cdot x_4 + (-j) \cdot x_5 + 1 \cdot x_6$$

$$(1/2)(1+j) \cdot y_3 = 1 \cdot x_1 + (-j) \cdot x_2 + (-j) \cdot x_3 + j \cdot x_4 + (-1) \cdot x_5 + j \cdot x_6$$

本発明の好適な実施例によれば、これらの合計はG E Mによって計算される。この例の小規模なサイズにより、従来の方法と比較して、利得はこの場合欄外であるが、しかし、それはより大きな次元で本質的なものとなる。この例のように、次元が小さい時、他の従来の演算方式が相回転ステップの後に適用される。最後に、各合計の結果は所要の結果を得るために $(1-j)$ が乗じられる。 j または (-1) は、適度な量の時間とエネルギーを要求する「組織的な」動作である。好適な実施例の第2のオプションは、複素U方法と呼ばれる。それは、次の方法で各係数の括弧を開くことにより、合計を求める。

【0263】

$$y_1 = x_1 + (jx_1) + x_2 - (jx_2) - x_3 - (jx_3) - x_4 + (jx_4) + x_5 - (jx_5) - x_6 + (jx_6)$$

$$y_2 = -x_1 + (jx_1) + x_2 + (jx_2) + x_3 + (jx_3) - x_4 - (jx_4) - x_5 - (jx_5) + x_6 - (jx_6) y_2$$

$$y_3 = x_1 - (jx_1) - x_2 - (jx_2) - x_3 - (jx_3) + x_4 + (jx_4) - x_5 + (jx_5) + x_6 + (jx_6)$$

10

20

30

40

50

残りは U 方法の適用により行われる。 $s(12, 3) = 12 + 3 = 15$ であるから、複素加算の回数である場合、これは $s(n, r)$ の上記テーブルから高々 30 回の実数加算を要求する。

【0264】

上記の例によって基本原理を示したが、今一般的な場合の詳細な説明を与えることは適切であろう。複素行列に関しての本発明の好適な実施例を示すために、係数として使用されるセットを考慮する、すなわち、 $U_1 = \{1, 1, j, -j\}$ および $U_2 = \{1+j, 1-j, -1+j, -1-j\}$ 。 U_1 ベクトルまたは U_1 行列は U_1 の中にそれらのエントリを有する。同様に、 U_2 ベクトルまたは U_2 行列は U_2 の中にそれらのエントリを有する。このような行列およびベクトルは、ワイヤレス応用において一般的である。続くものでは、
10 U_2 の番号を複素数で乗じた積は 2 回の実数加算を要求し、その一方で U_1 番号を複素数で乗じた積は比較的少量の複雑性を含んでいることを考慮に入れるべきである。

【0265】

解決される第 1 の計算上の問題は、次のとおりである、すなわち、 $r \times n$ の U_2 行列 A および n 次元の複素列の入力ベクトル x が与えられ、積 $y = A \cdot x$ を計算することが所望されると仮定する。確かにスカラ積であるケース $r = 1$ の場合が、含まれる。この演算への 2 つの主要なアプローチが示されるであろう。適切なとき、各々が所望されるであろう。そのデータ・ベクトルが実数のとき、同じプロセスが、少しの修正で、適用可能である。

【0266】

最初に、本発明の好適な実施例である相回転プラス GEM が導入される。

20

【0267】

$$B = (1/2)(1+j) \cdot A \quad \text{および} \quad z = (1/2)(1+j)y$$

であるとし、そのとき、 B は $r \times n$ の U_1 -行列であり、そして、 $z = B \cdot x$ である。次に、積 $z = B \cdot x$ は GEM によって計算される。一旦 z が計算されれば、出力ベクトル y は積 $y = (1-j) \cdot z$ によって求められる。最初の位相回転ステップに起因する従来方法に対する利得は、 $2r \cdot (n-1)$ 加算の節約である。この利得は $r = 1$ の場合、すなわちスカラ積の場合でさえ存在する。一層の利得は GEM のアプリケーションに起因する。

【0268】

第 2 の本発明の好適な実施例は、U 複素方法と呼ばれる。第 1 の事項は合計として A 、すなわち $A = A_1 + jA_2$ を表わすことである、ここで、 A_1 および A_2 は U 行列である。次に、同一を考慮すること、すなわち $A \cdot x = A_1 \cdot x + jA_2 \cdot x$ を検討することである。この同一は、 $2n$ 複素次元の列ベクトル
30

【0269】

【数 75】

$$x^* = \begin{bmatrix} x \\ jx \end{bmatrix}$$

【0270】

を備える $r \times 2n$ の U 行列 $A^* = [A_1, A_2]$ の積によって $A^* \cdot x$ を計算することができることを意味する。これは次の同一、すなわち $A \cdot x = A^* \cdot x^*$ の中で表現される。今、積 $A^* \cdot x^*$ は U 方法によって計算されるであろう。この本発明の好適な実施例中の別の変形があり、それは r が小さいとき合理的であり、
40

【0271】

【数 76】

$$A^{**} = \begin{bmatrix} A_1 \\ A_2 \end{bmatrix}$$

50

【0272】

とすると、これは $2r \times n$ のU行列である。その後、積、すなわち $A^{**} \cdot x$ を計算するためにU方法を適用する。これは実際両方の積 $y_1 = A_1 \cdot x$ および $y_2 = A_2 \cdot x$ を計算する。そのプロセスは合計、すなわち $y = y_1 + y_2$ で終了する。

【0273】

上記の問題に関する変化が、CDMAでのPN相関器のトップリツツ行列表現を含むいくつかの応用で発生するかもしれない。この設定では、行列はまた0のエントリを有してもよい。従って、 $U'_{11} = \{0, 1, -1, j, -j\}$ および $U'_{22} = \{0, 1+j, 1-j, -1+j, -1-j\}$ とする。 U'_{11} ベクトルまたは U'_{11} 行列は U'_{11} 中にそれらのエントリを有する。同様に、 U'_{22} ベクトルまたは U'_{22} 行列は U'_{22} 中にそれらのエントリを有する。 $r \times n$ の U'_{22} 行列 A が与えられ、n次元の複素列入力ベクトル x が与えられる。ゴールは積 $y = A \cdot x$ を計算することである。確かにスカラ積である $r = 1$ のケースの場合含まれる。

【0274】

本発明の好適な実施例である相回転プラスGEMが最初に議論されるであろう。

【0275】

$$B = (1/2)(1+j) \cdot A \quad \text{および} \quad z = (1/2)(1+j)y$$

とすると、そのとき、Bは $r \times n$ の U'_{11} 行列および $z = B \cdot x$ となる。次に、積 $z = B \cdot x$ がGEMの応用によって計算され、または次元が低いとき、より従来の方式によって計算されるであろう。最後に、一旦 z が計算されれば、出力ベクトル y は、積、すなわち $y = (1-j) \cdot z$ によって求められるであろう。

【0276】

別の本発明の好適な実施例によれば、Aが、まず合計、すなわち、 $A = A_1 + jA_2$ として表わされる、ここで A_1 と A_2 は $(0, 1, -1)$ 行列、可能ならトップリツツである。そのとき等式、すなわち、 $A_1 \cdot x + jA_2 \cdot x$ 積 $A \cdot x$ によって、 $A \cdot x$ は、 $r \times 2n$ の $(0, 1, -1)$ 行列 $A^* = [A_1, A_2]$ を $2n$ 複素次元の列ベクトル、すなわち

【0277】

【数77】

$$x^* = \begin{bmatrix} x \\ jx \end{bmatrix}$$

30

【0278】

で乗じた積によって計算され得る。結局、積 $A^* \cdot x^*$ は、トップリツツによって、または発明のより一般的な $(0, 1, -1)$ の特徴によって計算されるであろう。

【0279】

r が小さいとき、その非トップリツツのカウンターパートに反映して、本発明の別の（選択的な）好適な実施例は、効率的であり、

【0280】

【数78】

$$A^{**} = \begin{bmatrix} A_1 \\ A_2 \end{bmatrix}$$

40

【0281】

とすると、これは $2r \times n (0, 1, -1)$ 行列となる。次に、積、すなわち $A^{**} \cdot x$ を計算するために、本発明の $(0, 1, -1)$ の特徴を適用する。これは実際に積 $y_1 = A_1 \cdot x$ および $y_2 = A_2 \cdot x$ を計算する。最後に、このプロセスは、合計、すなわち $y = y_1 + j \cdot y_2$ で終わる。

【0282】

50

さて、複素数の章は、一般的な複素 $r \times n$ 行列である $A \in C^{r \times n}$ を実数または複素数の n 次元ベクトル x で乗じた積を計算する方法で終了するであろう。本発明のある好適な実施例によれば、最初に A を合計、すなわち $A = A_1 + j A_2$ として表わす、ここで A_1 と A_2 は実数の行列である。次に等式、 $A \cdot x = A_1 \cdot x + j A_2 \cdot x$ によって、 $A \cdot x = A^* \cdot x^*$ であるから、 $A \cdot x$ が $r \times 2n$ の実数行列 $A^* = [A_1, A_2]$ を $2n$ 次元の列ベクトル

【0283】

【数79】

$$x^* = \begin{bmatrix} x \\ jx \end{bmatrix}$$

10

【0284】

で乗じた積によって計算することができる。最後に、積 $A^* \cdot x^*$ は実数の行列法によって計算されるであろう。

【0285】

本発明の別の（選択的な）好適な実施例に従って、

【0286】

【数80】

$$A^{**} = \begin{bmatrix} A_1 \\ A_2 \end{bmatrix}$$

20

【0287】

とする。これは $2r \times n$ の実数の行列である。次に、積、すなわち、 $A^{**} \cdot x$ を計算するために実数の行列法を適用する。これは積 $y_1 = A_1 \cdot x$ および $y_2 = A_2 \cdot x$ を計算することである。最後に、そのプロセスは、合計、すなわち $y = y_1 + j \cdot y_2$ で終わる。

【0288】

最後に、 U_2 係数を備えたトップリツツ行列をベクトルで乗じた積は、上記のトップリツツ技法の応用によって行われる。

トップリツツ行列、(0, 1, -1) 行列および複素行列技法の産業上の応用例

30

I S - 95 サーチャ(searcher) :

I S - 95 CDMA システムによって、小さな地理的な場所における多くの異なる基地局が、データをモバイル受信機に送信するために、スペクトラムの同じセグメントを同時に使用することができる。異なる基地局からのデータを区別するための方法は、送信データを拡散するために使用される PN シーケンスによるものである。各基地局は、PN シーケンスの異なった過程で送信する。モバイル受信機におけるサーチャ機構の作業は、それらの PN シーケンスと調整することにより周囲の基地局によって送信された異なるパワーリット信号を識別することである。それはまた、同じ基地局から到着するいくつかの多重経路伝播の信号（エコーを意味する）を区別するために適用される。同様のプロセスは、初期の同期手順に適用される。

40

【0289】

サーチャは、ローカルに生成された PN シーケンスをもって、各仮説(hypothesis)について、受信信号の偏相関(partial correlation)によって、多くの仮説をテストすることを要求される。その後、シーケンスは各仮説のためにシフトされ、また、相関が信号エレメント(チップ)の固定番号に対して実行される。通常、サーチャは、与えられたウインドウ内で仮説のすべてを検索することを要求され、一回毎に、シーケンスが 1 ずつシフトされる。サーチャは、行が上記言及したシフトされる PN シーケンスからなる行列 A の構築により、D S - C D M A システムで実行され得る。その後、その検索結果はベクトル $y = A \cdot x$ の中で与えられるが、ここで x は单一のチップ期間でサンプリングされた到来信号を示すベクトルである。本発明の好適な実施例によれば、効率的な線形変換のための上記

50

言及した創作性のあるアルゴリズムは、資源の消費を削減したベクトル y を得るために実行される。本発明の多くの応用は、さらに、広帯域 C D M A の提案された標準規格のサーチャに有用である。

多重(マルチ)積

本発明の別の好適な実施例は、ベクトル積による U 行列の部分和が望まれる状況と関係する。異なる速度(拡散因子: spreading factor)を有するいくつかのコードが同時にテストされるとき、これは C D M A 通信への応用において生じる。この実施例の研究は、既に本発明の前状況における本質的な事項を実行した者にとってより有益である。それは、豊富な詳細がなくてもこのやや複雑な方法についての最初の概念を与える次の実例で紹介されるであろう。しかしながら、合理的なサイズの例が、この実施例のすべての状況について記述することはできない。本発明の発明の要約、項目 6 をさらに参照してもよい。

10

【0290】

例

次の 5×8 の U 行列

【0291】

【数81】

$$A = \begin{bmatrix} 1 & 1 & -1 & 1 & 1 & -1 & -1 & -1 \\ -1 & 1 & -1 & -1 & 1 & 1 & -1 & 1 \\ 1 & -1 & 1 & 1 & 1 & -1 & 1 & -1 \\ 1 & 1 & -1 & 1 & -1 & -1 & 1 & -1 \\ -1 & -1 & 1 & 1 & -1 & 1 & -1 & -1 \end{bmatrix}$$

20

【0292】

および、8 次元の入力ベクトルを検討する。

【0293】

【数82】

$$x = \begin{bmatrix} x_1 \\ x_2 \\ x_3 \\ x_4 \\ x_5 \\ x_6 \\ x_7 \\ x_8 \end{bmatrix}$$

30

【0294】

ライン 1 と 2 の拡散因子は 2、およびライン 3 と 4 の拡散因子は 4、およびライン 5 の拡散因子は 8 であるとする(多重積の用語において)。最初の 2 行では 2 つ毎の連続したエレメントが合計され、第 3 および第 4 行目においては各 4 つの連続したエレメントが合計され、第 5 行目では、全ラインが合計される。規約は、拡散因子は減少することなく、すなわち、各ラインの拡散因子は前のラインの拡散因子に等しいかそれより大きいということである。この用語は後に正確に定義されるであろう。

40

【0295】

次の合計が計算されることが上記から理解されるであろう。

【0296】

$$x_1 + x_2, -x_3 + x_4, x_5 - x_6, -x_7 - x_8$$

50

$-x_1 + x_2$, $-x_3 - x_4$, $x_5 + x_6$, $-x_7 + x_8$
 $x_1 - x_2 + x_3 + x_4$, $x_5 - x_6 + x_7 - x_8$
 $x_1 + x_2 - x_3 + x_4$, $-x_5 - x_6 + x_7 - x_8$
 $-x_1 - x_2 + x_3 + x_4 - x_5 + x_6 - x_7 - x_8$

最初に 4 つの 4×2 の U 行列への分割があり、そこで水平の次元が最低の拡散因子に反映する。その後、この新しい側面から加算がどのように削減されるかを示すために、極めて基礎的なレベルで、U 方法が適用される。このように、同値のラインを消去することに適用して、2 つの加算だけが各ラインのすべての最初の合計を計算するために要求される。

【0297】

$x_1 + x_2$
 $-x_1 + x_2$
 $x_1 - x_2$
 $x_1 + x_2$
 $-x_1 - x_2$

10

同様に、2 つの加算のみが各ラインの第 2 の合計に必要となる。

【0298】

$-x_3 + x_4$
 $-x_3 - x_4$
 $x_3 + x_4$
 $-x_3 + x_4$
 $x_3 + x_4$

20

など。従って、合計 8 回の加算がこの部分のために必要である。さらに 4 回の加算がライン 3 および 4 の求められた合計を計算するために必要であり、さらに 4 回の追加の加算がライン 5 の求められた合計を計算するために要求される。従って、合計 16 回の加算が本発明の好適な実施例を適用することにより要求された。先行技術である従来の力まかせの方法では、同じ作業をするために、28 回の加算を要求していたであろう。

【0299】

本発明の現在の状況における環境は U 行列を含み、それは上記の実例でのように各ラインで、等しい間隔のサブ合計が必要な場合、大きな次元であってもよい。入力ベクトルは実数かまたは複素数である。その行列は、ラインによっていくつかのサブ行列へサブ分割され、各ラインは上記の実例中に別々にかつ独立して使用される方法によって計算される。加算を削減しそれにより複雑性を低減する点から、ほぼ最良のサブ分割を見つける方法がこの実施例へ統合される。そのためのツールは、ダイナミックなプログラミングに基づく追加のプロセッサまたは装置であり、それはテーブル、境界およびリ方法の回帰的な方程式 $s(n, r)$ を使用して様々なサブ分割を分析する。非常に正確な構成がこの実施例の開発に必要である。いくつかの新しい定義は予備資料として必要であろう。

30

【0300】

$v = (v_1, v_2, \dots, v_n)$ にベクトルにすると、 p は n を分割する正の整数である（要するに： $p | n$ ）。 $v[p]$ を、長さ p のセクションへ v を細分することにより形成される、ベクトルのベクトルであると定義する。したがって、

40

$v[p] = ((v_1, v_2, \dots, v_p), (v_{p+1}, v_{p+2}, \dots, v_{2p}), \dots,$
 $(v_{n-p+1}, v_{n-p+2}, \dots, v_n))$

セクションを次のように表示する。

【0301】

$v[p, k] = (v_{(k-1)p}, v_{(k-1)p+1}, \dots, v_{kp})$ 1 k n/p に対して

文中の整数 p は拡散因子 (spreading factor) と呼ばれる。マルチベクトルは行列の構造と同種の構造である認識する。次の項目、すなわちマルチベクトルのマルチスカラ積は、行列積と通常のスカラ積との間のクロス (中間物) である。2 つの n 次元ベクトルを $v = (v_1, v_2, \dots, v_n)$ および $w = (w_1, w_2, \dots, w_n)$ とすると、 v および w の p - マルチスカラ積は次のように定義される。

50

【0302】

$v \cdot w[p] = (v[p,1] \cdot w[p,1], v[p,2] \cdot w[p,2], \dots, v[p,n/p] \cdot w[p,n/p])$

ここで、内部積(internal products)、 $v[p,1] \cdot w[p,1]$, $v[p,2] \cdot w[p,2]$, ..., $v[p,n/p] \cdot w[p,n/p]$ は、通常のスカラ積である。この積の結果は n/p 次元のベクトルであることに注意すること。

【0303】

A をライン A_1, \dots, A_r を備えた $r \times n$ 行列であり、 $\underline{p} = (p_1, p_2, \dots, p_r)$ を正の整数ベクトルであるとする。すべての $1 \leq i \leq r$ に対し、 p_i が n を分割するならば、 \underline{p} は n を分割すると言えるであろう。これは $\underline{p} | n$ と表示される。今その $\underline{p} | n$ を仮定する。 n 次元のベクトル x をとり、ベクトルのベクトルである、 A 掛ける x の p -マルチ積を $A \cdot x[\underline{p}]$ と表示して、次のように定義する。

10

【0304】

$A \cdot x[\underline{p}] = (A_1 \cdot x[p_1], A_2 \cdot x[p_2], \dots, A_r \cdot x[p_r])$

本発明の最新の実施例は、今後記述される構成中の積の演算を改善するであろう。

マルチ積システム

マルチ積システム(または短くして MP システム)は、パラメータとして整数 n, r および正の整数ベクトル $\underline{p} = (p_1, p_2, \dots, p_r)$ を含む設定である、すなわち、 $p_1 | p_2, p_2 | p_3, p_3 | p_4, \dots, p_{r-1} | p_r$ および $p_r | n$

整数 p_1, p_2, \dots, p_r は、システムの拡散因子と呼ばれる。MP システムのパラメータは次の方法で書かれるであろう。

20

【0305】

$P = (r, n, \underline{p})$

これらのパラメータに今 $r \times n$ の U 行列 A および n 次元の実数のベクトル x を付す。目標は効率的に積 $A \cdot x[\underline{p}]$ を計算することである。全 MP システムは次の方法で書かれるであろう。

【0306】

$S = (r, n, \underline{p}, A, x)$

さらに、整数 p_1, p_2, \dots, p_r, n がすべて 2 の累乗であるとき、そのとき、そのシステムは 2 進多重積システムまたは短くして、BMP システムと呼ばれる。

M - 1 方法

30

本発明のこの特徴は、MP システムへの U 方法のストレートは適応である。それは上記の実例によって表わされる。実際には、後で記述されるほぼ最適のサブ区分の後に、それは、MP システムのサブシステムに通常適用されるであろう。

【0307】

MP システム $S = (r, n, \underline{p}, A, x)$ を与える。この方法は、最小の拡散因子 p_1 に関するサブ行列への行列の水平分割に基づき、サブ行列はそれぞれ幅 p_1 である。それは、行列 A の U 係数を備えたベクトル x の最初の p_1 実数の合計を計算することにより始まる。これは、U - 2 進方法によってすべてのラインで同時に行われる。その後、それは次の p_1 列へ進み、同じプロセスを行なう。すべての n 変数が使い尽くされるまで、それはこのように継続する。次に、 $p_i > p_1$ であるラインの各々へ進み、ありふれた方法で合計プロセスを完了する。

40

【0308】

各サブ行列上の U 方法の最初のステップは、他のラインを生のまたは反転のコピーであるラインを走査することである。例えば、 $p_1 = 2$ の場合、そのとき、高々 2 つの加算が r にかかるらず各セクションで必要とされる。一般に、わずか 2^{p_1-1} のラインが、あらゆるセクション中の U - 2 進方法によって考慮される。さらに、このテキストによって意図する 1 つのアプリケーションは、 A がアダマールである場合である。この場合、各セクション中にわずか p_1 個の非等価ラインがある。したがって、どれだけの非等価ラインが各サブ行列に現われることがあるかについての境界を含む別のソースが挿入される。それは、近い将来行列のタイプの結果である z (テーブルとして格納される) によって表示される

50

機能に含まれるであろう。そのパラメータは p_1 と r であり、それは $z(p_1, r)$ によって書かれる。例えば、Aがアダマールであるとき、 $z(4, 6) = 4$, $z(8, 5) = 5$ であり、Aが一般的なU行列であるとき、 $z(4, 40) = 8$ である。それは常に $z(p_1, r) \leq \min\{2^{p_1-1}, r\}$ を維持し、Aがアダマールである場合、 $z(p_1, r) = \min\{p_1, r\}$ である。

【0309】

M-1方法の複雑性の演算は、上記のU-2進方法の記述で現われるテーブルおよび $s(r)$ の回帰方程式に基づくであろう。すべての正の整数 y に対して、 $s'(y) = s(y) + y$ とする。さらに $s'(y) < 2^{y-1} + 2^{y/2} + 1$ であることを想起し、そしてこの不等式はややきつい。これは、次の方程式中の複雑性の程度に直観的な視点を与える。M-1方法によって行われる加算の数は、次の式で境界付けられる。

$$\begin{aligned} C(n, r, p, z) &= (n/p_1)(p_1+s(z(p_1, r)))+(n/p_2)(p_2/p_1-1)+(n/p_3)(p_3/p_1-1) \\ &\quad +\dots+(n/p_r)(p_r/p_1-1) \\ &= n \cdot (1+(s(z(p_1, r))+r-1)/p_1 - (1/p_2+1/p_3+\dots+(1/p_r))) \\ &= n \cdot (1+(s'(z(p_1, r))/p_1 - (1/p_1+1/p_2+1/p_3+\dots+(1/p_r))) \end{aligned}$$

いくつかのつまらない点があるが、しかし、この方程式の重要な例に注意を要する。最初は、行列が1ラインを有する場合である、すなわち、 $r = 1$ のとき、

$$C(n, r, p) = n - n/p_1$$

第2は、一定の拡散因子の場合である、すなわち、 $p_1 = p_2 = \dots = p_r$ のとき、

$$C(n, r, p, z) = n \cdot (1 + s(z(p_1, r))/p_1)$$

明らかに、M-1方法は、 r が p_1 に比べて大きいとき、決して効率的でない。より賢い方法のための踏み石がそれを基礎として開発されるであろう。このより強力な方法は、行列を水平に細分しM-1方法を各サブ行列に別々に適用することによりうまくいく。より少ない計算でより少ない加算総数をもたらすサブ区分の構造を見つけるために、上記方程式の次のより短いバージョンを有することが有用であろう。そこで、次のように定義する。

【0310】

$$C'(n, r, p, z) = 1 + s'(z(p_1, r))/p_1$$

マルチシステムのサブ区分およびマルチベクトルについての一般化された概念

次に、構成は、行列を水平ライン上に細分するように命じるために形成される。この命令は、細分するベクトル \underline{p} によって表わされるであろう。その結果は、オリジナルの問題を同じ幅 n の少数のサブ問題に分解し、各々は上記のM-1方法によって解決されるであろう。サブ区分は、効率を最大限にするために後で発明性のあるアルゴリズムに添付されるであろう。拡散因子の r 次元の整数ベクトル、 $\underline{p} = (p_1, p_2, \dots, p_r)$ 、および $r \times n$ のU行列を次式とする。

【0311】

【数83】

$$A = \begin{bmatrix} a_{11} & a_{12} & \dots & \dots & \dots & \dots & a_{1n} \\ a_{21} & a_{22} & \dots & \dots & \dots & \dots & a_{2n} \\ \vdots & & & & & & \\ \vdots & & & & & & \\ a_{r1} & & & & & & a_{rn} \end{bmatrix}$$

【0312】

そして、整数 k, m を、 $1 \leq k \leq m \leq r$ とする。ベクトル \underline{p} のセクションを最初に定義する。

【0313】

10

20

30

40

50

$$p(k, m) = (p_k, \dots, p_m)$$

それは、単に k から m の指標を備えたコンポーネントをとる。行列 A のセクションを次のように定義する。

【0314】

【数84】

$$A(k, m) = \begin{bmatrix} a_{k1} & a_{k2} & \dots & \dots & \dots & \dots & a_{kn} \\ a_{k+1,1} & a_{k+1,2} & \dots & \dots & \dots & \dots & a_{k+1,n} \\ \vdots & \vdots & & & & & \\ \vdots & \vdots & & & & & \\ a_{m1} & & & & & & a_{mn} \end{bmatrix}$$

10

【0315】

同様に、それは k から m の指標を備えたラインを有することを意味する。

次に、整数ベクトル $\underline{r} = (r(1), \dots, r(t+1))$ が、

$$k = r(1) < r(2) < \dots < r(t) < r(t+1) = m + 1$$

を満たすことを考慮し、それはセクションに分割する道具となる。まず、 \underline{r} は、次の方法で、 p のサブ区分をベクトル $p[\underline{r}]$ のベクトルへ作成するツールである。 20

$$p[\underline{r}] = (p_{r(1)}, \dots, p_{r(2)-1}, (p_{r(2)}, \dots, p_{r(3)-1}), \dots, (p_{r(t)}, p_2, \dots, p_{r(t+1)-1}))$$

サブ・ベクトルは次のように表示される。

【0316】

$$p[\underline{r}, 1] = (p_{r(1)}, \dots, p_{r(2)-1})$$

$$p[\underline{r}, 2] = (p_{r(2)}, \dots, p_{r(3)-1})$$

.

.

.

$$p[\underline{r}, t] = (p_{r(t)}, \dots, p_{r(t+1)-1})$$

30

行列 A の行は、次の方法で細分するベクトル \underline{r} に従って同様に細分される。

すべての整数 $1 \leq q \leq t$ に対して、

$$A[\underline{r}, q] = (a_{ij} : r(q) \leq i < r(q+1), 1 \leq j \leq n)$$

与えられたサブ区分のためのM方法

このセクションは、メカニズムの形成に主要なステップがあり、それはこの実施例で中心となる低い複雑性のサブ区分であるメカニズムを見つける。行列におけるラインのサブ区分を与え、各サブ行列上で $M - 1$ 方法を別々に行なう。目標は加算の総数を評価し、その結果より少数の加算のサブ区分が次のステージで見つかるであろう。MPシステム $S = (r, n, p) = (p_1, p_2, \dots, p_r), A, x, z$ およびサブ区分ベクトル $\underline{r} = (r(1), \dots, r(t))$ を固定する、ここで $1 \leq k = r(1) < r(2) < \dots < r(t) < r(t+1) = m + 1 \leq r + 1$ である。 40

1 $\leq q \leq t$ に対して、 $S_q M P$ サブシステムは次式によって与えられる。

【0317】

$$S_q = (r(q+1) - r, n, p[\underline{r}, q], A[\underline{r}, q], x, z)$$

すべてのサブシステムの加算総数は次のとおりである。

【0318】

$$C(n, r, \underline{r}, p, z) = \sum_{i=1}^t C(n, r(q+1) - r(q), p[\underline{r}, q], z)$$

$$= n \cdot (\sum_{i=1}^t s'(z(p_{r(q)}), (r(q+1) - r(q))) / p_{r(q)} - (1/p_k + \dots + 1/p_m) + t)$$

次の目標は効率的な方法を開発することで、それはこの事項を最小にするサブ区分を見つける。各ステージで反復する付加的なサブ事項 $1 / p_k + \dots + 1 / p_m$ および n 50

要因を見積もらず、計算を行なうほうが効率的であろう。
したがって、次のように定義する。

【0319】

$$C^*(n, r, \underline{r}, p, z) = \min_{1 \leq q \leq t} s'(z(p_{r(q)}, (r(q+1)-r(q))/p_{r(q)}) + t)$$

ほぼ最適なサブ区分

このステージでは、上記の項 $C(n, r, \underline{r}, p, z)$ によって与えられる加算量を最小限にするサブ区分の特性を検討する。最初に、加算数に対する抽象的な公式を与えるが、ここでは、サブ区分がオリジナルの問題の与えられた部分区間上で拘束される最小の最悪のケースを有する。

【0320】

そのとき、 $1 \leq k \leq m \leq n$ であるとして、MPシステム $S = (r, n, p = (p_1, p_2, \dots, p_r), A, x, z)$ および整数 k, m を検討する。次式を定義する。

【0321】

$$h(k, m) = \min \{ C(n, m-k+1, \underline{r}, p(k, m), z) : \text{for } \underline{r} = (r(1), \dots, r(t+1)) \}$$

ここで $k=r(1) < r(2) < \dots < r(t) < r(t+1) = m+1$

$$h^*(k, m) = \min \{ C^*(n, m-k+1, \underline{r}, p(k, m), z) : \text{for } \underline{r} = (r(1), \dots, r(t+1)) \}$$

ここで $k=r(1) < r(2) < \dots < r(t) < r(t+1) = m+1$

それは次式を保持する。

【0322】

$$h(k, m) = n \cdot (h^*(k, m) + (1/p_k + \dots + 1/p_m))$$

次の循環公式を保持する。

【0323】

$$h(k, m) = \min \{ C(n, m-k+1, p(k, m), z), \min \{ h(k, q-1) + h(q, m) : \text{for all } k < q \leq m \} \}$$

ここで $\min(\text{empty set}) = \infty$

$$h^*(k, m) = \min \{ C^*(n, m-k+1, p(k, m), z), \min \{ h^*(k, q-1) + h^*(q, m) : \text{for all } k < q \leq m \} \}$$

さて、これらの表現は次のダイナミックなコードによって使用されるが、そのサブ構造は k と m の間のインターバルにある。このコード h^* の複雑性を低減することは、最良のサブ構造を発見するためにルート上の h を交換する。これは最終結果に影響はない。最適のサブ区分の第1歩を見つけるために、我々はすべての k および m に対する、式 $h(k, q-1) + h(q, m)$ を最小にする q を計算する、ここで、 $1 \leq k \leq m \leq n$ であり、それはしき $h^*(k, q-1) + h^*(q, m)$ を最小にするのと同じ q である。従って、次を定義する。

【0324】

$$q(k, m) = k \quad \text{ここで } h^*(k, m) = C^*(n, r, p(k, m), z)$$

そうでなければ、

$$q(k, m) = \text{最小の } q, \text{ ここで, } k < q \leq m \text{ および } h^*(k, m) = h^*(k, q-1) + h^*(q, m)$$

今、最適なサブ区分コードを形成することができる。

最適なサブ区分を見つけるダイナミックなプログラムの創造的なコード

次のコードは、データとして MP システム $P = (r, n, p, z)$ のパラメータを受け取り、出力として M - 方法が最適に達成するサブ区分 r を生成する。加えて、それは、さらに最適な M - 方法の複雑性(complexity)を返す。

【0325】

それを効率的に実行するために、 $s'(r)$ のテーブルを前もって計算し格納する必要がある。これは、次の回帰公式を使用して、このテーブルを計算する、高速コードによって行われる。

【0326】

$$s'(r) = 2^{r-1} + s'(r(1)) + s'(r(2))$$

10

20

30

40

50

最適なサブ区分テーブル (n , r , p , z)

```

for b going from 0 to r-1 do
    for k going from 1 to r-b do
        m:=k+b
        h*(k, m) <---- C*(n, m-k+1, p(k, m), z)
        q(k, m) <---- k
        for q going from k+1 to m do
            d <---- h*(k, q-1)+h*(q, m)
            if d < h*(k, m) then
                h*(k, m) <---- d and
                q(k, m) <---- q
return the tables h* and q.

```

10

今残されていることは、この手続きによって構築されたテーブル $q (k , m)$ から最適なサブ区分ベクトルを得ることである。これは最適のベクトル r のコンポーネントを含むセット R を作成する次のコードによって行われる。

最適サブ区分ベクトル (n , r , p)

```

Set: R:=empty set and k:=1 m:=r
    Find Vector (k,m):
    if q(k,m) > k then
        put q:=q(k,m)
        add q to the set R
    Find Vector (q,m)
    Find Vector (k,q-1)
Return the set R.

```

20

さて、最適のサブ区分 r が見つかるので、M方法はこのサブ区分上で走るであろう。

インプリメンテーション

本発明の次の好ましい実施例は、上記方法の詳細な実行となる創造性のあるアルゴリズムを提供する。それらは、上記方法を行なうのに必要なメモリとエネルギー資源の削減を可能にする。それらは、上記方法を増強し、装置を構築するのに必要な命令を提供するのに 2つのゴールを有する。これらを実行する際に強調すべき1つの仮定は、変換行列が総括的で、エントリの与えられたセットを有する行列のセットから任意に選ばれるように考慮されることができるということである。もう1つは、行の数が列の数と比較したとき、十分に少ないということであり、それにより上述した基本の境界

30

行の数 < $l \log$ (列の数)

は、満たされる。従って、等価ラインをチェックするような他の状況において適切であるステップのいくつかは、ここでは余分である。

【0327】

後述のテキストに記述されたマッピングは、1つの場所から次の場所へデータのフローに手順を開く。各場所は、所定の反復で、行列の列に対応する2進のアドレスで割り当てられる。 U 行列の場合には、列における (-1) のコンポーネントは、アドレスにおける 1 に対応し、同様に列における 1 のコンポーネントはアドレスにおける 0 に対応する。同様の対応が、 U_1 行列に対して定義される。

40

【0328】

説明されるインプリメンテーションは、到来する x_j 信号が、それらの対応する列によって決定された宛先を前もってセットするために加えられる第1ステップを含み、ここで各 x_j は記号および / または 2 の累乗が乗じられる。進行する反復中において、列が本発明に従って分割される場合は常に、2つの各の分割に割り当てられたアドレスは、その所定の列アドレスへより小さいか等しい。これは、メモリのある場所に格納されたすべての情報を、処理され失われる前にその宛先へ送ることができる。加えて、それが所定の列を分

50

割した半分の 1 つが 0 であると考えれば、この列を表わすアドレスは次の反復に使用されるであろう。これらの特性は、データの移動を最小限にするために設定されるデータ・フロー・マップの斬新な構築によって遂行される。各反復で、アドレスの最大の数は手をつけない今まで、その現在の内容が次の反復によって使用することができるものをすべて含める。

【0 3 2 9】

次のインプリメンテーションのメカニズムは、上記において記述された本発明の好適な実施例である G E M を考慮してより一層理解される。数 1 を含む数の有限集合 S が考慮され、この文章中では、それがそのコンポーネントが集合 S に属し、正規化された r 次元の列ベクトルのすべての可能なゼロでない構成から成る場合、r ラインの行列は完全な S - r - 行列と名付けられ、その構成がそれぞれ一度正確に現われ、その正規化規約は最低のゼロでない要素が 1 であるべきということである。

次のより低い次元の例を観察する。

行列

【0 3 3 0】

【数 8 5】

$$\begin{bmatrix} 1 & 0 & 1 \\ 0 & 1 & 1 \end{bmatrix}$$

10

【0 3 3 1】

は、完全な { 0 , 1 } - 2 - 行列である。

行列

【0 3 3 2】

【数 8 6】

$$\begin{bmatrix} 1 & -1 \\ 1 & 1 \end{bmatrix}$$

20

【0 3 3 3】

30

は、完全な U - 2 - 行列である。

行列

【0 3 3 4】

【数 8 7】

$$\begin{bmatrix} 1 & -1 & 1 & -1 \\ 1 & 1 & -1 & -1 \\ 1 & 1 & 1 & 1 \end{bmatrix}$$

【0 3 3 5】

40

は、完全な U - 3 - 行列である。

行列

【0 3 3 6】

【数 8 8】

$$\begin{bmatrix} 1 & 0 & 1 & 0 & 1 & 0 & 1 \\ 0 & 1 & 1 & 0 & 0 & 1 & 1 \\ 0 & 0 & 0 & 1 & 1 & 1 & 1 \end{bmatrix}$$

【0 3 3 7】

50

は、完全な { 0 , 1 } - 3 - 行列である。

行列

【 0 3 3 8 】

【 数 8 9 】

$$\begin{bmatrix} 1 & -1 & j & -j \\ 1 & 1 & 1 & 1 \end{bmatrix}$$

【 0 3 3 9 】

は、完全な { 1 , -1 , j , -j } - 2 - 行列である。

10

【 0 3 4 0 】

次のインプリメンテーションは、列の数に対して行の数が十分に少ないという仮定に基づき、その結果すべての可能な構成の大部分は、変換行列の列に現われる。従って、すべての進行中のインプリメンテーションで作成された最初の反復は、演算を完全な S - r - 行列と修正済のベクトルとの積にする。従って、さら前進した反復は、より低い次元の完全な S 行列とそれぞれの修正済のベクトルとの積を計算する。

【 0 3 4 1 】

列が上記例の行列に現われる規律正しい方法は、これらのインプリメンテーションのアドレス・セッティングに別の特徴を反映する。それは、列を | S | - ベースのアドレスに翻訳する一貫した規則に基づいたアドレスであり、ここで、 M S B がベクトルのボトム・コンポーネントであり、 L S B がトップである。

20

【 0 3 4 2 】

基本的な結果は、第 1 の反復の後に、一定の（そしてむしろ明白な）アドレス番号付けをする唯一の一定の完全な変換行列があるということである。この一定の行列は、 S および r のみに依存し、初期変換行列には依存しない。これは、残りのプロセスの中で等質性に通じるが、その結果最初のステージ後に一般的かつ特定の変換行列から独立したデータ・フロー構造の創出を可能にする。これは、ハードウェア・インプリメンテーションに、およびこの章の主要な目標であるが、本発明に基づいた装置を構成する際に非常に役立つ。

【 0 3 4 3 】

これらのインプリメンテーションの追加・個別的な側面は、要求された読み取りおよび書き込みメモリの割当て、および適切な変換行列のための加算数の削減である。従って、そのプロセスの実行のために必要とされるエネルギー、および装置のコストが削減される。いくつかの入力 × ベクトルと同じ初期変換行列を処理するとき、次の各コードの効率が強調されることが認められるべきである。

30

【 0 3 4 4 】

最後に、適切な展望を持つために、次のインプリメンテーションは、それらが本発明の多くの可能な効率的なインプリメンテーションの内のわずかな例であることを理解して読まれるべきである。

例 1 : 0 - 1 - 2 進の行列

次のステップのシーケンスは、本発明の 0 - 1 - 行列の局面からみたインプリメンテーションについて記述する。データは、 $r \times n$ の 0 - 1 - 行列 $A = (a_{ij} : 0 \leq i < r, 0 \leq j < n)$ 、および実数または複素数入力ベクトル $x = (x_0, \dots, x_{n-1})$ から成る。行列 A の列は、 v_0, \dots, v_{n-1} によって表示される。このステップのシーケンスは、積 $y = (y_0, \dots, y_{r-1})^T = A \cdot x$ を計算する。すべての与えられた k - 反復で、各場所は、ベクトル x に依存して、1つの実数または複素数を含んでいる。割り付けられた読み取りおよび書き込みメモリは、各反復でプロセスに関係する列を表わして、1から $2^r - 1$ までラベル付けされた $2^r - 1$ のアドレスを含む。次の定義は、本発明の好適な実施例の記述の一部である。

40

【 0 3 4 5 】

定義

50

1) 全ての $k = 0$,

$j = 1$ に対して、

【 0 3 4 6 】

【 数 9 0 】

$$l(k,j) = \lceil (j-1) \cdot (r/2^k) \rceil$$

【 0 3 4 7 】

を定義する。

2) 全ての $0 \leq m < r$ に対して、 $Y_m = 2^m$ を定義する。これらのアドレスは、 Y_0 が y_0 のアドレスであり、 Y_1 が y_1 のアドレスとなる場合のように、プロセスの終わりに、出力ベクトル $y = (y_0, \dots, y_{r-1})^\top$ のコンポーネントを含むであろう。 10

3) $k = 0$ および $j = 1$ に対して、以下のように各場所から次の場所へのデータの移動を制御する関数 F_{kj} , G_{kj} を定義する。まず、 $l = l(k, j)$, $m = l(k+1, 2j)$, $h = l(k, j+1) - 1$ を置き、各整数 $v \geq 0$ に対して、

【 0 3 4 8 】

【 数 9 1 】

$$F_{kj}(v) = 2^m \cdot \lfloor v/2^m \rfloor$$

$$G_{kj}(v) = v \bmod 2^m$$

【 0 3 4 9 】

を定義する。

4) すべてのベクトル $v = (v_0, \dots, v_{r-1}) \in [0, 1]^r$ に対して、

$$(v)_j = \sum_{i=0}^{r-1} 2^i v_i$$

を定義する。

【 0 3 5 0 】

コード

1 . 初期化 : 1 から $2^r - 1$ まですべてのアドレスに 0 を入れること。

2 . 第 1 段階 : j が 0 から $n - 1$ へ進み

もし $v_j = 0$ なら、そのとき x_j をアドレス $v = (v_j)$ に加える 30

3 . 主要部分 :

【 0 3 5 1 】

【 数 9 2 】

for k going from 0 to $\lceil \log(r) \rceil - 1$ do

 for j going from 1 to 2^k do

 if $l(k,j+1)-1 > l(k,j)$ then

 for p going from 1 to $2^{l(k,j+1)-l(k,j)} - 1$ do

 put $v = 2^{l(k,j)} \cdot p$

 for (source) address v do

 if $F_{kj}(v) \neq 0$ and $F_{kj}(v) \neq v$ then

【 0 3 5 2 】

そのとき、(ソース)アドレス v 中に存在する値を(宛先)アドレス $G_{kj}(v)$ 中の値へ加え、さらに、(ソース・アドレス v の)この値を(宛先)アドレス $F_{kj}(v)$ 中の値に加える。

4 . 出力の獲得 :

このステージでは、すべてのアドレス Y_i は、すべての $0 \leq i < r$ に対して、出力コン

ポーネント y_i の値を含む。

【0353】

複雑性

現在の用語における基礎的ステップは、ソースと呼ばれるメモリの1つの場所から数を読み、宛先と呼ばれるメモリの別の場所に置かれた数にそれを加えることである。

【0354】

上記コードに基づく装置は、 $A \cdot x$ の上記演算の主要部分を計算するための次の数の基礎的ステップを要求するだろう。

【0355】

$$C^{0,1}_r = 2^{r+1} - 2r - 2$$

10

この数は r にのみ依存する。

【0356】

$A \cdot x$ の全演算は、次の合計の基礎的ステップ数を要求する。

【0357】

$$C^{0,1}_{n,r} = n + C^{0,1}_r$$

チャート 1 : 0 - 1 - 2 進・行列

20

図1は、上記コードの主要部分を実行する装置によって使用されたメモリの内容を更新する動作を概略的に示すが、0 - 1 - 2 進・行列は4つの行からなり、本発明の0 - 1 - 2 進の特徴を好ましい手法でインプリメントする。各反復における各行列の列は、メモリ中のアドレスによって2進形式で表わされる。ボトム(0または1)コンポーネント(水平表示での最も右手のコンポーネント)はMSBであり、また、トップ(0または1)コンポーネント(水平表示における最も左手のコンポーネント)はLSBである。アドレス $Y_m = 2^m$, $0 \leq m \leq 3$ は、 Y_0 が y_0 のアドレスであり、 Y_1 が y_1 のアドレスになる場合のように、そのプロセスの終わりに出力ベクトル $y = (y_0, \dots, y_{r-1})^\top$ のコンポーネントを含む。矢印は、単一アドレスの内容をとり、別のアドレスの内容に加えられるためにそれを送る行為を示す。上記のコードによって示されるように、これは、反復の順序、および各反復に関係するアドレスの(増加)順序に従って行われる。

【0358】

例 2 : U 行列

次のステップのシーケンスは、本発明のU行列の面からのインプリメンテーションについて記述する。そのデータは、 $r \times n$ U行列 $A = (a_{ij} : 0 \leq i < r, 0 \leq j < n)$ および入力の実数ベクトル $x = (x_0, \dots, x_{n-1})$ から成る。行列 A の列は、 w, \dots, w_{n-1} によって表示されるであろう。このステップのシーケンスは、積 $y = (y_0, \dots, y_{r-1})^\top = A \cdot x$ を計算する。すべての与えられた反復では、各場所はベクトル x に依存して、1つの実数または複素数を含む。割り当てられた読み取りおよび書き込みメモリは、0から $2^{r-1} + r - 2$ までラベル付けされた $2^{r-1} + r - 1$ 個のアドレスを含む。次の定義および前例の定義は、本発明の好適な実施例の記述に必要である。

30

定義

1) 各 r 次元のUベクトルに対し、 $u = (u_0, \dots, u_{r-1})$ は：

$$\text{Sign}(u) = u_{r-1}$$

40

$$h(u) = (u_0 \cdot u_{r-1}, \dots, u_{r-1} \cdot u_{r-1})$$

を定義する。

2) バイポーラ2進セット、 $U = \{1, -1\}$ およびロジック・ビットの2進セット、 $B = \{0, 1\}$ の間の一一致を次式によって定義する。

【0359】

$$(-1)' = 1$$

$$1' = 0$$

従って、 r 次元のUベクトルに対して、 $u = (u_0, \dots, u_{r-1})$ は、

$$(u) = \sum_{j=0}^{r-1} 2^j u'_j$$

を定義する。

50

3) $Y_0 = 0$ 、およびすべての $1 \leq m \leq r - 1$ に対して $Y_m = 2^{r-1} + m - 1$ を定義する。これらのアドレスは、 Y_0 がアドレスであり、 Y_1 が y_1 のアドレスとなる場合のように、プロセスの終わりに出力ベクトル $y = (y_0, \dots, y_{r-1})^\top$ のコンポーネントを含むであろう。

4) すべての $k \geq 0$ および $j \geq 1$ に対し、マップ F_{kj} 、 G_{kj} 、 Sign_{kj} は、以下のように定義される。

$l = l(k, j)$, $m = l(k+1, 2j)$, $h = l(k, j+1) - 1$ とする。あらゆる整数 $v \geq 0$ に対し、

【0360】

【数93】

$$\text{Sign}_{kj}(v) = 1 - 2 \cdot \lfloor (v \bmod 2^m) / 2^{m-1} \rfloor$$

$$F_{kj}(v) = 2^m \cdot \lfloor v / 2^m \rfloor$$

$$v \bmod 2^m \quad \text{if} \quad \text{Sign}_{kj}(v) = 1$$

$$G_{kj}(v) = 2^m \cdot 2^l - (v \bmod 2^m) \quad \text{if} \quad \text{Sign}_{kj}(v) = -1$$

【0361】

を定義する。

【0362】

コード

1. 初期化 : 0 から $2^{r-1} + r - 2$ までのあらゆるアドレスに 0 を入れる。

2. 第 1 段階 : j が 0 から $n - 1$ まで進行することに対し、 $\text{Sign}(w_j) \cdot x_j$ をアドレス $(h(w_j))$ に加える。

3. 主要部分 :

【0363】

【数94】

for k going from 0 to $\lceil \log(r) \rceil - 1$ do

 for j going from 1 to 2^k do

 if $l(k, j+1) - 1 > l(k, j)$ then

【0364】

1) (ソース) アドレス $y_{l(k,j)}$ に存在する値を (宛先) アドレス $Y_{l(k+1, 2j)}$ 中の値への加える。

2) for p going from 1
to $2^{l(k,j+1) - l(k,j) - 1} - 1$ do

 put $u = 2^{l(k,j)} \cdot p$

and for source address u do:

 if $G_{kj}(u) = u$

then

ソース・アドレス u に存在する値を終点アドレス $Y_{l(k+1, 2j)}$ 中の値へ加える。

もし、 $F_{kj}(u) = u$ の場合、そのとき

(ソース) アドレス u に存在する値を (宛先) アドレス $Y_{l(k,j)}$ 中の値へ加える。

もし、 $G_{kj}(u) = 0$ の場合、そのとき

(-1) で乗じられた (ソース) アドレス u に存在する値を (宛先) アドレス $Y_{l(k,j)}$ 中の値に加えて、また (アドレス u の) この値をアドレス $F_{kj}(u)$ 中の値にさらに加える。

ほかに、 $\text{Sign}_{kj}(u)$ を掛けた (ソース) アドレス u に存在する値を終点アドレス $G_{kj}(u)$ 中の値に加えて、また (アドレス u の) この値をアドレス $F_{kj}(u)$ 中の値にさら

10

20

30

40

50

に加える。

4. 出力の獲得 :

あらゆるアドレス Y_i は、すべての $0 \leq i < r$ に対して、 y_i の値を含む。

【0365】

複雑性

i) 上記インプリメンテーションを備えた U 設定中の基礎的ステップは、ソースと呼ばれるメモリの 1 つの場所から数を読み出し、1 または -1 である符号をそれに掛けて、次に、その結果を宛先と呼ばれるメモリの別の場所に置かれた数に加える。

ii) 複雑性は次の事項で公式化される。

【0366】

【数95】

For $0 \leq k \leq \lceil \log(r) \rceil - 1$ and for $1 \leq j \leq 2^k$ let:

$$u_{kj} = 2^{l(kj+1)-l(kj)-1}$$

$$u_k = \sum_{1 \leq j \leq 2^k} u_{kj} = \sum_{1 \leq j \leq 2^k} 2^{l(kj+1)-l(kj)-1}.$$

For $k = \lceil \log(r) \rceil$ and for $1 \leq j \leq 2^k$ let:

$$u_{kj} = \lfloor 2^{l(kj+1)-l(kj)-1} \rfloor,$$

then:

$$u_k = \sum_{1 \leq j \leq 2^k} u_{kj} = r.$$

【0367】

iii) 上記コードに基づく装置は、A × の演算を完了するために次の数の基礎的ステップを要求するであろう。

(1) 最初のステージに対して、n 個の基礎的ステップが必要である。

(2) すべての

【0368】

【数96】

$0 \leq k \leq \lceil \log(r) \rceil - 1$ and $1 \leq j \leq 2^k$

【0369】

に対しては、 $2 \cdot u_{k,j} - u_{k+1,2j} - u_{k+1,2j-1} + 1$
個の基礎的ステップが (k, j) ステップで行われる。

(3) したがって、すべての

【0370】

【数97】

$0 \leq k \leq \lceil \log(r) \rceil - 1$

【0371】

に対して、主要部分の k - 反復は、次の数の基礎的ステップを要求する。

【0372】

$2^k + 2 \cdot u_k - u_{k+1}$

(4) A × の上記演算の主要部分は、このように次の個数の基礎的ステップを要求する。
。

10

20

40

50

【0373】

【数98】

$$C_r^u \equiv 2u_0 + u_1 + u_2 + \dots + u_{\lceil \log(r) \rceil - 1} + 2^{\lceil \log(r) \rceil} - 1 - r.$$

【0374】

この数は r にのみ依存する。(5) $A \cdot x$ の全演算は、このように次の合計の基礎的ステップ数を要求する。

【0375】

【数99】

10

$$C_{n,r}^u \equiv n + C_r^u$$

【0376】

チャート2：U行列

図2は、上記コードの主要部分を実行する装置によって使用されたメモリの内容を更新する動作を概略的に示すが、U-2進・行列は4つの行からなり、本発明のU-2進の特徴を好ましい手法でインプリメントする。各反復における各行列の列は、メモリ中の2進アドレスによって表わされ、列中の(-1)コンポーネントはアドレスにおける1に対応し、列中の1のコンポーネントはアドレスにおける0に対応する。2進の知識が適用され、ボトム・コンポーネント(水平表示での最も右手のコンポーネント)はMSBであり、また、トップ・コンポーネント(水平表示における最も左手のコンポーネント)はLSBである。特別のアドレス $Y_0 = 0, Y_1 = 8, Y_2 = 9, Y_3 = 10$ は、プロセスの終わりに出力ベクトル $y = (y_0, \dots, y_3)^T$ のコンポーネントを含み、ここで、 Y_0 は y_0 のアドレスであり、 Y_1 は y_1 のアドレスなどになるようになるであろう。矢印は、1または-1である符号を掛けた1つのアドレスの内容をとり、別のアドレスの内容に加えられるためにそれを送る行為を示す。1つの矢印は符号が1であることを示し、そして2つの矢印は符号が-1であることを示す。これは、反復の順序、および各反復に関係するアドレスの(増加)順に従って行われる。

20

【0377】

30

例3：U₁行列

ステップの次のシーケンスは、変換行列のエントリがセット $U_1 = \{1, -1, j, -j\}$ に属するときに、GEM方法のインプリメンテーションについて記述する。これは、アプリケーションにしばしば現われるGEMのサブケースの1つである。データは、 $r \times n$ の U_1 行列 $A = (a_{ij} : 0 \leq i < r, 0 \leq j < n)$ および入力複素ベクトル $x = (x_0, \dots, x_{n-1})$ から成る。行列の列は、 w_0, \dots, w_{n-1} によって表示される。このステップのシーケンスは積 $y = (y_0, \dots, y_{r-1})^T = A \cdot x$ を計算する。あらゆる与えられた反復で、各場所はベクトル x に依存して、1つの実数または複素数を含む。割り付けられた読み取りおよび書き込みメモリは、0から $4^{r-1} + r - 2$ までラベル付けされた $4^{r-1} + r - 1$ 個のアドレスを含む。この例は、次の定義と同様に、前例においてセッティングされた定義を使用する。

40

【0378】

定義1) 次のものから与えられたセット U_1 とセット $\{0, 1, 2, 3\}$ との間の一一致(および逆の一一致)を定義する。

【0379】

$$\begin{array}{ll} 1' = 0, & 0^* = 1 \\ (-1)' = 1, & 1^* = -1, \\ j' = 2, & 2^* = j, \\ (-j)' = 3, & 3^* = -j \end{array}$$

50

従って、 r 次元の U_1 ベクトル、 $u = (u_0, \dots, u_{r-1})$ に対し、次式を定義する。

【0380】

$$(u) = \sum_{j < r} 4^j u_j$$

2) 各 r 次元の U_1 ベクトル、 $u = (u_0, \dots, u_{r-1})$ に対し、次式を定義する。

【0381】

$$\text{Sign}(u) = u_{r-1}$$

$$g(u) = (u_0 \cdot (u_{r-1})^{-1}, \dots, u_{r-1} \cdot (u_{r-1})^{-1})$$

3) $Y_0 = 0$ およびすべての $1 \leq m < r$ に対し、 $Y_m = 4^{r-1} + m - 1$ を定義する。これら 10 は出力ベクトルのコンポーネントのアドレスになるであろう。

4) すべての $k = 0, j = 1$ に対し、マップ F_{kj}, G_{kj} が次のように定義される。

【0382】

$$l = l(k, j), m = l(k+1, 2j),$$

$h = l(k, j+1) - 1$ とし、

$v = \sum_{j < r-2} 4^j \cdot v_j$ によって、4つの基礎の中で表わされた、整数 $v \geq 0$ をとり、次式を定義する。

【0383】

【数100】

$$\text{Sign}_{kj}(v) = (v_{m-l})^* = (\lfloor (v \bmod 4^m) / 4^{m-1} \rfloor)^*$$

$$F_{kj}(v) = 4^m \cdot \lfloor v / 4^m \rfloor$$

$$G_{kj}(v) = \sum_{l \leq m-l} 4^l \cdot ((v_l)^* \cdot ((v_{m-l})^*)^{-1})'$$

【0384】

コード

1. 初期化：0から $4^{r-1} + r - 2$ までのあらゆるアドレスに0を入れる。

2. 第1段階：for j going from 0 to $n-1$ add $\text{Sign}(w_j) \cdot x_j$ to the address ($g(w_j)$)

3. 主要部分：

【0385】

【数101】

for k going from 0 to $\lceil \log(r) \rceil - 1$ do

 for j going from 1 to 2^k do

 if $l(k, j+1) - 1 > l(k, j)$ then:

【0386】

1) アドレス $Y_{l(k, j)}$ に存在する値をアドレス $Y_{l(k+1, 2j)}$ 中の値に加える。

2) for p going from 1 to $4^{l(k+1) - l(k) - 1} - 1$ do
 put $u = 4^{l(k)} \cdot p$

and for source address u do: すなわち

$$G_{kj}(u) = u \text{ の場合}$$

(ソース)アドレス u に存在する値を(宛先)アドレス $Y_{l(k+1, 2j)}$ 中の値へ加える。

ほかに、 $F_{kj}(u) = u$ の場合、(ソース)アドレス u に存在する値を(宛先)アドレス $Y_{l(k, j)}$ 中の値へ加える。

ほかに、 $G_{k,j}(u) = 0$ の場合、 $Sig_{n_{k,j}}(u)$ を掛けた（ソース）アドレス u に存在する値を（宛先）アドレス $Y_{l(k,j)}$ 中の値に加えて、さらにこの値（アドレス u の）をアドレス $F_{k,j}(u)$ 中の値に加える。

ほかに、 $Sig_{n_{k,j}}(u)$ を掛けた（ソース）アドレス u に存在する値を（宛先）アドレス $G_{k,j}(u)$ 中の値に加えて、この値（アドレス u の）をアドレス $F_{k,j}(u)$ 中の値に加える。

4. 出力の獲得：

あらゆるアドレス Y_i は、すべての $0 \leq i < r$ に対して、 y_i の値を含む。

【0387】

複雑性

i) 上記インプリメンテーションを備えた U, 設定中の基礎的ステップは、ソースと呼ばれるメモリの 1 つの場所から複素数を読み出し、1 または -1 または j または - j である複素符号をそれに掛けて、次に、その結果を宛先と呼ばれるメモリの別の場所に置かれた複素数に加えることを意味する。

ii) 複雑性は次の事項によって形成される。

【0388】

【数102】

$$0 \leq k \leq \lceil \log(r) \rceil - 1 \text{ および } 1 \leq j \leq 2^k \text{ に対して}$$

$$w_{k,j} = 4^{l(k,j+1)-l(k,j)-1}$$

$$w_k = \sum_{1 \leq j \leq 2^k} w_{k,j} = \sum_{1 \leq j \leq 2^k} 4^{l(k,j+1)-l(k,j)-1}$$

$$k = \lceil \log(r) \rceil \text{ および } 1 \leq j \leq 2^k \text{ に対して}$$

$$w_k = \lfloor 4^{l(k,j+1)-l(k,j)-1} \rfloor$$

$$w_k = \sum_{1 \leq j \leq 2^k} w_{k,j} = r.$$

10

20

30

【0389】

iii) 上記のコードに基づいた装置は、 $A \cdot x$ の演算を完了するために次の個数の基礎的ステップを要求するであろう。

(1) 最初のステージに対して、 n 個の基礎的ステップが必要である。

(2) すべての

【0390】

【数103】

$$0 \leq k \leq \lceil \log(r) \rceil - 1 \text{ and } 1 \leq j \leq 2^k$$

【0391】

40

に対しては、 $w_{k,j} - w_{k+1,2j} - w_{k+1,2j-1} + 1$ 個の基礎的ステップの合計が (k, j) ステップで行われる。

(3) したがって、すべての

【0392】

【数104】

$$0 \leq k \leq \lceil \log(r) \rceil - 1$$

【0393】

に対して、主要部分の k - 反復は、次の数の基礎的ステップを要求する。

【0394】

50

$$2^k + 2 \cdot w_k - w_{k+1}$$

(4) $A \cdot x$ の上記演算の主要部分は、このように次の個数の基礎的ステップを要求する。

【0395】

【数105】

$$C_r^{U_I} \equiv +2w_0 + w_1 + w_2 + \dots + w_{\lceil \log(r) \rceil - 1} + 2^{\lceil \log(r) \rceil} - 1 - r.$$

【0396】

この数は r にのみ依存する。

(5) $A \cdot x$ の全演算は、このように次の合計の基礎的ステップ数を要求する。

【0397】

【数106】

$$C_{n,r}^{U_I} \equiv n + C_r^{U_I},$$

【0398】

例4：トップリツツ U行列

ステップの次のシーケンスは、 U 係数を備えた本発明のトップリツツ行列の面からインプリメンテーションについて記述する。データは、 U シーケンス t_0, \dots, t_{n-1} および入力実数または複素ベクトル $x = (x_0, \dots, x_{n+r-2})$ から成る。 U シーケンスから、 $r \times (n+r-1)$ のトップリツツ行列 A ($a_{ij} : 0 \leq i < r, 0 \leq j \leq n+r-2$) が形成され、ここで、すべての $k < 0$ 、または、 $k = n$ に対して $t_k = 0$ である。これらのステップは、積 $y = (y_0, \dots, y_{n-1}) = A \cdot x$ を計算する。最初のステージのみが U 行列例のステージと異なり、したがって、このステージだけを紹介することが必要である。前例のインプリメンテーションでリストされた定義は、すべてここに適用可能である。

【0399】

コード

1. 初期化：0 から $2^{r-1} + r - 2$ までのあらゆるアドレスに 0 を入れる。

2. 第1段階：

1) for j going from 0 to $r-2$ add $(1/2) \cdot t_{n-r+j+1} \cdot x_j$ to the address
 $(h(t_j, t_{j-1}, \dots, t_1, t_0, t_{n-1}, t_{n-2}, \dots, t_{n-r+j+1}))$

and also add $-(1/2) \cdot t_{n-r+j+1} \cdot x_j$ to the address

$(h(t_j, t_{j-1}, \dots, t_1, t_0, -t_{n-1}, -t_{n-2}, \dots, -t_{n-r+j+1}))$

2) for j going from $r-1$ to $n-1$ add $(1/2) \cdot t_{j-r+1} \cdot x_j$ to the address

$(h(t_j, t_{j-1}, \dots, t_{j-r+1}))$

3) for j going from n to $n+r-2$ add $(1/2) \cdot t_{j-r+1} \cdot x_j$ to the address

$(h(t_{j-n}, t_{j-n-1}, \dots, t_1, t_0, t_{n-1}, t_{n-2}, \dots, t_{j-r+1}))$

and also add $(1/2) \cdot t_{j-r+1} \cdot x_j$ to the address

$(h(t_{j-n}, t_{j-n-1}, \dots, t_1, t_0, -t_{n-1}, -t_{n-2}, \dots, -t_{j-r+1}))$

3. 主要部分：アルゴリズムは、 U 行列インプリメントのアルゴリズム中の主要部分のように進行し、その出力は同じアドレスに格納される。

【0400】

複雑性

i) 上記トップリツツのインプリメンテーションでの基礎的ステップは、 U インプリメンテーションと同じである、すなわち、ソースと呼ばれるメモリの 1 つの場所から数を読み出し、1 または -1 である符号をそれに掛けて、次に、その結果を宛先と呼ばれるメモリの別の場所に置かれた数に加える。

ii) 上記コードに基づく装置は、 $A \cdot x$ の演算を完了するために次の数の基礎的ステップ

を要求するであろう。

(1) 最初のステージに対して、

$$2 \cdot (r - 1) + n - r + 1 + 2 \cdot (r - 1) = n + 3r - 3$$

個の基礎的ステップが必要である。

(2) $A \cdot x$ のトップリツツ演算の主要部分は、 r ラインを備えた U コードの主要部分のインプリメンテーションによって行われる。したがって、それは C^U_r 個の基礎的ステップを必要とする。

(3) $A \cdot x$ のトップリツツ演算全体は、このように次の回数の基礎的ステップを要求する。

【0401】

$$C^T_{n,r} \quad n + 3r - 3 + C^U_r$$

チャート 3 : トップリツツ行列

図 3 は、到来データを装置に使用される適切なメモリ位置へ送る動作を概略的に示すが、その装置は 4 つの行からなるトップリツツ行列を有して、上記コードの初期部分を実行する。この最初の部分を除いて、他のあらゆる面は、U 行列インプリメンテーションおよび装置の面と同一であり、その記述がここにあてはまる。ここでまた、1 つの矢印は符号が 1 であることを示し、そして 2 つの矢印は符号が -1 であることを示す。

【0402】

例 5 : トップリツツ U₁ 行列

本発明の次の好適な実施例は、 U_1 係数を備えた本発明のトップリツツ行列の面からのインプリメンテーションである。データは、 U_1 シーケンス t_0, \dots, t_{n-1} 、および入力複素ベクトル $x = (x_0, \dots, x_{n+r-2})$ から成る。 U_1 シーケンスから、 $r \times (n + r - 1)$ のトップリツツ行列 A ($a_{ij} = t_{i-j}$: $0 \leq i < r$, $0 \leq j \leq n + r - 2$) が形成され、ここで、すべての $k < 0$ 、または、 $k \geq n$ に対して、 $t_k = 0$ である。以下にリストされたステップのシーケンスは、積 $y = (y_0, \dots, y_{n-1}) = A \cdot x$ を計算する。最初のステージのみが U_1 行列例のステージと異なり、したがって、このステージだけを紹介することが必要である。前例でリストされたすべての定義は、ここに適用可能である。

【0403】

コード

1. 初期化 : 0 から $4^{r-1} + r - 2$ までのあらゆるアドレスに 0 を入れる。

2. 第 1 段階 :

1) for j going from 0 to $r-2$ add $(1/2) \cdot t_{n+r+j+1} \cdot x_j$ to the address
 $(g(t_j, t_{j-1}, \dots, t_1, t_0, t_{n-1}, t_{n-2}, \dots, t_{n-r+j+1}))$
and also add $-(1/2) \cdot t_{n+r+j+1} \cdot x_j$ to the address
 $(g(t_j, t_{j-1}, \dots, t_1, t_0, -t_{n-1}, -t_{n-2}, \dots, -t_{n-r+j+1}))$

2) for j going from $r-1$ to $n-1$ add $t_{j-r+1} \cdot x_j$ to the address
 $(g(t_j, t_{j-1}, \dots, t_{j-r+1}))$

3) for j going from n to $n+r-2$ add $(1/2) \cdot t_{j-r+1} \cdot x_j$ to the address
 $(g(t_{j-n}, t_{j-n-1}, \dots, t_1, t_0, t_{n-1}, t_{n-2}, \dots, t_{j-r+1}))$
and also add $(1/2) \cdot t_{j-r+1} \cdot x_j$ to the address
 $(g(t_{j-n}, t_{j-n-1}, \dots, t_1, t_0, -t_{n-1}, -t_{n-2}, \dots, -t_{j-r+1}))$

40
and also add $-(1/2) \cdot t_j \cdot x_j$ to the address
 $(g(t_{j-n}, t_{j-n-1}, \dots, t_1, t_0, -t_n, -t_{n-1}, \dots, -t_{j-r+2}))$

3. 主要部分 : U_1 行列アルゴリズムの主要部分として進行し、そのデータは同じ方法で受け取られる。

【0404】

複雑性

i) 上記トップリツツのインプリメンテーションでの基礎的ステップは、 U_1 インプリメンテーションと同じである、すなわち、ソースと呼ばれるメモリの 1 つの場所から複素数

10

20

30

40

50

を読み出し、1または-1またはjまたは-jである複素符号をそれに掛けて、次に、その結果を宛先と呼ばれるメモリの別の場所に置かれた複素数に加える。

ii) 上記コードに基づく装置は、A・xの演算を完了するために次の数の基礎的ステップを要求するであろう。

(1) 第1段階に対して、

$$2 \cdot (r - 1) + n - r + 1 + 2 \cdot (r - 1) = n + 3r - 3$$

個の基礎的ステップが必要である。

(2) A・xにおけるトップリツツ演算の主要部分は、rラインを備えたU₁コードの主要部分のインプリメンテーションによって行われる。したがって、それはC^{U1}_r回の基礎的ステップを必要とする。

(3) A・xのトップリツツ演算全体は、このように次の回数の基礎的ステップを要求する。

【0405】

$$C^{T1}_{n,r} \quad n + 3r - 3 + C^{U1}_r$$

例6：実数の行列、2進0-1の表現

本発明の次の好適な実施例は、行列エントリの2進0-1表現を備えた本発明の実数行列の面からみたインプリメンテーションである。データは、負でないエントリを備えたr × n実数行列 A = (a_{ij} : 0 ≤ i < r, 0 ≤ j < n)、および入力の実数または複素ベクトル x = (x₀, ..., x_{n-1}) から成る。アルゴリズムは y = (y₀, ..., y_{n-1}) = A · x を計算する。

【0406】

行列のエントリが、すべての 0 ≤ i < r, 0 ≤ j < n に対して、次の 0-1 の 2 進の表現で与えられると仮定される。

【0407】

$$a_{ij} = \sum_{k=m_2}^{m_1} t_{ijk} \cdot 2^k$$

ここで、すべての -m₂ ≤ k ≤ m₁ に対し t_{ijk} ∈ {0, 1}

第1段階だけが、0-1-行列のインプリメンテーションのステージと異なっており、このステージについてだけ記述される必要がある。0-1-行列のインプリメンテーションのセクションにリストされた定義はすべて、ここで適用可能である。さらに次の r 次元の {0, 1} ベクトルをすべての 0 ≤ j < m, -m₂ ≤ k ≤ m₁ に対して定義する。

【0408】

$$v_{jk} = (t_{1jk}, t_{2jk}, \dots, t_{rjk})$$

1. 初期化：0から2^r-1までのあらゆるアドレスに0を入れる。

2. 第1段階：

```
for a counter j going from 0 to n-1 do
    for k going from -m2 to m1 do
        add 2k · xj to the value address (vjk)
```

3. 主要部分：

{0, 1} 行列のアルゴリズムの r 行に対する主要部分として進行し、そのデータはその演算処理の最後に同じアドレスに格納される。

【0409】

複雑性

i) 上記インプリメンテーションでの基礎的ステップは、0-1-2進のインプリメンテーションと同じである、すなわち、ソースと呼ばれるメモリの1つの場所から数を読み出し、それを宛先と呼ばれるメモリの別の場所に置かれた数に加える。

ii) 上記コードに基づく装置は、A・xの演算を完了するために次の数の基礎的ステップを要求するであろう。

(1) 第1段階に対して、

$$(m_1 + m_2 + 1) · n$$

個の基礎的ステップが必要である。

10

20

30

40

50

(2) コードの主要部分は、 r ラインを備えた $0 - 1$ の 2 進コードの主要部分によって行われる。すなわち、それは $C^{0,1}_r$ 個の基礎的ステップを必要とする。

(3) $A \cdot x$ の演算全体は、このように次の回数の基礎的ステップを要求する。

【0410】

$$C^{Re-0-1} (m_1 + m_2 + 1) \cdot n + C^{0,1}_r$$

例 7：実数の行列、2 進の U 表現

本発明の次の好適な実施例は、行列エントリの 2 進 U 表現を備えた本発明の実数行列の面からみたインプリメンテーションである。データは、 $r \times n$ 実数行列 $A = (a_{ij} : 0 \leq i < r, 0 \leq j < n)$ 、および入力の実数または複素ベクトル $x = (x_0, \dots, x_{n-1})$ から成る。そのアルゴリズムは $y = (y_0, \dots, y_{n-1}) = A \cdot x$ を計算する。

10

【0411】

行列のエントリは、すべての $0 \leq i < r, 0 \leq j < n$ に対して、次の U 表現で与えられると仮定される。

【0412】

$$a_{ij} = \sum_{k=-m_2-1}^{m_1-1} t_{ijk} \cdot 2^k + t_{ijm_1} \cdot (2^{m_1} - 2^{-m_2-1})$$

ここで、すべての $-m_2-1 \leq k \leq m_1$ に対して、 $t_{ijk} \in U$

この表現の存在は、本発明の実数行列の面から既に言及されている。第 1 段階だけが、U 行列のインプリメンテーションのステージと異なっており、このステージについてだけ記述される必要がある。U 行列のインプリメンテーションのセクションにリストされた定義はすべて、ここで適用可能である。さらに次の r 次元の U ベクトルをすべての $0 \leq j < n, -m_2 \leq k \leq m_1$ に対して定義する。

20

【0413】

$$u_{jk} = (t_{1jk}, t_{2jk}, \dots, t_{rjk})$$

1. 初期化：0 から $2^r + r - 1$ までのあらゆるアドレスに 0 を入れる。

2. 第 1 段階

```
for j going from 0 to n-1 do
  for k going from -m_2-1 to m_1-1 do
    add  $2^k \cdot \text{Sign}(u_{jk}) \cdot x_j$  to the address  $(h(u_{jk}))$ 
  for k=m_1 do
    add  $(2^{m_1} - 2^{-m_2-1}) \cdot \text{Sign}(u_{jk}) \cdot x_j$  to the address  $(h(u_{jk}))$ 
```

30

3. 主要部分：

U 行列のインプリメンテーションのアルゴリズムの r 行に対する主要部分として進行し、そのデータはその演算処理の最後に同じアドレスに格納される。

【0414】

複雑性

i) 上記インプリメンテーションでの基礎的ステップは、U インプリメンテーションと同じである、すなわち、ソースと呼ばれるメモリの 1 つの場所から数を読み出し、1 または -1 である符号をそれに掛けて、次に、その結果を宛先と呼ばれるメモリの別の場所に置かれた数に加える。

40

ii) 上記コードに基づく装置は、 $A \cdot x$ の演算を完了するために次の数の基礎的ステップを要求するであろう。

(1) 第 1 段階に対して、

$$(m_1 + m_2 + 2) \cdot n$$

個の基礎的ステップが必要である。

(2) コードの主要部分は、 r ラインを備えた U コードの上記インプリメンテーションの主要部分によって行われる。すなわち、それは C^U_r 個の基礎的ステップを必要とする。

(3) $A \cdot x$ の演算全体は、このように次の回数の基礎的ステップを要求する。

【0415】

$$C^{Re-U}_r (m_1 + m_2 + 1) \cdot n + C^U_r$$

50

図4は、本発明の好適な実施例に従って、加算の回数を削減した線形変換を行なう典型的な装置のブロック図である。装置500は、2つの入力および1つの出力を備えた乗算器10、入力のうちの1つを選択しその出力に転送するためのマルチプレクサ(MUX)9、2つの入力および1つの出力を備える加算器11、その後ろに続く2つのアドレス・バス・ライン「add_a」および「add_b」および2つの出力、「data_a」および「data_b」を有するデュアル・ポート・ランダム・アクセス・メモリ(DRAM)13を含む。MUXの動作は、アドレス・ジェネレータ501によって制御され、それは、さらにDRAM13中のメモリ・アドレスへのアクセスを可能にする。アドレス・ジェネレータの動作は、カウンタ3によって制御される。

【0416】

乗算器10の出力は、MUX9の1つの入力「C」に接続される。MUX9の出力は、加算器11の1つの入力「A」に接続される。加算器11の出力は、DRAM13の入力に接続される。DRAM13の1つの出力「data_a」は、加算器11の入力「B」に接続される。DRAM13の別の出力「data_b」は、乗算器12の入力「E」に接続される。乗算器12の別の入力「F」は、アドレス・ジェネレータ501の出力「sign」に接続される。乗算器12の出力は、MUX9の別の入力「D」に接続される。カウンタ3は、アドレス・ジェネレータ501の2つの入力に接続される。ジェネレータ501の出力「H」は、乗算器12の「sign」入力に接続される。ジェネレータ501の出力Gは、MUX9の制御入力「S」に接続される。ジェネレータ501の出力「J」は、DRAM13の第1のアドレス入力「add_a」に接続される。ジェネレータ501の他の出力「I」は、DRAM13の第2のアドレス入力「add_b」に接続される。変換行列は、オプションのRAM/ROM1に格納され、それはアドレス・ジェネレータ501にコードのシリーズ(行列中の行のビット)D₀, D₁, ..., D_sを供給するとともに、最上桁のビットD₀を乗算器10に送る。入力ベクトルは別のオプションのRAM/ROM2に格納されることがあるとともに、それは入力信号のサンプルで乗算器に10を与える。代わって、入力ベクトルの要素および変換行列中のそれらに対応する要素が装置500へ同期して提供される場合、格納メモリ1, 2を除去することができます。例えば、これらの要素は、ADCまたはシーケンス・ジェネレータによって提供されてもよい。装置500の全てのコンポーネントは、「clock_in」入力を介して共通クロックによって制御される。

【0417】

同じ入力セット[x₁ x₂ x_n]、同じ異なるコードD₀, D₁, ..., D_sを表わす同じU行列(それはn行を含む)を使用する場合、装置の動作は、以下に説明される。装置500の動作は2つのステージ、すなわち、入力データ(つまりサンプル[x₁ x₂ x_n])が受け取られ、各コンポーネントおよび変換行列のその対応する要素の積が計算され、DRAM13に格納される「Stage 1」と表示された第1ステージ、および、入力データが加算器9に入ることをブロックしている間、受信データが処理される「Stage 2」と表示された第2ステージに分割される。カウンタ3は動作の蓄積数を係数するとともに、そのカウント(カウンタの出力)は2つのステージを識別するために用いられる。「Stage 1」の動作回数は入力ベクトルの長さnである。この数を越える動作は「Stage 2」と関連する。

【0418】

本発明の好適な実施例によれば、アドレス・ジェネレータ501は、比較器4を含み、それはカウンタ3の出力にリンクされる。その比較器は、カウンタ3の現在の出力を読み、それを入力ベクトルの長さnと比較し、現在の動作が「Stage 1」または「Stage 2」の中で実行されるかどうか示す対応信号を提供する。この信号は、入力「C」と「D」の間で切り替わるためにMUX9の入力「S」を制御するために使用される。

【0419】

アドレス・ジェネレータ501はさらに予めプログラムされた値を格納する非同期メモリ5(例えばROM)を含み、入力アドレスが「add_a」および「add_b」を介し

10

20

30

40

50

て D P R A M 1 3 中のアドレスを決めるために参照テーブル(L U T)としてそれらの内容の処理のために使用される。L U T のサイズは(C - n) × (1 + 2 r)であり、その内容は 3 つのフィールド、「ソース」フィールド、「符号」フィールド、および「宛先」フィールドからなる。各動作(つまり、カウンタ 3 によって計数される各クロック・サイクル)については、3 つの対応するソース符号および宛先値がある。ソース・フィールドは、特定の列における 2 つの部分の正規化と関係する指示と同様に、スプリットされた(分割された)変換行列の各列と関係する情報からなる。ソース・フィールドは、D P R A M 1 3 上の入力「 a d d _ b 」の値を決定する。符号フィールドは個々のスプリット列またはサブ列中のより低いコンポーネントを表わす。宛先フィールドは、対応するアドレスのどの内容が処理のために選択されたかに従って、D P R A M 1 3 上の入力「 a d d _ a 10 」の値を決定する。

【 0 4 2 0 】

アドレス・ジェネレータはさらに 1 セットの s (s = r - 1) インバータ $6_1, 6_2, \dots, 6_s$ を含み、その各々はビット D_0, D_1, \dots, D_s のシリーズにそれぞれ接続された入力を含む。各インバータの出力は、s マルチプレクサのセット、 $7_1, 7_2, \dots, 7_s$ からの対応 MUX の 1 つの入力に接続される。ビット D_0, D_1, \dots, D_s のシリーズは、さらに s マルチプレクサのセット、 $7_1, 7_2, \dots, 7_s$ からの各 MUX の出力は、最上位ビット D_0 の値によって制御され、セット D_1, \dots, D_s を D P R A M 1 3 の入力「 a d d r e s s _ a 」へ変化させないであるいは反転(つまり D'_1, \dots, D'_s)して転送を可能にする。セット D_1, \dots, D_s (または D'_1, \dots, D'_s)は、L U T から到着する「 a d d _ a 」に M S B (r 番目のビット)によって供給される追加のマルチプレクサ 8 ,と共に、s マルチプレクサの対応するセット $8_1, 8_2, \dots, 8_s$ の 1 つの入力に入力される。比較器 4 の出力によって、「 a d d _ a 」がセット $7_1, 7_2, \dots, 7_s$ からまたは L U T から到着する選択を可能にする。入力「 a d d _ a 」(つまり宛先)は、加算器 1 1 の入力「 B 」に供給する D P R A M 1 3 の第 1 の出力「 d a t a _ a 」を制御する。L U T (つまりソース)から得られた入力「 a d d _ b 」は D P R A M 1 3 の第 2 の出力「 d a t a _ b 」を制御し、それは乗算器 1 2 の入力「 E 」に供給され、「 d a t a _ b 」の各値を L U T から抽出された対応する「符号」値と乗算し、その積を乗算器 1 2 の入力「 D 」に供給する。D P R A M 1 3 中の「書き込み」動作は同期しており、つまり、各セルの内容はクロックレート(例えば、クロック信号が立ち上がる時)に従って上書きされる。他方では、D P R A M 1 3 中の「読み込み」動作は非同期であり、つまり、クロックにかかわらず、アドレス入力が変更されるときに、各出力は変更される。 20 30

【 0 4 2 1 】

ステージ 1 の動作

このステージでは、ステージ 1 が動作を実行している間、カウンタ 3 は 1 シンボル時間(n クロック・サイクル)を計数し始める。ステージ 1 の間、MUX 9 によって、入力「 D 」をブロックしている間、入力「 C 」からのデータ・フローをその出力および加算器 1 1 の入力「 A 」へ流れることを可能にする。入力シンボル [x_1, x_2, \dots, x_n] は、乗算器 1 0 の 1 つの入力へ提供される。そのコードの M S B D_0 は、乗算器 1 0 の別の入力へ提供される。このステージでは、入力「 a d d _ a 」によって決定される宛先(出力「 d a t a _ a 」)は、D P R A M 1 3 から抽出され、入力ベクトルのコンポーネント [x_1, x_2, \dots, x_n] に加えられ、M S B D_0 を乗じられる。カウンタ 3 は、現在のシンボル時間を計数してきたが、アドレス・ジェネレータ比較器 4 へおよび R O M 5 へ現在のシンボル時間が終了し、比較器 4 が MUX 9 の入力選択を入力「 C 」からの別の入力「 D 」に切り替えるという指示を提供する。同様に、比較器 4 は、L U T からデータを R A M 1 からのデータへ選ぶために、マルチプレクサ $8_1, 8_2, \dots, 8_s$ を駆動する。 40

【 0 4 2 2 】

ステージ 2 の動作

このステージでは、ステージ 2 が動作を実行している間、カウンタ 3 は次のシンボル時間 10 を計数し始める。ステージ 2 の間、MUX 9 によって、入力「C」をブロックしている間、入力「D」からのデータ・フローをその出力および加算器 11 の入力「A」へ流れるこ とを可能にする。このステージにおいて、各クロック・サイクルで、DRAM 13 中の選択されたアドレスは、ソースを表わす「add_b」によってアクセスされる。ソース・データは、DRAM 13 の第 2 の出力「data_b」から、乗算器 12 の入力「E」に供給され、そこで LUT から抽出された「符合」値が乗じられる。この積は MUX 9 に入力「D」に供給され、それによって、加算器 11 の入力「A」に現われる。同時に、現在の宛先値の内容が加算器 11 の入力「B」に現われる。2つの値は加算器 11 によつて加えられ、その結果は、DRAM 13（それは前の宛先値に相当する）中の同じアドレ 20 レスに格納される。この合計プロセスの終わりに、対応する r 変換ポイント（ $y_i's$ ）が、アドレス #0 および 2^{r-1} から $(2^{r-1} + r - 2)$ の DRAM 13 に格納される。すべての変換ポイント（ $y_i's$ ）が計算され、かつ DRAM 13 の異なるアドレスに格納された後、（前もって定義したカウントに従って）ステージ 2 が終了するという指示をクロックが提供するまで、結果としてこのプロセスは継続される。そのときに、現在のシンボル時間も終了し、また、比較器 4 は MUX 9 の入力選択を入力「D」から別の入力「C」へ切り替え、そして RAM 1 からのデータをむしろ LUT からデータへ選ぶために、マルチプレクサ $8_1, 8_2, \dots, 8_s$ を駆動し、それによって、ステージ 1 で再び動作するために装置 500 を切り替える。

【0423】

上記方法を実行するために使用される装置の1つの実施例は図5で見られる。図5は、 $r \times n$ U 行列 A を n 次元のベクトル X で乗じた積のインプリメンテーションを図示する。行列は 0 または 1 の表現を含み、ここで 0 が 1 に相当し、1 が -1 に相当する。

【0424】

この実例において、ベクトルは実数であり、v ビットは各コンポーネント特定する。次の構成において、行列 A は要素 1 (RAM または ROM) に格納され、ベクトル X は要素 2 (RAM または ROM) に格納される。行列とベクトルは、ADC またはいくつかのシーケンス・ジェネレータなどに類するメモリ・デバイスまたは同期させられたソースのような内部または外部装置から生成される。

【0425】

モジュール 1, 2, 3, 13 を制御するクロックは、全体のシステムを同期させる。C が以下のように定義される場合、モジュール 3 は 0 から C まで計数するカウンタである。

【0426】

【数107】

$$C = n + 2u_0 + u_1 + u_2 + \dots + u_{\lceil \log(r) \rceil - 1} - r.$$

$$u_k = \sum_{j=1}^k 2^{h(k,j)-l(k,j)}.$$

$$l(k,j) = \lceil (j-1) \cdot (r/2^k) \rceil$$

$$h(k,j) = \lceil j \cdot (r/2^k) \rceil - 1$$

【0427】

ステージ 1 では、要素 3 から来るアドレスに従って、要素 1 および 2 から入って来る信号は要素 13 に挿入される、ここで、各アドレスは $\log_2 n$ リスト重要ビット (list significant bit) を含む。

【0428】

加えて、カウンタは、 $(C - n) \times (1 + r + r)$ のサイズの非同期 ROM (要素 5) の

10

20

30

40

50

アドレス・ジェネレータとして使用される。カウンタのすべてのビットは比較器である要素4に入り、現在のカウントがnより大きいかどうかをチェックする。要素5は3つのフィールドを包含する、すなわち、符号、ソース、宛先である。ROMにおけるラインの順序は、ステージ2の第1の動作がnサイクルの後にカウンタによって引き起こされるようになされる。

【0429】

シンタックスの目的のために、 $s = r - 1$ を定義する。データ・バスは、要素1のビットD1-Dsから要素6_1-6_s(それらはインバータである)にそれぞれ入る。要素7_1-7_sは、D0の状態に従って、D1-Dsと6_1-6_sの出力との間を選択する。

【0430】

(D0=0 => 7_1-7_s=D1-Ds, D0=1 => 7_1-7_s=61-6s).

10

要素8_1-8_sは、要素4(stage1_2n)中の比較器の出力の状態に従って、7_1-7_sと要素5(add_a=宛先)のlog2(n)LSB出力との間を選択する。

【0431】

Stage1_2n=0 => 8_1-8_s=add_a, Stage1_2n=1 => 8_1-8_s=7_1-7_s.

要素8_rは、「0」と要素5のrビット(add_a MSB)との間を選択する。Stage1_2n=0 => 8_r=add_a MSB, Stage1_2n=1 => 8_r=0. 8_1-8_rからの出力は、要素13の第1のアドレスバスとして使用され、それは、 $(2^{r-1} + r - 1) \times (V + 1 \log_2 n)$ のサイズのデュアル・ポートRAMである。このアドレスは、要素13からの出力であるdata_aバス、およびさらに要素13への入力であるdata_inバスの宛先を定義する。

20

【0432】

Add_b(それは要素5(ソース・フィールド)の出力である)は、要素13の第2のアドレス・バスである(このアドレスは、要素13からの出力であるdata_bバスを制御する)。

【0433】

符号は要素13からの単一ビットの出力であり、(乗算器である)要素12でdata_bと乗算する。

【0434】

30

要素13に関して入力であるdata_inバスは、要素11から到着し、それは、data_aおよび要素9の出力をともに合計する加算器である。data_aとdata_bの読み込み動作が非同期である間、data_inは同期した方法でadd_a宛先へ行く。

【0435】

要素13の動作に先立って、ゼロの挿入によって開始する。要素9は、要素10と要素12の出力との間を選択する。要素10は、要素2からのデータ・バスを要素1のLSBで掛ける。Cサイクルの後、結果としてのベクトルは、アドレス0およびアドレス2^{r-1}から $(2^{r-1} + r - 2)$ の要素13に格納される。

【0436】

40

本発明の多数の変形および修正は、当業者に容易に明らかになるであろう。従って、本発明は、その精神またはその本質的特質から逸脱せずに、他の特定の形式で具体化されてもよい。詳細な実施例は、単に図示されたものとして尊重され、限定的なものではなく、したがって、本発明の範囲は前述の記述によるのではなく、添付された請求項によって示される。請求項の均等の解釈および範囲内にある変更はすべて、本請求項の範囲内に含まれる。

【図面の簡単な説明】

【図1】 本発明の好適な実施例に従って、0-1-2進変換行列を使用して変換を行なう装置によって使用されたメモリの内容を更新する動作を概略的に図示する。

【図2】 本発明の好適な実施例に従って、U変換行列を使用して変換を行なう装置によ

50

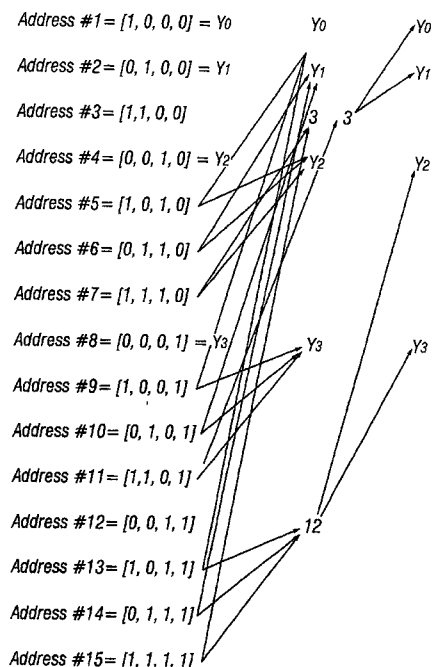
って使用されたメモリの内容を更新する動作を概略的に図示する。

【図3】 本発明の好適な実施例に従って、トップリップ変換行列を使用して変換を行なう装置によって使用されたメモリの内容を更新する動作を概略的に図示する。

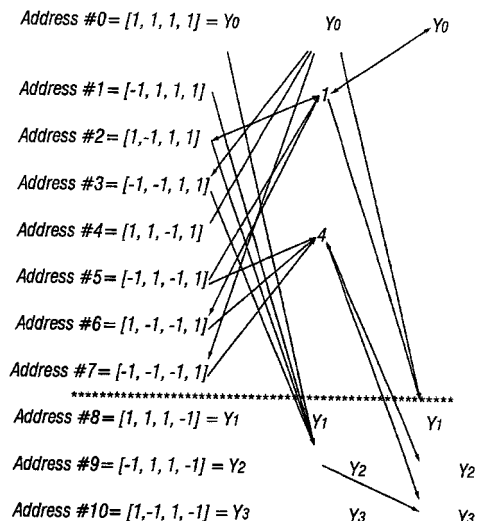
【図4】 本発明の好適な実施例に従って、加算の削減数を備えた線形変換を行なうための典型的な装置のブロック図である。

【図5】 本発明の好適な実施例に従って、 $r \times n$ の U 行列 A を n 次元のベクトル X で乗じた積のインプリメンテーションの例を図示する。

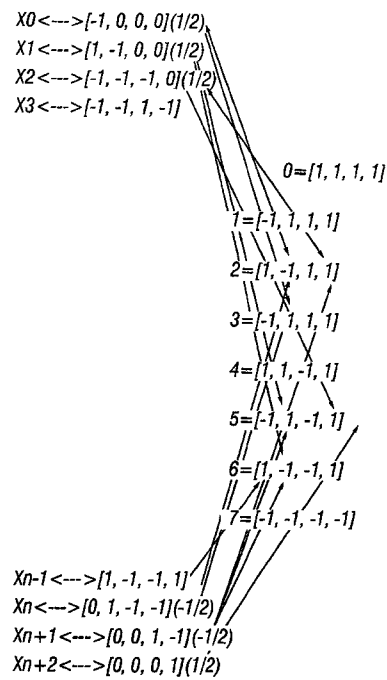
【図1】



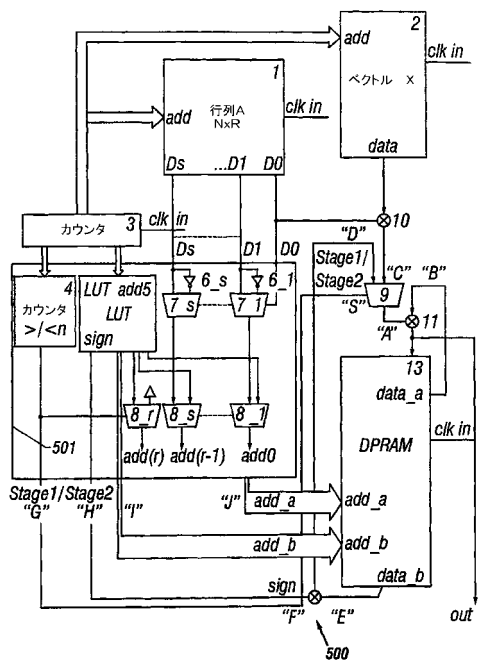
【図2】



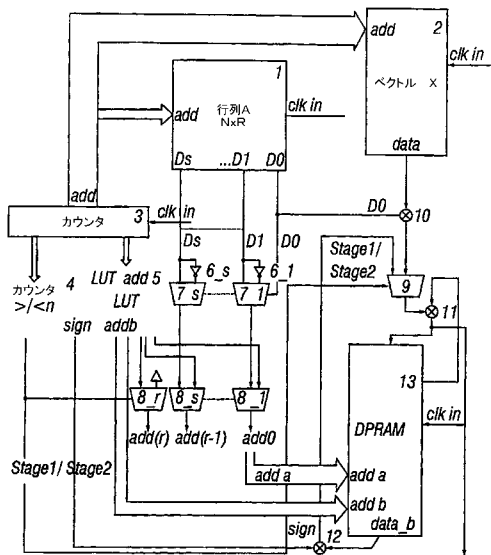
【図3】



【図4】



【図5】



フロントページの続き

(72)発明者 ドル, アブナー
イスラエル国 キリヤット・オノ ハマンガル・ストリート 1818

審査官 鳥居 稔

(56)参考文献 特開平02-273867 (JP, A)
特開平10-308672 (JP, A)

(58)調査した分野(Int.Cl., DB名)

G06F 17/14

G06F 17/16